



การสกัดและความคงตัวของผงสีแอนโกลไซยานจากผลหม่อน



วิทยานิพนธ์นี้เป็นส่วนหนึ่งของความสมบูรณ์ของการศึกษาตามหลักสูตร

ปริญญาวิศวกรรมศาสตรมหาบัณฑิต

สาขาวิชาวิศวกรรมอาหาร

บัณฑิตวิทยาลัย มหาวิทยาลัยแม่โจ้

พ.ศ. 2560

ลิขสิทธิ์ของมหาวิทยาลัยแม่โจ้

การสักดีและความคงตัวของผงสีแอนโกลไซยานินจากผลหม่อน

ศิริลักษณ์ เกิดศิริ

วิทยานิพนธ์ได้รับการพิจารณาอนุมัติให้เป็นส่วนหนึ่งของความสมบูรณ์ของการศึกษา
ตามหลักสูตรปริญญาวิศวกรรมศาสตรมหาบัณฑิต

สาขาวิชาวิศวกรรมอาหาร

พิจารณาเห็นชอบโดย

อาจารย์ที่ปรึกษาหลัก

อาจารย์ที่ปรึกษา

.....
.....

(อาจารย์ ดร.กาญจน์ นาคประสม)

วันที่ ๒๗ เดือน กันยายน พ.ศ. ๒๕๖๐

.....
.....

(ผู้ช่วยศาสตราจารย์ ดร.จตุรภัทร วาณิชรี)

วันที่ ๒๗ เดือน กันยายน พ.ศ. ๒๕๖๐

.....
.....

(ผู้ช่วยศาสตราจารย์ ดร.นักรบ นาคประสม)

วันที่ ๒๗ เดือน กันยายน พ.ศ. ๒๕๖๐

.....
.....

(ผู้ช่วยศาสตราจารย์ ดร.หมายfun ทนงกรกิจ)

วันที่ ๒๗ เดือน กันยายน พ.ศ. ๒๕๖๐

.....
.....

(รองศาสตราจารย์ ดร.สมเกียรติ จตุรงค์คำเลิศ)

วันที่ ๒๗ เดือน กันยายน พ.ศ. ๒๕๖๐

.....
.....

(รองศาสตราจารย์ ดร.เกรียงศักดิ์ เม่งอำพัน)

คณะบดีบัณฑิตวิทยาลัย

วันที่ ๓๑ เดือน กันยายน พ.ศ. ๒๕๖๐

บัณฑิตวิทยาลัยรับรองแล้ว

ชื่อเรื่อง	การสกัดและความคงตัวของpigmentในโภชนาจากผลหม่อน
ชื่อผู้เขียน	นางสาวศิริลักษณ์ เกิดศิริ
ชื่อปริญญา	วิศวกรรมศาสตรมหาบัณฑิต สาขาวิชาบริหารอาหาร
อาจารย์ที่ปรึกษาหลัก	อาจารย์ ดร.กาญจนานา นาคประสม

บทคัดย่อ

งานวิจัยนี้มีวัตถุประสงค์เพื่อศึกษาผลของการใช้เทคนิคไมโครเวฟช่วยในการสกัดแอนโภชนาจากผลหม่อน ปัจจัยในการศึกษา คือ กำลังวัตต์ไมโครเวฟในช่วง 300 - 600 วัตต์ เวลาในการสกัด 1-9 นาที และความเข้มข้นของตัวทำละลายเอทานอลร้อยละ 30 - 70 ผสมกรดซิตริกร้อยละ 3 (ปริมาตรต่อปริมาตร) ด้วยเทคนิควิธีพินผิวนับสนอง วางแผนการทดลองแบบ Box-Behnken Design โดยใช้อัตราส่วนผลหม่อน 1 กรัม ต่อตัวทำละลายเอทานอล (ผสมกรดซิตริกร้อยละ 3) 80 มิลลิลิตร จากการทดสอบการตอบสนองที่เหมาะสม พบร่วงภาวะการสกัดที่ทำให้ได้ปริมาณแอนโภชนาในสูงสุด 204.54 mg/100g DW คือ กำลังวัตต์ไมโครเวฟ 472.99 วัตต์ เวลาในการสกัด 6.45 นาที และความเข้มข้นของตัวทำละลาย (ผสมกรดซิตริกร้อยละ 3) ร้อยละ 54.97 หลังจากนั้นได้ทำการวิเคราะห์ปริมาณฟีโนลิกและสารต้านอนุมูลอิสระ 3 วิธี ได้แก่ DPPH FRAB และ ABTS ซึ่งจากการทดลองพบว่ามีปริมาณฟีโนลิกสูงที่สุดในช่วง 25.58 – 27.24 mgGAE/g และวิธีที่ส่งผลทำให้มีสารต้านอนุมูลอิสระมากที่สุดคือวิธี FRAP ซึ่งมีค่าอยู่ในช่วง 69.41 - 81.01 mM Fe²⁺/g ค่าฤทธิ์ต้านอนุมูลอิสระ ABTS 52.40 – 55.18 mM/g และ ค่าบัย়েঁงอนุมูลอิสระ DPPH 44.14 - 46.22 เปอร์เซ็นต์ ตามลำดับ. ในการศึกษาจนพลาสต์และความคงตัวของpigmentในโภชนา ได้ทำการศึกษาผลของอุณหภูมิ 25 45 และ 55 องศาเซลเซียส ที่ระยะเวลาการเก็บรักษาผงสี 10 สัปดาห์ พบร่วง ทั้ง 3 อุณหภูมิ ส่งผลทำให้มีค่าคงที่ของปฏิกิริยาการสลายตัวของแอนโภชนาใน (k) เพิ่มขึ้นและค่าครึ่งชีวิตลดลง ($t_{1/2}$) และเมื่อนำมาศึกษาหาค่าพลังงานกระตันพบว่ามีค่า 3.12 kJ/mol K

Title	Extraction and Stability of Anthocyanin from Mulberry (<i>Morus alba Linn.</i>)
Author	Miss Siriluk Kerd Siri
Degree	Master of Engineering in Food Engineering
Advisor Committee Chairperson	Dr.Kanjana Narkprasom

ABSTRACT

The objective of this research was to study the effect of microwave assisted extraction of anthocyanin from mulberry (*Morus alba Linn.*) by the response surface method (Box-Behnken Design). This study used microwave power of 300 - 600 Watt, extraction time of 1-9 min, and ethanol concentration with 3% citric acid 30 - 70% (v/v). The ratio of mulberry and solvent was 1:80 g/ml. The optimal response for obtaining the highest amounts of anthocyanin 204.54 mg/100g DW microwave power of 472.99 watt, was used extraction time at 6.45 min and ethanol concentration with 3% citric acid 54.97%, respectively. After which the total Phenolic compound and Antioxidant activity were analyzed using 3 methods: DPPH, FRAP and ABTS. From the experimental result it was found that the highest total Phenolic compound was 25.58 – 27.24 mgGAE/g using the antioxidant activity method by FRAB of 69.41 - 81.01 mM·Fe²⁺/g, ABTS of 52.40 – 55.18 mM/g and DPPH of 44.14 - 46.22%. Studying the kinetic and stability of anthrocyanin. Storage at 25, 45 and 55 °C for 10 weeks was implemented. The experimental result found that at all the temperatures. The constant rate of the anthocyanin degradation (k) increased but the haft-life ($t_{1/2}$) decreased when increasing storage temperature. After analyzation activation energy was found to be 3.12 kJ/mol K.

กิตติกรรมประกาศ

วิทยานิพนธ์เล่มนี้ทำการศึกษาเรื่องการสกัดและความคงตัวของผงสีแอนโทไซยานินจากผลหม่อน เป็นวิทยานิพนธ์ที่ผู้จัดได้หุ่มเทหั้งแรงกายแรงใจในการทำงาน จนกระทั่งสำเร็จลุล่วงด้วยดี เพราะได้รับความร่วมมือและคำแนะนำจากบุคคลหลายฝ่าย โดยเฉพาะอย่างยิ่งขอขอบคุณ อาจารย์ ดร. กาญจนานา นาคราประสม ซึ่งเป็นประธานกรรมการที่ปรึกษา ที่ได้กรุณาสละเวลา ให้ความรู้ คำแนะนำ คำปรึกษา และความช่วยเหลือต่างๆ ตลอดจนเจ้าใจใส่ดูแลอย่างสมำเสมอ จนวิทยานิพนธ์เล่มนี้สำเร็จลุล่วงไปได้ด้วยดี จึงได้ขอขอบคุณไว้ ณ ที่นี่เป็นอย่างสูง

ขอขอบคุณ ผู้ช่วยศาสตราจารย์ ดร.จตุรภัทร วาฤทธิ์ ผู้ช่วยศาสตราจารย์ ดร.นักรบ นาคราประสม และอาจารย์ ดร.หยาดฝน ทนงการกิจ ซึ่งเป็นกรรมการที่ปรึกษา ที่ได้ให้คำแนะนำ ความรู้ คำปรึกษาในเรื่องการออกแบบการทดลองและการทดสอบต่างๆรวมถึงเครื่องมือและอุปกรณ์ที่ใช้สำหรับการทดลอง ที่อันเป็นประโยชน์ในการปรับปรุงวิทยานิพนธ์ในครั้งนี้

ขอขอบคุณศูนย์หม่อนไหมเคลิมพระเกียรติที่มีความอนุเคราะห์ให้ผลหม่อนสำหรับทำการทดลองในครั้งนี้ จันส่งผลทำให้วิทยานิพนธ์สำเร็จลุล่วงไปได้ด้วยดี

ขอขอบคุณสถาบันบริการตรวจสอบคุณภาพและมาตรฐานผลิตภัณฑ์ (IQS) ที่มีความอนุเคราะห์ให้ใช้เครื่องอบแห้งแบบพ่นฟอย และคุณสุปราณี แก้วเตียน ที่ให้คำแนะนำและความช่วยเหลือเกี่ยวกับกระบวนการผลิตผงสีด้วยเครื่องอบแห้งแบบพ่นฟอย

ขอขอบคุณสาขาวิชาเทคโนโลยีหลังการเก็บเกี่ยว มหาวิทยาลัยแม่โจ้ ที่มีความอนุเคราะห์ให้ใช้เครื่องระเหยแบบสุญญากาศ และคุณทองล่า ภูกำวงศ์ ที่เคยให้คำปรึกษาและคำแนะนำวิธีการใช้เครื่องระเหยสุญญากาศ ตลอดจนให้ความช่วยเหลือด้านอื่นๆ

ขอขอบคุณ คณาจารย์ ข้าราชการและเจ้าหน้าที่ของสาขาวิชาวิศวกรรมเกษตรและสาขาวิชา วิศวกรรมอาหาร ที่เคยให้กำลังใจดี ๆ เสมอ และที่ให้ความช่วยเหลือเพื่อให้โครงงานนี้สำเร็จลุล่วงไปด้วยดี

ขอขอบคุณเพื่อนๆ นักศึกษาทุกคนที่ได้ให้ความช่วยเหลือ ให้คำแนะนำ และเป็นกำลังใจในการทำโครงงานครั้งนี้ให้สำเร็จลุล่วงไปด้วยดี

ท้ายที่สุด ขอกราบขอขอบพระคุณบิดา มารดา ที่ให้การเลี้ยงดูอบรมและส่งเสริมการศึกษาและเป็นกำลังใจให้อย่างดีตลอดมา จนทำให้ตนเป็นผู้จัดทำโครงงานประสบความสำเร็จในการเรียน

สารบัญ

	หน้า
บทคัดย่อ	(3)
ABSTRACT	(4)
กิตติกรรมประกาศ	(5)
สารบัญ	(6)
สารบัญตาราง	(9)
สารบัญภาพ	(10)
สารบัญตารางผนวก	(14)
สารบัญภาพผนวก	(15)
คำอธิบายสัญลักษณ์และคำย่อ	(16)
บทที่ 1 บทนำ	1
ความสำคัญและที่มาของปัญหา	1
วัตถุประสงค์	3
ประโยชน์ที่คาดว่าจะได้รับ	3
ขอบเขตของการวิจัย	3
บทที่ 2 ทฤษฎีและการตรวจสอบ	4
ความรู้ทั่วไปของผลหมื่นอน	4
ประเภทของผลหมื่นอน	4
ลักษณะของต้นหมื่นอน	5
สายพันธุ์ของหมื่นอน	6
คุณค่าทางโภชนาการ	7
ไมโครเวฟ	8
การสกัดด้วยการใช้ไมโครเวฟร่วม	10
การอบแห้ง	11
การอบแห้งแบบพ่นฟอย	11
เอนโนทีไซานิน	13

	หน้า
สารต้านอนุมูลอิสระ	16
วารเตอร์แอคติวิตี้	18
ปริมาณความชื้น	18
ค่าสี	19
ความสามารถในการละลาย	20
การออกแบบพื้นผิวตอบสนอง	21
การวิเคราะห์ความแปรปรวน	22
งานวิจัยที่เกี่ยวข้อง	23
บทที่ 3 อุปกรณ์และวิธีการทดลอง	25
วัตถุดิบ	25
อุปกรณ์	25
เครื่องมือ	26
สารเคมี	26
การดำเนินการ	28
การเตรียมความเข้มข้นตัวทำละลาย	30
การสกัดสารแอนโกลไชyanin	31
วิธีวิเคราะห์ปริมาณแอนโกลไชyanin	32
วิธีวิเคราะห์ปริมาณฟีโนลิก	32
วิธีวิเคราะห์สารต้านอนุมูลอิสระ	34
การอบแห้งแบบพ่นฝอยเพื่อศึกษาความคงตัวของผงสีแอนโกลไชyanin	35
การวิเคราะห์คุณสมบัติของผงสีแอนโกลไชyanin	35
การศึกษาจนพลศาสตร์และความคงตัวของผงสีแอนโกลไชyanin	36
การนำผงสีผสมอาหารจากผลหม่อนไปประยุกต์ใช้	37
การวางแผนการทดลองและวิเคราะห์ข้อมูลทางสถิติ	38
ระยะเวลาในการดำเนินการ	38
สถานที่ที่ทำวิจัย	38

	หน้า
บทที่ 4 ผลและวิจารณ์ผลการทดลอง	39
การทดสอบหาสภาวะที่เหมาะสมในการสกัดแอนโトイไซยานินจากผลหม่อนเบื้องต้น	39
การออกแบบการทดลองด้วยวิธีพื้นที่ผิวตอบสนอง	42
การวิเคราะห์หาปริมาณฟินอลิกและสารต้านอนุมูลอิสระ	50
การอบแห้งแบบพ่นฝอยเพื่อศึกษาความคงตัวของpigmentในแอนโトイไซยานิน	59
การศึกษาจนพลศาสตร์และความคงตัวของpigmentในแอนโトイไซยานิน	60
การวิเคราะห์คุณสมบัติของpigmentในแอนโトイไซยานินจากผลหม่อน	63
การนำpigmentมาประยุกต์ใช้ในอุตสาหกรรม	67
บทที่ 5 สรุป	69
สรุปผลการทดลอง	69
ปัญหาที่พบ	70
ข้อเสนอแนะ	70
บรรณานุกรม	71
ภาคผนวก	75
ภาคผนวก ก ข้อมูลการทดลองการสกัดแอนโトイไซยานิน ฟินอลิก และสารต้านอนุมูลอิสระ	76
ภาคผนวก ข ข้อมูลการทดลองจนพลศาสตร์และความคงตัวของpigment ในแอนโトイไซยานิน	87
ภาคผนวก ค ตัวอย่างการคำนวณ	96
ภาคผนวก ง เครื่องมือ อุปกรณ์ และสารเคมีที่ใช้สำหรับการทดลอง	102
ภาคผนวก จ บทความวิชาการที่ได้รับการตีพิมพ์เผยแพร่	106
ภาคผนวก ฉ ประวัตินักศึกษา	117

สารบัญตาราง

ตารางที่	หน้า
1 ส่วนประกอบทางเคมีของผลหม่อน	7
2 ความสัมพันธ์ระหว่างปัจจัยและระดับความสำคัญโดยวิธีพื้นผิวตอบสนอง	30
3 แสดงความเข้มข้นสารละลายมาตรฐานกรดแกลลิก	33
4 การกำหนดปัจจัยและระดับการทดลอง	42
5 การออกแบบและการทดลองการสกัดแอนโกลไฮยาลูโรนิกจากผลหม่อน ด้วยวิธีพื้นที่ผิวตอบสนอง	43
6 การวิเคราะห์ความแปรปรวนของปริมาณแอนโกลไฮยาลูโรนิกจากผลหม่อน	45
7 การวิเคราะห์ปริมาณฟีนอลิกและสารต้านอนุมูลอิสระ	50
8 ค่าการเกิดปฏิกิริยาการสลายตัวของผงสีแอนโกลไฮยาลูโรนิกจากผลหม่อน	61
9 ผลการวิเคราะห์คุณสมบัติค่า Water activity ของผงสีแอนโกลไฮยาลูโรนิกจากผลหม่อน ที่อุณหภูมิต่างๆ	63
10 ผลการวิเคราะห์คุณสมบัติค่า Hygroscopicity ของผงสีแอนโกลไฮยาลูโรนิกจากผลหม่อน ที่อุณหภูมิต่างๆ	64
11 ผลการวิเคราะห์คุณสมบัติค่า Solubility ของผงสีแอนโกลไฮยาลูโรนิกจากผลหม่อน ที่อุณหภูมิต่างๆ	65
12 การวิเคราะห์ค่าสีของเม็ดสีธรรมชาติ	68

สารบัญภาพ

ภาพที่	หน้า
1 ลักษณะของต้นหม่อน	4
2 (ก) ลักษณะต้นหม่อนเพื่อรับประทานผล (ข) การเลี้ยงไหง	5
3 การสักด้โดยการใช้คลื่นไมโครเวฟ	10
4 แสดงอุปกรณ์เครื่องอบแห้งแบบพ่นฝอย	12
5 ตำแหน่งหมูไอกอกซิลและหมูเมทอกซิล	13
6 การเปลี่ยนแปลงโครงสร้างแอนโ陶ไซานิน	14
7 โครงสร้างของสารประกอบฟีโนอลิก	17
8 การบรรยายสีในระบบ CIE Lab มองในระนาบ 2 มิติ	19
9 การบรรยายสีพื้นในระบบ CIE Lab มองในระนาบ 3 มิติ	19
10 การออกแบบการทดลองในรูปของกล่องโดยวิธี Box-Behken Design	22
11 แผนภูมิการทดลอง	28
12 การเตรียมตัวอย่างก่อนการอบแห้ง	29
13 การอบแห้งผลหม่อนด้วยเครื่องอบแห้งแบบลมร้อน	29
14 แผนภูมิการสักด้แอนโ陶ไซานิน	31
15 แสดงความสัมพันธ์ระหว่างความเข้มข้นของตัวทำละลายกับปริมาณแอนโ陶ไซานิน ในสภาวะเวลาในการสักด้ 5 นาที และกำลังเครื่องไมโครเวฟ 450 วัตต์	40
16 แสดงความสัมพันธ์ระหว่างเวลาในการสักด้กับปริมาณแอนโ陶ไซานินในสภาวะ ความเข้มข้นของตัวทำละลาย 50 เปอร์เซ็นต์ (กรดซิตริกกรด 3) และกำลังเครื่อง ไมโครเวฟ 450 วัตต์	40
17 แสดงความสัมพันธ์ระหว่างกำลังไมโครเวฟในการสักด้กับปริมาณแอนโ陶ไซานิน ในสภาวะความเข้มข้นของตัวทำละลาย 50 เปอร์เซ็นต์ (กรดซิตริกกรด 3) และเวลา ในการสักด้ 5 นาที	41
18 แสดงความน่าจะเป็นแบบปกติของส่วนตกลง	44

ภาพที่	หน้า
19 แสดงความสัมพันธ์ระหว่างเวลาในการสกัด (นาที) และกำลังไมโครเวฟ (วัตต์) ต่อปริมาณแอนโกลไซยานิน (ความเข้มข้นของตัวทำละลาย 50 เปอร์เซ็นต์ ผสมกรดซิตริกร้อยละ 3)	46
20 แสดงความสัมพันธ์ระหว่างความเข้มข้นของตัวทำละลาย (เปอร์เซ็นต์) ผสมกรดซิตริกร้อยละ 3 และกำลังไมโครเวฟ (วัตต์) ต่อปริมาณแอนโกลไซยานิน (เวลาในการสกัด 5 นาที)	47
21 แสดงความสัมพันธ์ระหว่างความเข้มข้นของตัวทำละลาย (เปอร์เซ็นต์) ผสมกรดซิตริกร้อยละ 3 และเวลาในการสกัด (นาที) ต่อปริมาณแอนโกลไซยานิน (กำลังเครื่องไมโครเวฟ 450 วัตต์)	48
22 แสดงความสัมพันธ์ระหว่างเวลาในการสกัด (นาที) และกำลังไมโครเวฟ (วัตต์) ต่อปริมาณฟีโนลิก (ความเข้มข้นของตัวทำละลาย 50 เปอร์เซ็นต์ ผสมกรดซิตริกร้อยละ 3)	51
23 แสดงความสัมพันธ์ระหว่างความเข้มข้นของตัวทำละลาย (เปอร์เซ็นต์) ผสมกรดซิตริกร้อยละ 3 และกำลังไมโครเวฟ (วัตต์) ต่อปริมาณฟีโนลิก(เวลาในการสกัด 5 นาที)	52
24 แสดงความสัมพันธ์ระหว่างความเข้มข้นของตัวทำละลาย (เปอร์เซ็นต์) ผสมกรดซิตริกร้อยละ 3 และเวลาในการสกัด (นาที) ต่อต่อปริมาณฟีโนลิก (กำลังเครื่องไมโครเวฟ 450 วัตต์)	52
25 แสดงความสัมพันธ์ระหว่างเวลาในการสกัด (นาที) และกำลังไมโครเวฟ (วัตต์) ต่อวิธีการทำลายอนุมูลอิสระ DPPH (ความเข้มข้นของตัวทำละลาย 50 เปอร์เซ็นต์ ผสมกรดซิตริกร้อยละ 3)	53
26 แสดงความสัมพันธ์ระหว่างความเข้มข้นของตัวทำละลาย (เปอร์เซ็นต์) ผสมกรดซิตริกร้อยละ 3 และกำลังไมโครเวฟ (วัตต์) ต่อวิธีการทำลายอนุมูลอิสระ DPPH (เวลาในการสกัด 5 นาที)	54
27 แสดงความสัมพันธ์ระหว่างความเข้มข้นของตัวทำละลาย (เปอร์เซ็นต์) ผสมกรดซิตริกร้อยละ 3 และเวลาในการสกัด (นาที) ต่อวิธีการทำลายอนุมูลอิสระ DPPH (กำลังไมโครเวฟ 450 วัตต์)	54

ภาคที่	หน้า
28 แสดงความสัมพันธ์ระหว่างเวลาในการสกัด (นาที) และกำลังไมโครเวฟ (วัตต์) ต่อ ความสามารถในการดิวเฟอร์ริกของสารต้านอนุมูลอิสระ FRAP (ความเข้มข้นของตัวทำละลาย 50 เปอร์เซ็นต์ ผสมกรดซิตริกร้อยละ 3)	55
29 แสดงความสัมพันธ์ระหว่างความเข้มข้นของตัวทำละลาย (เปอร์เซ็นต์) ผสมกรดซิตริก ร้อยละ 3 และกำลังไมโครเวฟ (วัตต์) ต่อความสามารถในการดิวเฟอร์ริกของ สารต้านอนุมูลอิสระ FRAP (เวลาในการสกัด 5 นาที)	56
30 แสดงความสัมพันธ์ระหว่างความเข้มข้นของตัวทำละลาย (เปอร์เซ็นต์) ผสมกรดซิตริก ร้อยละ 3 และเวลาในการสกัด (นาที) ต่อความสามารถในการดิวเฟอร์ริกของ สารต้านอนุมูลอิสระ FRAP (กำลังเครื่องไมโครเวฟ 450 วัตต์)	56
31. แสดงความสัมพันธ์ระหว่างเวลาในการสกัด (นาที) และกำลังไมโครเวฟ (วัตต์) ต่อสารต้านอนุมูลอิสระด้วยการฟอกสี ABTS (ความเข้มข้นของตัวทำละลาย 50 เปอร์เซ็นต์ ผสมกรดซิตริกร้อยละ 3)	57
32 แสดงความสัมพันธ์ระหว่างความเข้มข้นของตัวทำละลาย (เปอร์เซ็นต์) ผสมกรดซิตริก ร้อยละ 3 และกำลังไมโครเวฟ (วัตต์) ต่อสารต้านอนุมูลอิสระด้วยการฟอกสี ABTS (เวลาในการสกัด 5 นาที)	58
33 แสดงความสัมพันธ์ระหว่างความเข้มข้นของตัวทำละลาย (เปอร์เซ็นต์) ผสมกรดซิตริก ร้อยละ 3 และเวลาในการสกัด (นาที) ต่อสารต้านอนุมูลอิสระด้วยการฟอกสี ABTS (กำลังไมโครเวฟ 450 วัตต์)	58
34 ผงสีแอนโกลไชยานิน	59
35 กราฟแสดงความสัมพันธ์ระหว่างอายุการเก็บรักษาต่อบริมาณแอนโกลไชยานิน	60
36 ค่า $\ln(C_t/C_0)$ ของปริมาณแอนโกลไชยานินต่ออุณหภูมิที่มีผลกับระยะเวลาใน การเก็บรักษาพงหม่อน	62
37 การสลายตัวของปริมาณแอนโกลไชยานินจากพงหม่อนระหว่างการให้ความร้อน ที่อุณหภูมิ 25 45 และ 55 องศาเซลเซียส	62
38 เครื่องอัดเม็ด	67

ภาพที่	หน้า
39 ภาพประกอบการผลิตเม็ดสีธรรมชาติ (ก) ส่วนประกอบการผลิตเม็ดสีธรรมชาติจากผงหม่อน (ข) เม็ดสีธรรมชาติที่มีส่วนผสมของผงมะเกียงและผงหม่อน (ค) เม็ดสีที่มีส่วนผสมของผงหม่อน	68
40 ขวดบรรจุภัณฑ์เม็ดสีจากธรรมชาติ	68



สารบัญตารางผนวก

ตารางผนวกที่	หน้า
1 ผลการวิเคราะห์กำลังไมโครเวฟที่มีผลต่อแอนโนไซยานิน	77
2 ผลการวิเคราะห์เวลาในการสกัดที่มีผลต่อแอนโนไซยานิน	78
3 ผลการวิเคราะห์กำลังไมโครเวฟในการสกัดที่มีผลต่อแอนโนไซยานิน	79
4 ข้อมูลการวิเคราะห์ปริมาณแอนโนไซยานินที่ได้จากการสกัดด้วยวิธีพื้นที่ ผิวนอกสนองด้วยแบบ BBD	80
5 ข้อมูลการวิเคราะห์ปริมาณฟีโนลิกจากการสกัดผลหม่อนด้วยวิธีไมโครเวฟ	81
6 ข้อมูลการวิเคราะห์สารต้านอนุมูลอิสระด้วยวิธีการทำลายอนุมูลอิสระ DPPH	82
7 ข้อมูลการวิเคราะห์ความสามารถในการรีดิวซ์เฟอร์ริกของ สารต้านอนุมูลอิสระ FRAP	83
8 ข้อมูลการวิเคราะห์สารต้านอนุมูลอิสระด้วยการฟอกสี ABTS	84
9 ข้อมูลการวิเคราะห์ปริมาณแอนโนไซยานิน ที่อุณหภูมิ 25 45 และ 55 องศาเซลเซียส	88
10 ข้อมูลการวิเคราะห์ค่าพลังงานกระตัน (Ea) ที่อุณหภูมิ 25 45 และ 55 องศาเซลเซียส	88
11 ข้อมูลการวิเคราะห์ค่าอtoter์แอคติวิตี้ (Water active) อุณหภูมิ 25 45 และ 55 องศาเซลเซียส	89
12 ข้อมูลการวิเคราะห์ค่าการดูดกลืนกลับ (Hygroscopicity) อุณหภูมิ 25 องศาเซลเซียส	90
13 ข้อมูลการวิเคราะห์ค่าการดูดกลืนกลับ (Hygroscopicity) อุณหภูมิ 45 องศาเซลเซียส	91
14 ข้อมูลการวิเคราะห์ค่าการดูดกลืนกลับ (Hygroscopicity) อุณหภูมิ 55 องศาเซลเซียส	92
15 ข้อมูลการวิเคราะห์ค่าการละลาย (Solubility) อุณหภูมิ 25 องศาเซลเซียส	93
16 ข้อมูลการวิเคราะห์ค่าการละลาย (Solubility) อุณหภูมิ 45 องศาเซลเซียส	94
17 ข้อมูลการวิเคราะห์ค่าการละลาย (Solubility) อุณหภูมิ 55 องศาเซลเซียส	95

สารบัญภาพพนวก

ภาพพนวกที่	หน้า
1 กราฟความเข้มข้นสารละลายน้ำตราชูนกรดแกลลิก (มิลลิกรัมต่อลิตร) ต่อค่าการดูดกลืนแสงที่ความยาวคลื่น 765 นาโนเมตร	85
2 กราฟความเข้มข้นสารละลายน้ำตราชูนต่อค่าการดูดกลืนแสงที่ความยาวคลื่น 593 นาโนเมตร	85
3 กราฟความเข้มข้นสารละลายน้ำตราชูน Trolox (มิลลิโมลาร์) ต่อค่าการดูดกลืนแสงที่ความยาวคลื่น 734 นาโนเมตร	86
4 ชุดอุปกรณ์เครื่องระเหยสุญญากาศ	103
5 เครื่องอบแห้งแบบลมร้อน	103
6 เครื่องหมุนเหลว	103
7 เครื่องวัดค่าการดูดกลืนแสง (Spectrophotometer)	104
8 เครื่องกรองสุญญากาศ	104
9 เครื่องวัดสี (Spectrophotometer)	104
10 เครื่องวัดค่าอว托เรอร์แอคติวิตี้ (Water activity)	105
11 เครื่องวัดค่าสาร (Refractometer)	105
12 สารเคมีที่ใช้สำหรับการทดลอง	105

คำอธิบายสัญลักษณ์และคำย่อ

สัญลักษณ์	ความหมาย
W_1	น้ำหนักผงก่อนการอบแห้ง (กรัม)
W_2	น้ำหนักผงหลังการอบแห้ง (กรัม)
L^*	แสดงถึงแกนสีขาว ($+L^*$) ไปจนถึงสีดำ ($-L^*$)
a^*	แสดงถึงแกนสีจากเขียว ($-a^*$) ไปจนถึงแดง ($+a^*$)
b^*	แสดงถึงแกนสีจากเขียว ($-a^*$) ไปจนถึงแดง ($+a^*$)
C^*	Chroma แสดงถึงความอิมตัวของสี
h°	แสดงถึงสีแท้จริงที่ปรากฏให้เห็น ซึ่งมีค่าอยู่ระหว่าง 0-360 องศา
R^2	ค่าความคลาดเคลื่อน (เปอร์เซ็นต์)
γ	ค่าทำนายการตอบสนอง
β_0	ค่าคงที่ของสมการ
$\beta_1, \beta_2, \beta_3$	ค่าสัมประสิทธิ์เชิงเส้น
$\beta_{11}, \beta_{22}, \beta_{33}$	ค่าสัมประสิทธิ์กำลังสอง
C_1	ความเข้มข้นของเอทานอล 95 เปอร์เซ็นต์ (เปอร์เซ็นต์)
C_2	ความเข้มข้นของตัวทำละลายที่ต้องการ (เปอร์เซ็นต์)
V_1	ปริมาตรของเอทานอล 95 เปอร์เซ็นต์ (เปอร์เซ็นต์)
V_2	ปริมาตรของสารละลายที่ต้องการ (เปอร์เซ็นต์)
T_{acy}	ปริมาณสารแอนโトイไซานินทั้งหมดที่มีอยู่ในตัวอย่าง (mg/100g DW)
O.D	ค่าการดูดกลืนแสง
DV	ปริมาตรของสารละลายที่สกัดได้ที่เจือจางเตรียมไว้สำหรับวัดค่าการดูดกลืนแสง (มิลลิลิตร)
SV	ปริมาตรของสารละลายที่สกัดได้ที่เตรียมสำหรับเจือจาง (มิลลิลิตร)
SW	น้ำหนักของตัวอย่างที่ใช้สกัด (กรัม)
TEV	ปริมาตรของสารละลายทั้งหมดที่สกัดได้ (มิลลิลิตร)
E	ค่าเฉลี่ยโดยน้ำหนัก E ของแอนโトイไซานินมีค่าเท่ากับ 599
C_t	คือปริมาณแอนโトイไซานินเมื่อเวลาผ่านไป t หลังจากได้รับความร้อนตามอุณหภูมิที่กำหนดไว้
C_0	ปริมาณแอนโトイไซานินเริ่มต้น

สัญลักษณ์	ความหมาย
K	ค่าคงที่อัตราการเกิดปฏิกิริยาอันดับหนึ่ง
t	เวลาการเกิดปฏิกิริยา (สัปดาห์)
$t_{1/2}$	ค่าครึ่งชีวิต
k^{-1}	ค่าคงที่อัตราการเกิดปฏิกิริยาอันดับหนึ่ง
K	คือค่าคงที่อัตรา (rate constant) ค่านี้ขึ้นอยู่กับอุณหภูมิ (K)
A	คือแฟกเตอร์ความถี่ (Frequency factor) เป็นค่าที่เกี่ยวข้องกับความถี่การชนกันของโมเลกุลทั้งหมดของสารตั้งต้น
E_A	พลังงานที่ทำให้สีเกิดการเปลี่ยนแปลงหรือการทำให้สีที่มีอยู่เกิดการลดลง
R	ค่าคงที่ของแก๊สแม่ ค่าเท่ากับ 8.314 (J/mol.K)
T	อุณหภูมิสัมบูรณ์ (K)

บทที่ 1

บทนำ

ความสำคัญและที่มาของปัญหา

ผลหม่อน หรือเรียกอีกชื่อหนึ่งว่า มัลเบอร์รี่ (Mullberry: Morus alba Linn.) เป็นไม้ยืนต้น ตระกูลเบอร์รี่ เช่นเดียวกับ บลูเบอร์รี่ และราสเบอร์รี่ ผลหม่อนเป็นพืชที่ปลูกได้ในหลายประเทศและปลูกได้ในบางสภาพอากาศของประเทศไทย ซึ่งพื้นที่เพาะปลูกหม่อนมากกว่าร้อยละ 95 ของประเทศไทยอยู่ในภาคเหนือและภาคตะวันออกเฉียงเหนือโดยต้นหม่อนสามารถแบ่งออกได้เป็น 2 ประเภท ได้แก่ หม่อนที่ปลูกสำหรับรับประทานซึ่งผลจะมีลักษณะโตเป็นช่อ ส่วนอีกประเภทหนึ่งคือ หม่อนที่ใช้ปลูกสำหรับการเลี้ยงไก่เป็นหลัก ซึ่งหม่อนชนิดนี้จะมีใบใหญ่และออกใบมากใช้เป็นอาหารของไก่ได้ดีแต่ยังคงให้ผลหม่อนเป็นผลผลิตได้ เมื่อผลหม่อนสุกเต็มที่แล้วจะเป็นสีน้ำเงินดำมีลักษณะอวบน้ำเนื่องด้วยคุณสมบัติทางกายภาพของผลหม่อนนั้นมีปริมาณน้ำจำนวนมากและมีสัดส่วนความเปรี้ยวและความหวานสมดุลกันแต่ถ้าผลไม่สุกจะออกสีแดงมีรสเปรี้ยว ผลหม่อนเป็นผลไม้ที่มีคุณค่าและเป็นแหล่งสำคัญของน้ำตาล กรด Resveratrol สูงกว่า Superfruits ชนิดอื่นถึงร้อยละ 79 รวมถึงสารสำคัญต่างๆ โดยเฉพาะอย่างยิ่งสารประกอบแอนโทไซยานินที่มีสีแดง และสารประกอบฟินอลิกที่มีคุณสมบัติในการเป็นสารต้านออกซิเดชันที่ช่วยป้องกันการเกิดโรคเรื้อรังต่างๆ ได้ เช่น โรคมะเร็ง colon โรคระบahn โรคหัวใจ เมื่อถึงช่วงฤดูกาลออกผลจะมีปริมาณมาก ส่งผลทำให้ผลหม่อนเกิดการเน่าเสีย จึงมีการคิดหาวิธีการเก็บรักษาและการนำผลหม่อนมาแปรรูปเป็นผลิตภัณฑ์ต่างๆ ได้แก่ การแข็งเม็ด การอบแห้ง ไวน์ผลไม้ น้ำผลไม้ แยม เยลลี่ และลูกอม (ตรีชฎา, 2556) ถึงแม้ว่าในการแปรรูปผลหม่อนนั้นสามารถช่วยลดปัญหาการเน่าเสียของผลผลิตทางการเกษตรและเพิ่มมูลค่าให้กับสินค้าทางการเกษตร แต่ในกระบวนการผลิตนั้น ผลหม่อนจะต้องผ่านขั้นตอนการผลิตต่างๆ และในแต่ละขั้นตอนจะมีปัจจัยหลายปัจจัยที่อาจส่งผลกระทบต่อความคงตัวของแอนโทไซยานิน ซึ่งเป็นสารประกอบหลักที่พบมากในผลหม่อนที่มีความสำคัญต่อคุณภาพและคุณค่าทางโภชนาการของผลิตภัณฑ์ และสามารถเสื่อมสลายได้ด้วยความร้อน เอ็นไซม์ ความเป็นกรด-ด่าง ในกระบวนการผลิต (ศุทธินี และคณะ, 2553) รวมถึงระยะเวลาในการเก็บรักษาอาจส่งผลทำให้สารแอนโทไซยานินซึ่งเป็นสารสำคัญในผลหม่อนมีปริมาณลดลง

การสกัดเป็นวิธีการที่สามารถนำมาใช้ในการแยกสารที่ต้องการและไม่ต้องการออกจากกัน โดยอาศัยการทำงานของตัวทำละลายที่เหมาะสม นักวิทยาศาสตร์จึงได้พัฒนาเครื่องมือและวิธีการสกัดเพื่อให้ได้ผลผลิตในปริมาณสูงสุด การใช้เทคนิคไมโครเวฟร่วมในการสกัด (Microwave -

Assisted Extraction: MAE) จึงถือเป็นอีกวิธีการหนึ่งที่ใช้ความร้อนจากคลื่นไมโครเวฟทำให้เมล็ดน้ำในเซลล์พิชสั่นสะเทือน ทำให้เซลล์แตกจากการได้รับความร้อนยิ่งขวดและปล่อยสารสำคัญที่อยู่ภายในออกมานอกจากนี้ยังสามารถช่วยเพิ่มประสิทธิภาพของการสกัด ทำให้ได้สารสำคัญที่มีประสิทธิภาพสูงและลดเวลาในการสกัดลง (Song et al., 2011)

ในอุตสาหกรรมการผลิตสีผสมอาหารนิยมใช้เทคนิคการอบแคปซูลเลชั่น (Encapsulation) ด้วยการอบแห้งแบบพ่นฝอย (Spray drying) ซึ่งเป็นเทคนิคที่ใช้กันอย่างแพร่หลายในอุตสาหกรรมอาหาร เนื่องจากได้ผลิตผลที่มีคุณภาพดี มีค่าปริมาณน้ำอิสระต่ำ และต้นทุนการผลิตถูกกว่าวิธีอื่น นอกจากนี้ยังมีรายงานว่าวิธีนี้สามารถรักษาปริมาณสารฟลาโวนอยด์ และคุณสมบัติการเป็นสารต้านปฏิกิริยาออกซิเดชันได้สูงกว่าการทำแห้งแบบสูญญากาศ สำหรับตัวกลางที่ใช้ในการเคลือบหรือสารตัวกลางที่ใช้ในอุตสาหกรรมอาหาร เช่น молโตเดกซ์ตرين เป็นตัวตัวที่ช่วยให้สารตัวกลางคงตัวและคงค่าคุณภาพของสีไว้ได้ยาวนานขึ้น เพื่อเพิ่มความคงตัวและปริมาณสีที่อยู่ในสารสกัดนั้น

จนพลศาสตร์และความคงตัวเป็นการศึกษาถึงผลกระทบที่ผลต่อการเปลี่ยนแปลงคุณภาพของผงสีที่ในระหว่างการการเก็บรักษาโดยเฉพาะสารสำคัญที่อยู่ในผลหม่อนจะเกิดการสลายตัว ซึ่งปัจจัยที่ส่งผลต่อการเปลี่ยนแปลงของผงสีได้แก่ อุณหภูมิ ความชื้น และออกซิเจน เป็นต้น

ดังนั้นงานวิจัยนี้จึงได้ทำการศึกษาการสกัดสารเอนไซยานิจจากผลหม่อนที่ผ่านการแข็ง化 และการอบแห้งมาทำการสกัดโดยการใช้คลื่นไมโครเวฟร่วม และทำการออกแบบการทดลองเพื่อหาสภาวะที่เหมาะสมในการสกัดจากนั้นน้ำมามาเปรรูปเป็นผงสีด้วยวิธีการอบแห้งแบบพ่นฝอยเพื่อทำการศึกษาจนพลศาสตร์และความคงตัวของผงสี จากงานวิจัยนี้สามารถนำข้อมูลและผงสีที่ได้ไปประยุกต์ใช้กับอุตสาหกรรมการผลิตอาหาร เพื่อเป็นการเพิ่มมูลค่าให้กับสินค้าทางการเกษตร

วัตถุประสงค์

1. ศึกษาสรุปที่เหมาะสมในการสกัดแอนโทไซยานิน พื้นอลิกและสารต้านอนุมูลอิสระจากผลหม่อนโดยเทคนิคไมโครเวฟร่วม
2. เพื่อศึกษาจนผลศาสตร์ และความคงตัวของผงสีแอนโทไซยานินจากผลหม่อน

ประโยชน์ที่คาดว่าจะได้รับ

ภายหลังทำการศึกษาการวิจัยเกี่ยวกับการสกัดแอนโทไซยานินจากผลหม่อนด้วยวิธีไมโครเวฟ คาดว่าจะได้ความรู้พื้นฐานเชิงวิศวกรรม ทราบข้อดีและประโยชน์ในการสกัดด้วยวิธีการใช้ไมโครเวฟที่ช่วยลดระยะเวลาในการสกัดซึ่งจะส่งผลทำให้ปริมาณสารสำคัญเหล่านั้นไม่เกิดการสูญเสีย อีกทั้งยังทราบถึงปริมาณสารแอนโทไซยานินซึ่งเป็นสารสำคัญที่อยู่ในผลหม่อนรวมถึงสารฟีโนอลิก และสารต้านอนุมูลอิสระ ซึ่งสารเหล่านี้ล้วนเป็นสารที่มีประโยชน์ต่อร่างกาย นอกจากการสกัดวิธีไมโครเวฟแล้วยังได้องค์ความรู้ใหม่เกี่ยวกับการใช้งานและหลักการทำงานของเครื่องอบแห้งแบบพ่น ฝอยช่วยในการปรับปรุงเป็นผลิตภัณฑ์ผงสีจากผลหม่อน (สีผสมอาหาร) ซึ่งทำให้ได้ผลิตภัณฑ์สีผสมอาหารที่มีสีแดงเทียบได้กับสีผสมอาหารสีแดงที่มีขายในตลาด และสามารถเผยแพร่องค์ความรู้และเทคโนโลยีที่เกี่ยวข้องกับผลิตภัณฑ์สีผสมอาหารอันก่อให้เกิดการผลิตในเชิงพาณิชย์ได้ต่อไป

ขอบเขตของการวิจัย

1. อบแห้งผลหม่อนด้วยตู้อบลมร้อนที่อุณหภูมิ 60 องศาเซลเซียส ความชื้นไม่เกิน 10 เปอร์เซ็นต์ (ฐานแห้ง)
2. ศึกษาการสกัดแอนโทไซยานินโดยทำการควบคุมกำลังวัตต์ (วัตต์) เวลา (นาที) เอทานอล หรือความเข้มข้นของตัวทำละลาย (เปอร์เซ็นต์)
3. นำผงสีที่ผ่านกระบวนการอบแห้งแบบพ่นฝอยมาศึกษาความสามารถในการละลายที่ อุณหภูมิ 30 องศาเซลเซียส
4. ศึกษาความคงตัวของผงสีแอนโทไซยานิน พื้นอลิก และฤทธิ์ต้านอนุมูลอิสระโดยทำการศึกษาที่อุณหภูมิ 25 45 และ 55 องศาเซลเซียส

บทที่ 2

ทฤษฎีและการตรวจเอกสาร

ความรู้ทั่วไปของผลหม่อน



ภาพที่ 1 ลักษณะของต้นหม่อน

ผลหม่อน หรือ มัลเบอร์รี่ (Mulberry: *Morus alba Linn.*) เป็นพืชพื้นเมืองของประเทศจีน ตอนใต้ แอบเทือกเขาหิมาลัย แต่ภายหลังได้มีการนำเข้ามาปลูกในอินโดจีน ญี่ปุ่น พิลิปปินส์ ไทย ฯลฯ ผลหม่อนเป็นพืชตระกูลเบอร์รี่สามารถปลูกได้ทั่วประเทศพบได้ทั่วไปในป่าดิบชื้น ในประเทศไทยปลูกกันมากทางภาคเหนือและภาคตะวันออกเฉียงเหนือ ในส่วนของผลหม่อนเมื่อสุกเต็มที่แล้วจะมีลักษณะเป็นสีม่วงดำ มีรสชาติหวาน และถ้าเป็นสีแดงจะออกรสเปรี้ยว นอกจากผลผลิตที่ได้แล้ว ในส่วนของใบหม่อนสามารถนำไปเป็นอาหารของตัวใหม่ได้อีกด้วย ผลหม่อนที่มีสีม่วงดำให้ส่วนประกอบอุดมด้วยสารต้านอนุมูลอิสระ ซึ่ง Anthocyanin เป็นสารสีม่วงแดง ช่วยป้องกันโรคหัวใจ โรคมะเร็ง ช่วยชะลอความแก่ ลดริ้วรอย และ Resveratrol สูงกว่า Superfruits ชนิดอื่น ถึง 79% (www.drymulberry.com และ www.frynn.com)

ประเภทของผลหม่อน

ประเภทของผลหม่อนสามารถแบ่งตามวัตถุประสงค์การนำไปใช้ได้เป็น 2 ประเภท คือ

1. หม่อนที่ปลูกเพื่อรับประทานผลสด ได้แก่ black mulberry (*Morus nigra*) ซึ่งมีผลโตเป็นซอง เมื่อผลสุกจะมีสีดำ มีรสอมเปรี้ยวอมหวาน นิยมใช้รับประทานผลสดหรือนำไปปรุงทำเป็นอาหารและเครื่องดื่มได้

2. หม่อนที่ปลูกเพื่อเลี้ยงไหม ได้แก่ white mulberry (*Morus alba Linn.*) หม่อนชนิดนี้มีผลเป็นช่อขนาดเล็ก เมื่อสุกแล้วจะมีผลลัพธ์เด้ง มีรสเปรี้ยว ไม่เป็นที่นิยมนำมารับประทาน แต่มีใบขนาดใหญ่และจำนวนใบมาก ซึ่งสามารถที่จะใช้เป็นอาหารของหนอนไหมได้เป็นอย่างดี



ภาพที่ 2 (ก) ลักษณะต้นหม่อนเพื่อรับประทานผล (ข) การเลี้ยงไหม

ลักษณะของต้นหม่อน

ลำต้น

มีลักษณะเป็นไม้พุ่มขนาดกลางหรือไม้ยืนต้นขนาดเล็ก มีลำต้นตั้งตรง สูงประมาณ 2.5 เมตร บางสายพันธุ์สูงได้ประมาณ 3 - 7 เมตร แตกกิ่งก้านค่อนข้างน้อย เปลือกลำต้นเรียบเป็นสีน้ำตาลแดง ส่วนเปลือกรากมีสีน้ำตาลแดงหรือสีเหลืองแดงและมีเส้นร่องแตก

ใบหม่อน

ใบมีลักษณะเป็นใบเลี้ยงเดียว ออกเรียงสลับ ลักษณะของใบเป็นรูปปี๊บ หรือรูปไข่กว้าง ปลายใบแหลมยาว โคนใบเว้าเป็นรูปหัวใจหรือค่อนข้างตัด ขอบใบเรียบหรือหยักเว้าเป็นพู (จื่นอยู่กับสาพันธุ์ที่ปลูก) ใบอ่อนขอบใบเป็นพูสองข้างไม่เท่ากัน ขอบพูเป็นชีฟิน ใบมีขนาดกว้างประมาณ 8-14 เซนติเมตร และยาวประมาณ 12-16 เซนติเมตร แผ่นใบเป็นสีเขียวเข้ม ห้องใบเป็นสีเขียวอ่อนค่อนข้างหนา หลังใบสากระคายมือ ก้านใบเรียวเล็ก ยาวประมาณ 1-1.5 เซนติเมตร มีหูใบเป็นรูปแฉบแฉบปลายแหลม ยาวได้ประมาณ 0.2-0.5 เซนติเมตร

ดอกหม่อน

ออกดอกเป็นช่อตามซอกใบและปลายยอด ดอกเป็นแบบแยกเพศแต่อยู่บนต้นเดียวกัน ลักษณะของดอกเป็นรูปทรงกระบอก ช่อดอกเพศผู้และช่อดอกเพศเมียจะอยู่ต่างช่อกัน ดอกย่อยมีขนาดเล็ก วงกลีบรวมเป็นสีขาวม่นหรือเป็นสีขาวแกมสีเขียว ช่อดอกเป็นทางกรวยรอก ยาวได้ประมาณ 2 เซนติเมตร ดอกเพศผู้ วงกลีบรวมมีแฉก 4 แฉก เกลี้ยง ส่วนดอกเพศเมีย วงกลีบรวมมีแฉก 4 แฉก เกลี้ยง ขอบมีขัน เมื่อเป็นผลจะอวนน้ำ รังไข่เกลี้ยง ก้านเกสรเพศเมียมี 2 อัน

ผลหม่อน

เป็นผลที่เกิดจากช่อดอก ผลเป็นผลรวมอยู่ในรากจะเดียวกัน โดยจะออกตามซอกใบ ลักษณะของผลเป็นรูปทรงกระบอก ยาวประมาณ 1-2.5 เซนติเมตร ผลเป็นสีเขียว เมื่อผลสุกแล้วจะเปลี่ยนเป็นสีม่วงแดงเข้มหรือสีม่วงดำ เกือบดำ เนื้อนิ่ม น้ำหนัก และมีร่องรอยน้ำทึบ

สายพันธุ์ของหม่อน

สายพันธุ์หม่อนที่ปลูกในประเทศไทย มีดังนี้

1. พันธุ์เชียงใหม่ ปลูกมากในภาคเหนือ กระจายทั่วไปทางภาคเหนือตอนบนและในหมู่บ้านชาวไทยภูเขา เชตุภูเขาสูงของภาคเหนือ ต้นหม่อนที่มีอายุ 3 ปี ให้ผลผลิตผลหม่อนประมาณ 600 – 700 กิโลกรัม/ไร่/ปี และเมื่อต้นหม่อนมีอายุมากขึ้นจะให้ผลผลิตผลหม่อนสูงขึ้นตามลำดับ นอกจากนั้น ในช่วงฤดูฝนจะให้ผลผลิตผลหม่อนไม่ต่ำกว่า 1,000 กิโลกรัม/ไร่/ปี ผลหม่อนพันธุ์เชียงใหม่จะมีลักษณะเด่น คือ มีผลขนาดใหญ่ อวนน้ำ รสชาติหวานกลมกล่อม เหมาะสมสำหรับการบริโภคสดและการแปรรูป ขยายพันธุ์ได้ง่าย และสามารถกำหนดเวลาในการให้ผลผลิตได้ด้วยวิธีการบังคับให้ออกดอกติดผลนอกรดกาล

2. พันธุ์บุรีรัมย์ 60 เป็นพันธุ์หม่อนที่ปรับปรุงพันธุ์ โดยใช้หม่อนพื้นเมืองของไทยผสมกับหม่อนพันธุ์ที่นำเข้ามาจากการต่างประเทศ คือ พันธุ์จีนเบอร์ 44 ให้ผลผลิตใบหม่อนประมาณ 3,500 กิโลกรัม/ไร่/ปี และให้ผลผลิตผลหม่อนไม่ต่ำกว่า 500 กิโลกรัม/ไร่/ปี ใบหม่อนมีลักษณะนุ่มนวลมาก กลาง เที่ยวซ้า และทนทานต่อโรคราแป้ง

3. พันธุ์ศรีสะเกษ 33 เป็นหม่อนลูกผสมของหม่อนพันธุ์ Jing Mulberry จากประเทศไทยนี้มีคุณลักษณะต้านทานต่อโรคใบด่างได้ดีกว่าหม่อนพันธุ์อื่นๆ มีผลค่อนข้างใหญ่สามารถนำผลมาแปรรูปเป็นผลิตภัณฑ์ต่างๆ ได้ดี และให้ผลผลิตใบหม่อนประมาณ ปีละ 1,500 กิโลกรัม/ไร่ (วันที่ 2546)

คุณค่าทางโภชนาการ

ตารางที่ 1 ส่วนประกอบทางเคมีของผลหม่อน (ต่อน้ำหนักแห้ง 100 กรัม)

ส่วนประกอบ	ผลห่ำม (สีแดง)	ผลสุก (สีม่วง)
โปรตีน (protein)	2.24	1.68
คาร์บอไฮเดรท (carbohydrate)	4.91	21.35
ไขมัน (fat)	1.35	0.47
แคลเซียม (calcium)	ND	0.21
ฟอสฟอรัส (phosphorus)	ND	0.07
เหล็ก (iron)	ND	43.48
วิตามิน เอ (vitamin A)	ND	25.00
วิตามิน บี1 (vitamin B1)	ND	50.65
วิตามิน บี2 (vitamin B2)	ND	3.66
วิตามิน บี6 (vitamin B6)	ND	930.10
วิตามินซี (vitamin C)	ND	4.16
กรดโฟลิก (folic acid)	ND	6.87
ไนอะซีน (niacin)	ND	0.72
แทนนิน (tannin)	ND	1.06
กรดมะนาว (citric acid)	4.71	1.51
เส้นใย (fiber)	ND	2.03
เถ้า (ash)	ND	1.52
ความเป็นกรด-ด่าง (pH)	4.05	5.90
ความชื้น (moisture)	ND	72.95

ที่มา : สถาบันวิจัยวิทยาศาสตร์และเทคโนโลยีแห่งประเทศไทย และกองเกษตรเคมี และนายวิโรจน์ แก้วเรือง นักวิชาการ กรมหม่อนไหม เกษตรเชี่ยวชาญ (2559)

ผลหม่อนมีสารแอนโทไซยานินซึ่งเป็นสารต้านอนุมูลอิสระ ช่วยลดความเสี่ยงต่อการเกิดโรคหลอดเลือดหัวใจอุดตัน โรคมะเร็ง ช่วยต่อต้านอาการชาดเลือดในสมอง เป็นต้น และสารสำคัญอื่นๆ อีกหลายอย่าง เช่น สาร Deoxynojirimycin ช่วยลดระดับน้ำตาลในเลือด, กากบาท ช่วยลดความดันโลหิต, สาร Phytosterol ช่วยลดระดับคอเลสเตอรอล, สารประกอบฟีโนอลเป็นสารต้านอนุมูลอิสระ

ช่วยต่อต้านอาการอักเสบ อาการเส้นเลือดโป่งพอง ช่วยยับยั้งเชื้อแบคทีเรียและไวรัส, สาร Quercetin และสาร Kaempferol ซึ่งเป็นสารในกลุ่มฟลาโวนอยด์ เป็นสารที่ช่วยลดความเสี่ยงของ การเกิดโรคหัวใจ ความดันโลหิต ป้องกันการเกิดลิ่มเลือดในหลอดเลือด ช่วยป้องกันการดูดซึมของ น้ำตาลในลำไส้เล็ก ช่วยทำให้หลอดเลือดแข็งแรง ทำให้เลือดหมุนเวียนดี ยับยั้งการเกิดสารก่อมะเร็ง เม็ดเลือด มะเร็งเต้านม มะเร็งลำไส้ใหญ่ ช่วยยืดอายุเม็ดเลือดขาว และลดอาการแพ้ต่างๆ และกรดโฟ ลิกสูง ช่วยทำให้เซลล์เม็ดเลือดแดงเจริญได้เต็มที่ จึงช่วยป้องกันโรคโลหิตจาง และยังช่วยทำให้เซลล์ ประสาทไขสันหลังและเซลล์สมองเจริญเป็นปกติได้อีกด้วย นอกจากนี้ยังมีวิตามินและแร่ธาตุและ กรดอะมิโนอีกหลายชนิดที่เป็นประโยชน์ต่อร่างกาย เช่น แคลเซียม ธาตุเหล็ก โพแทสเซียม วิตามินเอ วิตามินบี เป็นต้น เมื่อผลหม้อนมีระยะสุกเพิ่มขึ้นจะส่งผลทำให้ปริมาณของสารออกฤทธิ์ดังกล่าว ข้างต้นจะมีปริมาณเพิ่มมากขึ้นตามไปด้วย

ไมโครเวฟ

ไมโครเวฟเป็นคลื่นแม่เหล็กไฟฟ้า (electromagnetic wave) มีความถี่สูงอยู่ระหว่าง 300 MHz ถึง 30 GHz การใช้งานคลื่นไมโครเวฟสำหรับอุตสาหกรรม งานทางด้านวิทยาศาสตร์ และงาน ทางการแพทย์จะจำกัดอยู่เพียงบางความถี่เท่านั้น เพื่อป้องกันการรบกวนของสัญญาณที่ใช้ในกิจกรรม อื่น ความถี่ที่ใช้ในอุตสาหกรรม งานวิทยาศาสตร์และการแพทย์ถูกกำหนดโดย International Telecommunication Union หรือ ITU กำหนดให้ความถี่ 915 MHz สำหรับทวีปอเมริกา ความถี่ 433.92 MHz สำหรับอเมริกาเหนือและแคนาดา โปรตุเกส เป็นต้น ส่วนความถี่ที่ใช้ทั่วโลกคือ 2,450 MHz (Dibben, 2010) คลื่นไมโครเวฟมีสมบัติเหมือนกับแสงสว่างที่มนุษย์สามารถมองเห็นได้ คือ เมื่อคลื่นไมโครเวฟตกกระทบบนผิวของวัสดุใดๆ คลื่นไมโครเวฟบางส่วนจะสะท้อนออกจากผิว恭 กระทบบนนั้น (reflected wave) บางส่วนจะถูกส่งผ่านทะลุเข้าไปในวัสดุ (transmitted wave) พลังงานที่ทะลุเข้าไปในเนื้อวัสดุบางส่วนจะถูกดูดกลืน (absorbed) แล้วเปลี่ยนเป็นพลังงานความ ร้อน (พูนพัฒน์, 2552)

กลไกการเกิดความร้อนในอาหาร

การให้ความร้อนด้วยคลื่นไมโครเวฟแตกต่างจากการให้ความร้อนกับอาหารด้วยการให้ความร้อนแบบอื่น กล่าวคือ การให้ความร้อนด้วยไมโครเวฟเกิดจากการกระตุ้นให้โมเลกุลและอนุภาคในอาหารเกิดการเคลื่อนที่อย่างรวดเร็ว แรงเสียดทานและการชนกันของโมเลกุลและอนุภาคทำให้เกิดความร้อนในอาหารโดยตรง ซึ่งต่างกับการให้ความร้อนแบบอื่นซึ่งเป็นการสร้างความร้อนจากแหล่งกำเนิดแล้วส่งผ่านความร้อนนั้นไปยังอาหารโดยการนำความร้อน การพากความร้อนหรือการแปรรังสีความร้อน ซึ่งเป็นการให้ความร้อนโดยอ้อม กลไกการเกิดความร้อนในอาหารเมื่อรับคลื่นไมโครเวฟแบ่งเป็นสองประเภทหลัก คือ การเคลื่อนที่ของอิオンเมื่อยูในสนามไฟฟ้าและการหมุนของโมเลกุลมีข้า (พูนพัฒน์, 2552)

หลักการทำงานของเครื่องไมโครเวฟ

เตาไมโครเวฟเพื่ออุ่นอาหารหรือทำให้อาหารสุก โดยภายในเตาไมโครเวฟมีส่วน ประกอบ สำคัญ คือแมgnitoron ซึ่งเป็นตัวกำหนดคลื่นไมโครเวฟ โดยคลื่นไมโครเวฟที่ใช้สำหรับเตาไมโครเวฟในครัวเรือน มีความถี่ 2,450 ล้านรอบต่อวินาที (หรือ 2,450 เมกะเอิรตซ์) ส่วนคลื่นไมโครเวฟที่ใช้ในอุตสาหกรรมมีความถี่ 950 เมกะเอิรตซ์ ในขณะที่ใช้งานเตาไมโครเวฟ คลื่นไมโครเวฟจะพุ่งเข้า กระทบอาหารในทุกทิศทาง โดยคลื่นทำให้โมเลกุลหรืออนุภาคที่มีประจุ เข่น นำอิอนของเกลือ ไขมัน น้ำตาล เป็นต้น เกิดการเคลื่อนที่กลับไปกลับมา (สั่นสะเทือน) ทำให้โมเลกุลที่เป็นองค์ประกอบของอาหาร เสียดสีกันเกิดเป็นความร้อน จึงทำให้อาหารสุกอย่างรวดเร็วโดยใช้เวลาสั้นกว่าการใช้เตาแบบธรรมดามีคลื่นไมโครเวฟถ่ายเทพลังงานให้อุ่นภาคที่มีประจุหมดแล้วก็จะสลายตัวไปและไม่สะสมอยู่ในอาหาร

คลื่นไมโครเวฟ เป็นคลื่นแม่เหล็กไฟฟ้าที่มีพลังงานไม่เพียงพอที่จะทำอนุภาคแตกตัว ดังนั้น จึงไม่ทำให้โมเลกุลของสารเปลี่ยนแปลง และไม่มีผลต่อก้างจึงไม่มีอันตราย อีกทั้งมีโอกาสสนับสนุนมากที่เตาอบไมโครเวฟจะมีคลื่นร้าวออกมาเกินระดับมาตรฐาน มอก. 1773-2542 ที่กำหนดโดยสำนักงานมาตรฐานอุตสาหกรรม (ไม่เกิน 5 มิลลิวัตต์ต่อตารางเซนติเมตร เมื่อวัดที่ระยะ 5 เซนติเมตรจากผิวไมโครเวฟ ซึ่งถือว่าต่ำกว่าระดับที่เป็นอันตรายต่อมนุษย์อย่างมาก) (กรรณิกา, 2559)

การสกัดด้วยการใช้คลื่นไมโครเวฟร่วม

เครื่องไมโครเวฟนิยมใช้กันมากในการอาหารเพื่อใช้ในการถนอมอาหารโดยมีวัตถุประสงค์เพื่อให้ความร้อนจะทำให้อาหารสุก ใช้มาเข้าเจือจุลินทรีย์ที่ปนเปื้อนในอาหาร และช่วยในการลดความชื้นในอาหารประเภทผักและผลไม้ หรือเครื่องไมโครเวฟที่ประดิษฐ์ขึ้นเฉพาะเพื่อย่อยวัสดุที่มีระบบควบคุมอุณหภูมิและความดันเป็นอย่างดี นอกจากการถนอมอาหารและการย่อยวัสดุแล้ว ในปัจจุบันวิธีนี้ใช้ในการสกัดสารต้านอนุมูลอิสระจากพืช (ดวงกมล, 2557)

หลักการของวิธีนี้ เป็นวิธีการสกัดโดยใช้คลื่นไมโครเวฟช่วยในการสกัดร่วมกับการสกัดด้วยตัวทำละลาย หลักการของวิธี MAE อาศัยการส่งผ่านคลื่นไมโครเวฟไปยังเซลล์พืช โดยทำให้มีผลกระทบของน้ำหรือความชื้นที่มีอยู่ในเซลล์พืชสั่นสะเทือน เกิดแรงดันขึ้นภายในเซลล์ทำให้เซลล์แตก และปล่อยสารสำคัญที่อยู่ภายในออกมาร่วมกับตัวทำละลายที่ใช้สกัด เนื่องจากกระบวนการสกัดใช้เวลาสั้นๆ ทำให้มีการสกัดตัวขององค์ประกอบของสารที่สกัดได้เนื่องจากความร้อนที่เกิดขึ้น วิธีการสกัดแบบ MAE ในกรณีที่ 2 รูปแบบ ได้แก่ แบบระบบปิด (Closed Extraction vessels) หรือ Multimode microwave oven และแบบ Focused microwave oven ข้อดีของวิธีนี้คือ ใช้เวลาในการสกัดสั้น ไม่เปลี่ยนตัวทำละลาย ช่วยป้องกันการสลายตัวขององค์ประกอบสารสำคัญที่สกัดได้เนื่องจากความร้อนที่เกิดขึ้น และช่วยเพิ่มปริมาณผลผลิตของสารสกัดที่ได้ ตัวอย่างเช่น การสกัดกาแฟในและเพลี้ยฟินอลจากชาเขียวด้วยอุตสาหกรรม (Food focus Thailand, 2009)



ภาพที่ 3 การสกัดโดยการใช้คลื่นไมโครเวฟ

การอบแห้ง

การอบแห้ง (Drying) คือการเอาน้ำออกจากวัสดุที่ต้องการทำให้ปริมาณน้ำในวัสดุนั้นลดลง (ความชื้นลดลง) โดยส่วนใหญ่วัสดุจะอยู่ในสถานะของแข็ง น้ำที่ระเหยออกจากวัสดุอาจจะไม่ต้องระเหยที่จุดเดือดแต่ใช้อากาศพัดผ่านวัสดุเพื่อตึงน้ำออกมา วัสดุจะแห้งได้มากหรือน้อยขึ้นอยู่กับธรรมชาติของตัวเอง ในการอบแห้งทำให้ของเหลวในวัตถุดิบระเหยกล้ายเป็นไอ จะได้ผลิตภัณฑ์ของแข็งที่มีสัดส่วนของของเหลวต่ำลง ซึ่งนอกจากจะมีกรณ์ที่วัตถุดิบมีสภาพเป็นของแข็งที่เปลี่ยนแปลงมีกรณ์ที่อบของเหลวข้น (Slurry) หรือของเหลวใสเพื่อให้ได้ผลิตภัณฑ์ผงอีกด้วย

หลักการทำงาน ความร้อนจากแหล่งกำเนิดความร้อนถูกถ่ายเทให้วัตถุ โดยกระบวนการนำความร้อน (Conduction) การพาความร้อน (Convection) และการแผ่รังสี (Radiation) ความร้อนที่ถูกควบคุมอย่างเหมาะสมสมด้วยตัวไวความร้อนและระบบควบคุมอุณหภูมิทำให้วัตถุเกิดการเปลี่ยนแปลงสถานะจาก ของแข็งเป็นของเหลว จากของเหลวเปลี่ยนเป็นไอ หรือจากของแข็งเป็นไอ

การอบแห้งแบบพ่นฟอย

การทำแห้งเป็นการกำจัดเอาน้ำซึ่งเป็นองค์ประกอบส่วนใหญ่ที่มีอยู่ในอาหารด้วยการระเหยซึ่งเป็นวิธีหนึ่งที่ใช้กันมากในการถนอมอาหารให้มีอายุการเก็บที่ยาวนานยิ่งขึ้นสะดวกต่อการเก็บรักษาและการขนส่งกรรมวิธีการทำแห้งมีหลายแบบ เช่นการใช้แสงแดดลมหรือการใช้ตู้อบปัจจุบันได้มีการพัฒนาเทคโนโลยีการทำแห้งจนสามารถเอาอาหารแห้งกลับมาคืนรูปแล้วได้ผลิตภัณฑ์ที่ใกล้เคียงกับอาหารสดอาหารที่เก็บรักษาด้วยการทำแห้งจึงมีอยู่อย่างมากมายในปัจจุบันและนิยมใช้ในอุตสาหกรรมการผลิตกาแฟกึ่งสำเร็จรูป นมผง ผงซักฟอก เป็นต้น โดยผลิตภัณฑ์สุดท้ายของอาหารผงจะมีค่าความชื้นไม่เกินร้อยละ 3 ซึ่งจะส่งผลทำให้เก็บผลิตภัณฑ์ไว้ได้นานและสะดวกต่อการเก็บรักษา

หลักการอบแห้งแบบพ่นฟอย

การทำแห้งแบบพ่นฟอยเป็นเทคนิคที่ใช้เพื่อระเหยน้ำออกจากร่องเหลวอย่างรวดเร็วโดยอากาศร้อน กระบวนการนี้ประกอบไปด้วยการพ่นของเหลว (feed) ออกมานเป็นละอองขนาดเล็กเข้ามาสู่อากาศร้อนที่เหล่านอย่างรวดเร็ว ทำให้น้ำที่อยู่ในละอองของเหลวระเหยไปทั้งหมด และได้ผลิตภัณฑ์ที่อยู่ในรูปของผงแห้ง สำหรับกระบวนการการทำแห้ง จะเริ่มตั้งแต่การพ่นของเหลว ลงในเครื่อง แล้วร้อนมีความชื้นในระดับที่เหมาะสมต่อการนึ่งให้ออกมาเป็นละออง จากนั้นจึงแยกผลิตภัณฑ์ที่ได้จากการทำแห้งออกมาน สำหรับตัวอย่างของเหลวที่นำมาทำแห้งสามารถใช้ได้ทั้งที่เป็น

ตัวทำละลาย สารประเทท emulsion หรือสารเขวนลอยก็ได้ ส่วนเครื่องมือที่ใช้สำหรับกระบวนการทำแห้งแบบพ่นฟอยคือเครื่องทำแห้งแบบพ่นฟอย (Spray Dryer)

การทำงานของเครื่องอบแห้งแบบพ่นฟอย

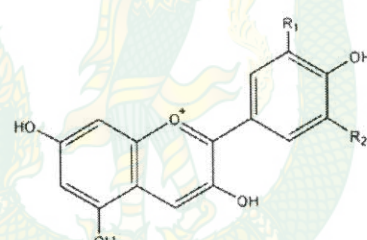
การทำงานของเครื่อง Spray Dryer เริ่มจาก อากาศจะถูกดูดผ่านตัวกรองและผ่านตัวให้ความร้อน จากนั้นจึงเข้าสู่ห้องอบแห้ง (Drying chamber) ส่วนตัวอย่างของเหลว (Feed) ที่นำมาฉีดความเร็ว และไม่ช้ามาก จากนั้นของเหลวจะถูกดูดโดยปั๊มผ่านอุปกรณ์ที่ทำให้เกิดละอองฟอยคือ atomizer ภายในห้องอบ เมื่อละอองสัมผัสกับอากาศร้อนจะทำให้เกิดการระเหยของน้ำอย่างรวดเร็ว และจะได้ผงของผลิตภัณฑ์ตกลงสู่ด้านล่างของ drying chamber ผงบางส่วนที่หลุดออกมากับอากาศจะถูกแยกโดยใช้ Cyclone ซึ่งจะรวมเข้าเป็นผลิตภัณฑ์รวมในที่สุด (ตูแวนิสนาเอ, 2548)



ภาพที่ 4 แสดงอุปกรณ์เครื่องอบแห้งแบบพ่นฟอย

แอนโทไซยานิน

แอนโทไซยานินเป็นรงค์วัตถุที่ละลายน้ำได้ จัดอยู่ในกลุ่มฟลาโนนอยด์ เป็นสารให้สีตามธรรมชาติ โดยสีของแอนโทไซยานินจะเปลี่ยนแปลงไปตามสภาพความเป็นกรด-ด่าง แอนโทไซยานิน มีโครงสร้างที่ประกอบด้วยคาร์บอน 15 อะตอม มีหมู่เบนซิน 2 หมู่มาเชื่อมต่อกันด้วยคาร์บอน 3 อะตอม แบบ C6-C3-C6 ซึ่งเป็นไกลโคไซด์ของ 2-phenylbenzopyrylium หรือ flavylium cation ที่มีด้วยกันหลายชนิดแต่มีเพียง 6 ชนิดเท่านั้นที่พบบ่อยได้แก่ pelargonidin, cyanidin, peonidin, delphinidin, petunidin และ malvidin มีสูตรโครงสร้างในสารละลายตัวกลางแอนโทไซยานินจะ ทำหน้าที่เป็นอินดิเคเตอร์วัดความเป็นกรด-ด่าง (pH indicator) คือ ให้สีแดงที่ pH ต่ำ ให้สีน้ำเงินที่ สภาวะเป็นกลางและไม่มีสีที่ pH สูงโดยปัจจัยที่มีผลต่อสีและความเสถียรของแอนโทไซยานินคือ ปัจจัยทางเคมีและพิสิกส์ เช่น โครงสร้าง อุณหภูมิ ความเป็นกรด-ด่าง กรดแอกสคอร์บิก น้ำตาล และ ปัจจัยอื่นๆ (สำนักหอสมุดและศูนย์สารสนเทศวิทยาศาสตร์และเทคโนโลยี, 2553)



Anthocyanidins	ตำแหน่ง R1	ตำแหน่ง R2
pelargonidin	H	H
cyanidin	H	OH
delphinidin	OH	OH
peonidin	OCH ₃	H
petunidin	OCH ₃	OH
malvidin	OCH ₃	OCH ₃

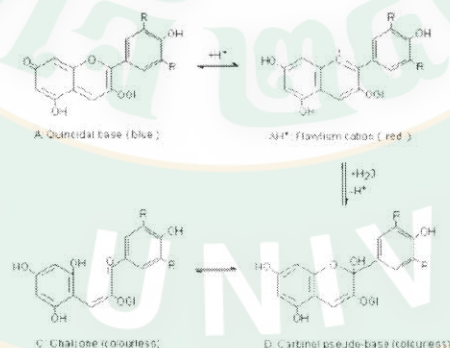
ภาพที่ 5 ตำแหน่งหมู่ไฮดรอกซิลและหมู่เมโทกซิล

ที่มา: สุวิชา (2550)

จากภาพที่ 5 แสดงให้เห็นว่าแอนโกลไซยานินและชันดีมีความแตกต่างกัน คือ การแทนที่ของหมู่ไฮดรอกซี (OH) และหมู่เมทธอคซี (OCH_3) ของ flavylium ring จะทำให้เกิดสีของแอนโกลไซยานินคือ เมื่อเพิ่มจำนวนของหมู่ไฮดรอกซีจะทำให้เกิดสีฟ้า (bluish shade) ส่วนการเพิ่มจำนวนของหมู่เมทธอคซีจะทำให้เกิดสีแดง (redness) . ในการเพิ่มจำนวนของหมู่ไฮดรอกซีจะทำให้ความสามารถในการต้านอนุมูลอิสระเพิ่ม (Mazza, 2007)

คุณสมบัติทางเคมีของแอนโกลไซยานิน

แอนโกลไซยานินทำหน้าที่เป็นอินดิเคเตอร์วัดค่าความเป็นกรด-ด่าง (pH indicator) ในสารละลายตัวกลาง เมื่อมีค่าความเป็นกรดจะให้สีแดง ในขณะที่สภาวะเป็นกลางจะไม่มีสี และมีสีน้ำเงินที่สภาวะเบส ในสารละลายที่เป็นกรดและเป็นกลางนั้น แอนโกลไซยานินมีโครงสร้าง 4 โครงสร้างที่อยู่ในสภาวะสมดุลคือ red flavylium cation (AH^+), blue quinonoidal base หรือ red quinonoidal base (A), colorless chalcone (C) และ colorless cabinol pseudobase (D) ดังแสดงในรูปที่ 6 ในสภาวะที่เป็นกรดจะมี AH^+ เป็นโครงเด่น และ AH^+ มีการสูญเสียโปรตอนไปจากการเพิ่มขึ้นของ pH เกิดเป็นสารละลาย blue quinonoidal base หรือ red quinonoidal base (A) ซึ่งเป็นโครงสร้างที่เกิดเป็นปกติ ในขณะที่สภาวะสมดุลมีความแตกต่างกันของ pH และโครงสร้างของแอนโกลไซยานินเมื่อเกิดปฏิกิริยาไฮเดรชัน (hydration) ของ AH^+ ทำให้เกิด colorless cabinol pseudobase (D) เช่น โครงสร้างของ 3-glucoside และ 3,5-diglycoside เมื่อ pH เพิ่มขึ้นมากกว่า 3 จะเกิดเป็น colorless cabinol pseudobase (D) และการเพิ่มขึ้นของ pH (pH 4-6) จะปรากฏให้เห็นเป็น blue quinonoidal base (A) และ colorless chalcone (C) (Sikorski, ZE., 2007)



ภาพที่ 6 การเปลี่ยนแปลงโครงสร้างของแอนโกลไซยานิน

ที่มา: Brouillard and Delaport (1977)

ปัจจัยที่ส่งผลต่อแอนโกลไซยานิน

ในการศึกษาผลสีของผลหม่อนนั้นความมีการศึกษาหาปัจจัยต่างๆ ที่จะส่งผลกระทบต่อการเปลี่ยนแปลงคุณภาพของผงสีโดยเฉพาะแอนโกลไซยานินที่มีอยู่มากในผงหม่อนโดยปัจจัยที่ส่งผลทำให้เกิดการเปลี่ยนแปลงของผงสีได้นั้น ได้แก่

ความเป็นกรด – ด่าง (PH)

สีของแอนโกลไซยานินเกิดขึ้นเนื่องจากอิทธิพลของ pH ในตัวกลางนั้นๆ เมื่อแอนโกลไซยานินอยู่ในสภาพสมดุลในสารละลายที่เป็นกรดมาก ($pH < 0.5$) จะอยู่ในรูปของ flavylium cation (red) อยู่เพียงชั่วขณะเดียวซึ่งทำให้สารละลายมีสีแดงเมื่อ pH สูงขึ้นจนอยู่ในสภาพกรดอ่อนหรือเป็นกลาง ปริมาณ flavylium cation จะเริ่มลดลงเนื่องจากเกิด hydration ไปเป็น carbinol base ซึ่งไม่มีสีส่วนสมดุลระหว่างแอนโกลไซยานินที่อยู่ในรูปของ flavylium cation และ quinoidal base (anhydro base) จะเกิดสมดุลที่ pK_a 4.25 ดังนั้นเมื่อแอนโกลไซยานินอยู่ในสารละลายที่มี pH มากกว่า 4.5 ขึ้นไป หรืออยู่ในสภาพที่เป็นเบส จึงมีโครงสร้างของ carbinol base และ chalcone ซึ่งเป็นโครงสร้างที่ไม่มีสีและโครงสร้างของ quinoidal base ซึ่งเป็นโครงสร้างที่มีสีน้ำเงิน (ยุพาร, 2547)

อุณหภูมิ

อุณหภูมิมีผลต่อความคงตัวของแอนโกลไซยานิน โดยอัตราการเสื่อมสลายของแอนโกลไซยานิน จะเพิ่มขึ้นระหว่างกระบวนการที่อุณหภูมิเพิ่มขึ้น (Rein, 2005) และมีรายงานว่า cyanidin 3-glucoside และ cyanidin 3-rutinoside จะสลายตัวที่อุณหภูมิ 100 องศาเซลเซียส ในสารละลายกรดอ่อน ($pH 1-4$) ทั้งสภาวะที่มีและไม่มีออกซิเจน (Adams, 1973; Mercadante and Bobbio, 2008) อีกทั้งยังมีการศึกษาผลของอุณหภูมิที่มีผลต่อความคงตัวของผงสีแอนโกลไซยานินในผลิตภัณฑ์อาหารโดยต่างให้ผลสรุปโดยทั่วไปคือแอนโกลไซยานินจะถูกทำลายด้วยความร้อนในระหว่างกระบวนการต่างๆ และการเก็บรักษา (ยุพาร, 2547)

ออกซิเจน

ปริมาณออกซิเจนที่อยู่ในสารละลายแอนโกลไซยานินมีแนวโน้มในการเกิดปฏิกิริยาออกซิเดชันมากซึ่งปริมาณของออกซิเจนจะทำปฏิกิริยากับแอนโกลไซยานินที่หมู่ hydroxyl group หรือ C-2 ของ B-ring ได้เป็น carbinol base หรือ chalcone หรือ quinoidal base ซึ่งมีผลทำให้ flavylium cation ลดลง และสีแดงของสารละลายแอนโกลไซยานินจึงมีค่าลดลงทั้งนี้อัตราการเกิดออกซิเดชันขึ้นอยู่กับค่า pH ของสารละลาย อุณหภูมิ และความเข้มข้นของแอนโกลไซยานิน (ยุพาร, 2547)

แสง

แสงจะให้ผลที่ตรงกันข้ามระหว่าง biosynthesis และการเสื่อมสลายของแอนโトイไซยานิน โดยเฉพาะแอนโトイไซยานินที่มีหมู่ hydroxyl group ที่ตำแหน่ง C-5 จะเกิดการเปลี่ยนแปลงองค์ประกอบเนื่องจากแสงมากกว่าแอนโトイไซยานินที่ไม่มีหมู่ hydroxyl group ที่ตำแหน่ง C-5 นอกจากนี้แสงยังเป็นตัวเร่งให้เกิดการเสื่อมสลายจากความร้อนและการเกิด photo-oxidation ของแอนโトイไซยานินซึ่งจะให้ผลเหมือนกับแอนโトイไซยานินที่สลายตัวด้วยความร้อนได้เป็น chalcone (เป็นโครงสร้างที่ไม่มีสี) (ยุพาร, 2547)

ปัจจัยอื่นๆ

แอนโトイไซยานินชนิดผงมีค่าปริมาณน้ำอิสระน้อยกว่าหรือเท่ากับ 0.3 พบร่วมมีความคงตัวสามารถเก็บได้หลายปี เมื่อเก็บในถุงที่มีการซิลปิดสนิท (ภาณุ, 2556) จัลเฟอร์ไดอกไซด์จะทำปฏิกิริยากับแอนโトイไซยานินทำให้ผลิตภัณฑ์สีจางโดยปฏิกิริยาที่เกิดขึ้นสามารถย้อนกลับได้แต่ควรใช้สารที่เป็นส่วนประกอบของ Benzoate และ Sorbate แทนจะเหมาะสมกว่า (Hendry, 1996)

สารต้านอนุมูลอิสระ

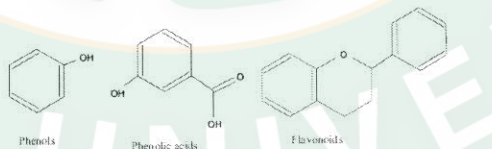
สารต้านอนุมูลอิสระ (antioxidant) คือ สารประกอบที่สามารถป้องกันหรือชะลอการเกิดกระบวนการออกซิเดชัน กระบวนการออกซิเดชันมีได้หลายรูปแบบ เช่น กระบวนการออกซิเดชันที่ทำให้เหล็กกล้ายเป็นสนิม ทำให้แอปเปิลเปลี่ยนเป็นสีน้ำตาลหรือทำให้น้ำมันพืชเหม็นหืน หรือกระบวนการออกซิเดชันที่เกิดในร่างกาย เช่น การย่อยสลายโปรตีนและไขมันจากอาหารที่กินเข้าไป มลพิษทางอากาศ การหายใจ ควันบุหรี่ รังสียูวี ล้วนทำให้เกิดอนุมูลอิสระขึ้นในร่างกายของเราซึ่งสร้างความเสียหายต่อร่างกายได้ ในการเป็นจริงไม่มีสารประกอบสารได้สารหนึ่งสามารถป้องกันการเกิดออกซิเดชันได้ทั้งหมด แต่ละกลไกอาจต้องใช้สารต้านอนุมูลอิสระที่แตกต่างกันในการหยุดกระบวนการออกซิเดชัน ในอีกทางหนึ่ง กระบวนการออกซิเดชันเป็นกระบวนการที่สำคัญต่อร่างกาย เช่น เราใช้ออกซิเจนจากอากาศที่หายใจเข้าไปเพื่อเผาผลาญอาหารที่ร่างกายได้รับให้เป็นพลังงาน สำหรับการทำงานของเซลล์ต่างๆ แต่ก็ทำให้เกิดอนุมูลอิสระเป็นผลพลอยได้ อนุมูลอิสระต่างๆ ที่เกิดขึ้นจะทำปฏิกิริยากับโมเลกุลที่สำคัญในร่างกาย เช่น ไขมัน โปรตีน ดีเอ็นเอ ทำให้เกิดความเสียหายต่อโมเลกุลดังกล่าว ตัวอย่างเช่น เมื่ออนุมูลอิสระทำปฏิกิริยากับแอลดีอล (LDL : low-density lipoprotein) ซึ่งเป็นโคเลสเตอรอลที่ไม่ดี ทำให้เกิดออกซิเดช์แอลดีอล (oxidized LDL) มีหลักฐานยืนยันว่า ออกซิเดช์แอลดีอลเป็นสาเหตุของการเกิดภาวะหลอดเลือดแดงแข็งทำให้เกิดการอุดตันของหลอดเลือดและเป็นสาเหตุทำให้เกิดโรคหัวใจ (ศรีวัฒนา, 2548)

สารต้านอนุมูลอิสระสามารถป้องกันหรือกำจัดอนุมูลอิสระได้ซึ่งมีความสำคัญ มีงานวิจัย
มากมายบ่งชี้ว่า สารต้านอนุมูลอิสระสามารถลดความเสี่ยงต่อโรคหล่ายโรคโดยเฉพาะโรคเรื้อรังที่
สัมพันธ์กับอาหาร เช่น โรคมะเร็ง โรคเบาหวาน โรคหัวใจ โรคสมอง เป็นต้น รวมทั้งช่วยชะลอ
กระบวนการบางขั้นตอนที่ทำให้เกิดความชราโดยปกติร่างกายสามารถกำจัดอนุมูลอิสระก่อนที่มันจะ^{จะ}
ทำอันตราย แต่ถ้ามีการสร้างอนุมูลอิสระเร็วหรือมากเกินกว่าร่างกายจะกำจัดทัน อนุมูลอิสระที่
เกิดขึ้นจะสร้างความเสียหายต่อเซลล์และเนื้อเยื่อได้ ซึ่งส่งผลกระทบต่อสุขภาพ สารต้านอนุมูลอิสระ^{จะ}
ลดความเสียหายที่เกิดจากอนุมูลอิสระได้ 2 ทาง คือ

1. ลดการสร้างอนุมูลอิสระในร่างกาย
2. ลดอันตรายที่เกิดจากอนุมูลอิสระ

สารประกอบฟีนอลิก (Phenolic compound)

สารประกอบฟีนอลิกที่พบในธรรมชาติมีมากมายหลายชนิดและสารประกอบฟีนอลิก จัดเป็น^{จะ}
สารต้านอนุมูลที่ได้รับจากภายนอกและพบได้มากในธรรมชาติได้แก่ พีชพัก ผลไม้ ชาเขียว ชาดำ^{จะ}
ช็อกโกแลต และไวน์แดง เป็นต้น มีลักษณะสูตรโครงสร้างทางเคมีที่แตกต่างกัน ตั้งแต่กลุ่มที่มี^{จะ}
โครงสร้างอย่างง่าย เช่น กรดฟีนอลิก (phenolic acids) ไปจนถึงกลุ่มที่มีโครงสร้างเป็นโพลิเมอร์^{จะ}
เช่น ลิกนิน (lignin) กลุ่มใหญ่ที่สุดที่พบคือ สารประกอบพวง ฟลาโวนอยด์ (flavonoid) ซึ่งเป็นกลุ่ม^{จะ}
สารที่สำคัญ สารโพลีฟีนอลิกเป็นสารที่มีบทบาทสำคัญเนื่องจากมีฤทธิ์ต้านแบคทีเรีย ต้านไวรัส ต้าน^{จะ}
การอักเสบ ต้านการแพ้ และมีคุณสมบัติในการสลายลิ่มเลือด รวมเป็นสารต้านการก่อมะเร็ง และ^{จะ}
สามารถลดความดันโลหิตในการสลายลิ่มเลือด เหล่านี้เป็นต้น ซึ่งคุณสมบัติดังกล่าวมีความสัมพันธ์^{จะ}
กับคุณสมบัติการเป็นสารต้านอนุมูลโครงสร้างทั่วไปของสารประกอบฟีนอลิก ประกอบด้วยโครงสร้าง^{จะ}
ที่เป็นวงอะโรมาติกและมีหมู่แทนที่เป็นหมู่ไฮดรอกซิอย่างน้อย 1 หมู่ (ปริyanุช, 2551)



ภาพที่ 7 โครงสร้างของสารประกอบฟีนอลิก

ที่มา : พิมพ์เพ็ญ (2559)

ว่าอเตอร์แอคติวิตี้

ค่าว่าอเตอร์แอคติวิตี้ เป็นปัจจัยสำคัญในการควบคุมและป้องกันการเสื่อมเสียของผลิตภัณฑ์อาหาร จึงมีผลโดยตรงต่อการกำหนดอายุการเก็บรักษาของผลิตภัณฑ์อาหาร เนื่องจากค่าว่าอเตอร์แอคติวิตี้ เป็นปัจจัยที่ชี้ระดับปริมาณน้ำต่ำสุดในอาหารที่เชื้อจุลทรรศสามารถนำไปใช้ในการเจริญเติบโตและใช้ในการเกิดปฏิกิริยาเคมีต่างๆ เราสามารถใช้ว่าอเตอร์แอคติวิตี้ในการการควบคุมและป้องกันการเสื่อมเสียของอาหารที่เกิดขึ้นจากเชื้อจุลทรรศได้ โดยเราจะทำให้อาหารมีค่าว่าอเตอร์แอคติวิต์ต่ำกว่าที่เชื้อจุลทรรศจะเจริญเติบโตได้

ปริมาณความชื้น

ความชื้น คือสารที่สูญเสียไปจากอาหารเมื่อเพิ่มความร้อนให้แก้อาหารนั้นความร้อนที่ให้ต้องมีอุณหภูมิไม่สูงกว่าจุดเดือดของน้ำหรือปล่อยให้อาหารตั้งทิ้งไว้ในสารดูดความชื้น (dehydrating agent) หรือให้ความร้อนในสภาพสุญญากาศ น้ำหนักที่หายไปจากอาหารซึ่งเดิมเป็นน้ำนั้นความจริงคือสารที่ระเหยได้ทั้งหมด หรือ total volatile matter ที่หายไป ณ อุณหภูมนั้นส่วนมากหรือของแข็งแห้งที่เหลืออยู่หลังจากน้ำระเหยออกไปหมดแล้วเรียกว่า “ของแข็งทั้งหมด” (Total solids)

การวิเคราะห์หาปริมาณน้ำหรือความชื้นมีหลายวิธี วิธีการที่นิยมใช้คือ Drying method ซึ่งมี 3 แบบคือ

- 1) Hot air oven method
- 2) Vacuum oven method
- 3) การใช้สารดูดความชื้น

วิธีการที่ใช้ในงานวิจัยนี้คือ Hot air oven method โดยมีหลักการคือหาน้ำหนักตัวอย่างที่หายไป เนื่องจากการระเหยของน้ำที่มีอยู่ในอาหารเป็นไอน้ำ ที่อุณหภูมิใกล้จุดเดือดหรือที่จุดเดือดของน้ำ แต่ในกรณีนี้อาจมีพากน้ำมันระเหยที่ประกอบอยู่ในตัวอย่างสูญเสียไปด้วย

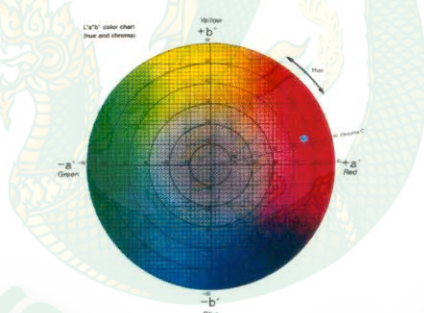
$$\text{วิธีคำนวณ} \quad \text{เปอร์เซ็นต์ความชื้น} (\%) = \left(\frac{W_1 - W_2}{W_2} \right) \times 100 \quad \dots\dots (2.1)$$

เมื่อ W_1 = น้ำหนักผงก่อนการอบแห้ง (กรัม)
 W_2 = หนักผงหลังการอบแห้ง (กรัม)

มาตรฐานชุมชน (2547) กำหนดให้ความชื้นต้องไม่เกินร้อยละ 18 โดยน้ำหนัก

ค่าสี

การวัดและบรรยายสีในเชิงวิชาการต้องมีการจัดมาตรฐานเพื่อเป็นการลดความไม่เป็นกลาง (bias) ของผู้บรรยายสีของวัสดุนั้นๆระบบการวิเคราะห์สีที่ยอมรับและใช้กันอย่างแพร่หลายในปัจจุบันคือระบบ $L^* a^* b^*$ ซึ่งเป็นระบบการบรรยายสีแบบ 3 มิติ โดยที่แกน L^* จะบรรยายถึงความสว่าง (lightness) จากค่า $+L^*$ แสดงถึงสีขาวจนไปถึง $-L^*$ แสดงถึงสีดำ แกน a^* จะบรรยายถึงแกนสีจากเขียว ($-a^*$) ไปจนถึงแดง ($+a^*$) ส่วนแกน b^* จะบรรยายถึงแกนสีจากน้ำเงิน ($-b^*$) ไปเหลือง ($+b^*$) ลักษณะการบรรยายสีของ CIE แสดงได้ดังภาพที่ 8 และ 9 นอกจากนี้บริษัท Hunter lab ในอเมริกาก็เป็นอีกองค์กรหนึ่งซึ่งทำการวิจัยและพัฒนาระบบการวัดสีในในที่สุดได้ระบบของ Hunter lab เองซึ่งเรียกว่าการวัดสีระบบ Hunter lab ซึ่งบรรยายแกนใน 3 มิติ เช่นเดียวกับระบบ CIE โดยที่ Hunter lab จะใช้สเกล L-a-b บรรยายลักษณะสีเช่นเดียวกับ $L^*-a^*-b^*$ ของ CIE ข้อแตกต่างระหว่างระบบสีของ CIE และ Hunter lab คือสูตรการคำนวณค่าสีซึ่งทั้ง $L^* a^* b^*$ และ $L-a-b$ ล้วนมีพื้นฐานการคำนวณมาจากค่าระบบ XYZ ทั้งสิ้น



ภาพที่ 8 การบรรยายสีในระบบ CIE Lab มองในระนาบ 2 มิติ

ที่มา: Minolta (1997)



ภาพที่ 9 การบรรยายสีพื้นในระบบ CIE Lab ในรูป 3 มิติ

ที่มา: Minolta (1997)

จากข้อมูลข้างต้นทำให้ทางผู้วิจัยสามารถศึกษาค่า Chroma และ ค่า Hue angle ซึ่งเป็นค่าที่แสดงถึงค่าสีเข่นกัน

Chroma (C^*) เป็นตัวเลขที่แสดงถึงความอิ้มตัวของสี คือ สีที่ไม่มีสีขาวปนอยู่ เช่น ความสดใส ความเข้ม ความบริสุทธิ์ของสี สามารถคำนวณได้จากสมการต่อไปนี้

$$C^* = \left[(a^*)^2 + (b^*)^2 \right]^{1/2} \quad \dots\dots (2.2)$$

Hue angle (h°) เป็นตัวเลขที่ระบุว่าสีมีตำแหน่งอยู่ที่ใดในกราฟ มีหน่วยเป็นองศา (เมื่อ $h^\circ = 90^\circ$ แสดงความเป็นสีเหลือง $h^\circ = 180^\circ$ แสดงความเป็นสีเขียว $h^\circ = 270^\circ$ แสดงความเป็นสีน้ำเงิน $h^\circ = 0^\circ$ แสดงความเป็นสีแดง) สามารถคำนวณได้จากสมการต่อไปนี้

$$h^\circ = \tan^{-1} \left(\frac{b^*}{a^*} \right) \quad \dots\dots (2.3)$$

Hue angle (H°) เป็นค่าแสดงถึงสีแท้จริงที่ปรากฏให้เห็น ซึ่งมีค่าอยู่ระหว่าง 0-360 องศา Hue angle แต่ละช่วงองศา แสดงสีแตกต่างกันดังนี้ (McGuire, 1992)

0-45 องศา	แสดงสีม่วงแดงถึงสีส้ม
45-90 องศา	แสดงสีส้มแดงถึงสีเหลือง
90-135 องศา	แสดงสีเหลืองถึงเหลืองเขียว
135-180 องศา	แสดงสีเหลืองเขียวถึงสีเขียว
180-225 องศา	แสดงสีเขียวถึงสีน้ำเงิน
225-270 องศา	แสดงสีน้ำเงินเขียวถึงสีน้ำเงิน
270-315 องศา	แสดงสีน้ำเงินถึงสีม่วง
315-360 องศา	แสดงสีม่วงถึงม่วงแดง

ความสามารถในการละลาย

อัตราการละลายหรือความสามารถในการละลายทั้งหมดขึ้นอยู่กับส่วนประกอบทางเคมี ขนาดรูปร่าง ความหนาแน่นของอนุภาค และสถานะทางกายภาพ เช่น อุณหภูมิในการละลายนมผงกระเจ้ายตัวในน้ำและเกิดการละลายขึ้นในกระบวนการทำแห้งที่อุณหภูมิสูงซึ่งทำให้ปรตีนเสียสภาพจะส่งผลให้มีความสามารถในละลายน้ำต่ำลง (นุชเนตร, 2555) สมบัติข้างต้นนี้จะมีผลต่อการคืนรูปของอาหารแห้งที่เป็นผงซึ่งสมบัติเหล่านี้จะต้องสมดุลกันถ้าสมบัติประการใดเปลี่ยนแปลงไปพฤติกรรมการคืนรูปของอาหารนั้นจะเปลี่ยนไปด้วย

วิเคราะห์ค่าความสามารถในการละลายโดยใช้วิธีของ (Shittu and Lawal 2007)
คำนวณหาความสามารถในการละลาย (เปอร์เซ็นต์) ดังนี้

$$\text{Solubility (\%)} = \left[\frac{\text{มวลแห้งของตัวอย่างที่ละลายได้ (กรัม)}}{\text{มวลแห้งทั้งหมด (กรัม)}} \right] \times 100 \quad \dots \dots (2.4)$$

การออกแบบพื้นผิwtobสนอง

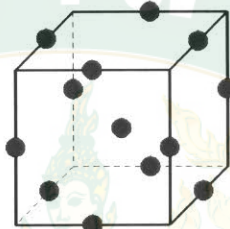
วิธีการพื้นผิwtobสนอง (Response Surface Methodology, RSM) เป็นการรวมเอา เทคนิคทั้งทางคณิตศาสตร์และทางสถิติมาสร้างแบบจำลองและการวิเคราะห์ปัญหาโดยที่ ผลตอบสนองที่สนใจจะขึ้นอยู่กับตัวแปรต่างๆ และวัตถุประสงค์ที่จะหาค่าที่ดีที่สุดของผลตอบสนอง แบบจำลองของพื้นผิwtobสนองมีความสัมพันธ์แบบเชิงเส้นกับตัวแปรอิสระและฟังก์ชันที่ใช้เป็น แบบจำลองพหุนามที่มีกำลังสูงขึ้น เช่น พหุนามกลังสองสามารถคำนวณได้จากสมการ 2.4

$$Y = \beta_0 + \beta_1 X_1 + \beta_2 X_2 + \beta_3 X_3 + \beta_{12} X_1 X_2 + \beta_{23} X_2 X_3 + \beta_{13} X_1 X_3 + \beta_{11} X_1^2 + \beta_{22} X_2^2 + \beta_{33} X_3^2 \dots \dots (2.4)$$

โดยที่	Y	คือ ค่าท่านายการตอบสนอง
	β_0	คือ ค่าคงที่
	X_1, X_2, X_3	คือ ตัวแปรอิสระ
	$\beta_1, \beta_2, \beta_3$	คือ ค่าสัมประสิทธิ์เชิงเส้น
	$\beta_{12}, \beta_{13}, \beta_{23}$	คือ ค่าสัมประสิทธิ์ระหว่างตัวแปร
	$\beta_1^2, \beta_2^2, \beta_3^2$	คือ ค่าสัมประสิทธิ์กำลังสอง

Box-Behnken Design

เป็นการออกแบบสามารถดับสำหรับพื้นผิวตอบสนอง การออกแบบนี้ถูกสร้างขึ้นจากการรวม การออกแบบแฟคทอเรียล 2^k กับ การออกแบบล็อกไม่สมบูรณ์ ผลของการออกแบบมีประสิทธิภาพ ในด้านจำนวนของการรันที่ต้องการ



ภาพที่ 10 การออกแบบการทดลองในรูปของกล่องโดยวิธี Box-Behnken Design

ที่มา: <http://www.itl.nist.gov>

การวิเคราะห์ความแปรปรวน

เป็นวิธีการทดสอบความแตกต่างระหว่างค่าเฉลี่ยของกลุ่มตัวอย่าง ตั้งแต่ 3 กลุ่มขึ้นไป ซึ่งจะ เป็นการวิเคราะห์หาอัตราส่วนระหว่างความแปรปรวนระหว่างกลุ่ม (Between-group variance) และความแปรปรวนภายในกลุ่ม (Within-group variance) ความแปรปรวนระหว่างกลุ่ม เป็นค่าที่ เกิดจากความแตกต่างของค่าเฉลี่ยระหว่างกลุ่มต่าง ๆ ถ้าค่าเฉลี่ยระหว่างกลุ่มต่างๆ แตกต่างกันมาก ค่าความแปรปรวนระหว่างกลุ่มก็จะมากตามไปด้วย สำหรับความแปรปรวนภายในกลุ่มเป็นค่าที่แสดง ให้เห็นว่า คะแนนแต่ละตัวที่รวมมานั้นภายในแต่ละกลุ่มมีการกระจายมากหรือน้อย ค่าที่คำนวณ ได้เรียกว่า ความคลาดเคลื่อน

งานวิจัยที่เกี่ยวข้อง

ทรงศิริ และคณะ (2557) งานวิจัยนี้มุ่งศึกษาผลของชนิดตัวทำละลายที่ใช้ในการสกัด ได้แก่น้ำ น้ำร้อน และเอทานอลเข้มข้น 10%, 20%, 30%, 50% และ 80% เพื่อสกัดสารประกอบฟีโนอลิกทั้งหมด พลาโนนอยด์ทั้งหมด และแอนโ陶ไซยานินทั้งหมดจากเปลือกและเมล็ดองุ่นอบแห้งที่เป็นวัสดุเชษชะเหลือจากอุตสาหกรรมการผลิตไวน์ จากผลการทดลองพบว่าสารสกัดเปลือกและเมล็ดองุ่นที่ใช้ 50% เอทานอลเป็นตัวทำละลายที่มีประสิทธิภาพในการสกัดสูงที่สุด ($p \leq 0.05$) โดยสารที่ได้จากการสกัด 50% เอทานอล ของเปลือกและเมล็ดองุ่นมีสารประกอบฟีโนอลิกทั้งหมดเท่ากับ 20.2 ± 1.2 และ 20.4 ± 1.2 มิลลิกรัมสมมูลของกรดแกเลลิกต่อตัวอย่างแห้ง 1 กรัม สารประกอบพลาโนนอยด์ทั้งหมดเท่ากับ 9.2 ± 0.7 และ 12.4 ± 0.7 มิลลิกรัม สมมูลของคาเทชินต่อตัวอย่างแห้ง 1 กรัม และ แอนโ陶ไซยานินทั้งหมดเท่ากับ 1.7 ± 0.1 และ 0.6 ± 0.1 มิลลิกรัม ไซยานิดิน-3-กลูโคไซด์ต่อตัวอย่างแห้ง 1 กรัม ตามลำดับ นอกจากนี้สารสกัดของเปลือกและเมล็ดองุ่นที่สกัดโดยเอทานอลเข้มข้น 50% ยังมีสมบัติการต้านสารอนุมูลอิสระ 2,2'-azobis (3-2,2'-azobis 3-ethylbenzthiazoline-6-sulfonic acid) diammonium salt (ABTS) และ 2,2-Diphenyl-1-picryl hydrazyl (DPPH) สูงที่สุด ($p \leq 0.05$)

มนต์ลี และศศิธร (2557) งานวิจัยนี้ศึกษาความคงตัวของแอนโ陶ไซยานินต่ออุณหภูมิ ($70 - 90^{\circ}\text{C}$) และความเป็นกรด-ด่าง ($\text{pH } 2.5 - 8.0$) ในน้ำลูกหม่อนโดยปรับค่าความเป็นกรด-ด่างของน้ำลูกหม่อนด้วยสารละลายซิเตรฟอสเฟตบัฟเฟอร์ ผลการทดลองแสดงให้เห็นว่าการสลายตัวของแอนโ陶ไซยานินเป็นไปตามอัตราการเกิดปฏิกิริยาอันดับที่หนึ่ง โดยเมื่ออุณหภูมิเพิ่มขึ้นค่าคงที่อัตราการเกิดปฏิกิริยาอันดับที่หนึ่งของแอนโ陶ไซยานินในน้ำลูกหม่อนมีค่าเพิ่มขึ้น ส่งผลให้มีค่าครึ่งชีวิต ($t_{1/2}$) ลดลง แอนโ陶ไซยานินของน้ำลูกหม่อนที่ปรับความเป็นกรด-ด่างเท่ากับ 2.5 เมื่อนำไปให้ความร้อนที่อุณหภูมิ 70, 80 และ 90°C แอนโ陶ไซยานินมีค่าครึ่งชีวิต ($t_{1/2}$) เท่ากับ 13.7, 8.4 และ 4.6 ชั่วโมง ตามลำดับ ส่วนค่าความเป็นกรด-ด่างมีผลต่อความคงตัวต่อแอนโ陶ไซยานินโดยเมื่อความเป็นกรด-ด่างมีค่าเพิ่มขึ้นแอนโ陶ไซยานินในน้ำลูกหม่อนมีความคงตัวลดลง ส่งผลให้มีค่าครึ่งชีวิต ($t_{1/2}$) ลดลง โดยแอนโ陶ไซยานินในน้ำลูกหม่อนมีความคงตัวมากที่สุดที่ความเป็นกรด-ด่าง 2.5 รองลงมาคือ 4.0, 6.0 และ 8.0 ตามลำดับ

Fang and Bhandari (2011) งานวิจัยนี้ได้ศึกษาผลกระทบในการอบแห้งแบบพ่นฟอยที่ อุณหภูมิ 150 องศาเซลเซียส และการเก็บรักษาผลแบบเบอร์รี่ โดยนำน้ำแบบเบอร์รี่ผสมмолโตเด็ก ตรินช์ จากนั้นนำมาเก็บรักษาภายใต้อุณหภูมิและค่าวอเตอร์แอคติวิตี้ ทำการศึกษาหาค่าฟีนอลิกและ แอนโนไซยานินโดยทำการเก็บรักษาเป็นระยะเวลา 6 เดือน จากการศึกษาพบว่าครัวเรกับไวน์ที่อุณหภูมิ ต่ำกว่า 25 องศาเซลเซียส ค่าวอเตอร์แอคติวิตี้ 0.33 ซึ่งจะส่งผลทำให้ค่าแอนโนไซยานินและฟีนอลิกลดลงน้อยที่สุด

Galofuid et al. (2013) งานวิจัยนี้ได้ทำการศึกษาการสกัดไมโครเวฟโดยการแยกสาร แอนโนไซยานินและสารฟีนอลิกจาก sour cherry Marasca โดยได้ทำการสกัดด้วยวิธีไมโครเวฟ (50 – 70 องศาเซลเซียส) เวลาการแพร่รังสี (5 - 12 นาที) และกำลังไมโครเวฟ (350 - 500 วัตต์) ซึ่งจาก การศึกษาหาสภาวะที่เหมาะสมในการสกัดโดยวิธีไมโครเวฟพบว่าการสกัดสารแอนโนไซยานินและฟีนอลิกมีสภาวะการสกัดที่แตกต่างกัน ในส่วนของการสกัดแอนโนไซยานินจะให้ช่วงของอุณหภูมิที่ต่ำ กว่า (60 องศาเซลเซียส) และเวลาการแพร่รังสีที่สั้นกว่า (6 – 9 นาที) ในขณะที่ทำการสกัดสารฟีนอลิก จะให้ค่าอุณหภูมิที่สูงกว่า (70 องศาเซลเซียส) และเวลาการแพร่รังสี (10 นาที) ส่วนกำลังไมโครเวฟไม่มีความแตกต่างกันอย่างมีนัยสำคัญที่ 400 วัตต์ จากสภาวะดังกล่าวส่งผลให้มีสารแอนโนไซยานิน 1.13 – 2.10 มิลลิกรัม/กรัม และสารฟีนอลิก 0.67 – 1.44 มิลลิกรัม/กรัม

Zheng et al. (2011) งานวิจัยนี้ได้ทำการศึกษาการสกัดสารแอนโนไซยานินจากผงบลูเบอร์รี่ภายใต้การสกัดด้วยวิธีไมโครเวฟ โดยได้ทำการศึกษา เวลาในการสกัด อุณหภูมิ ความเข้มข้น เอทานอล และอัตราส่วน ของแข็ง:ของเหลว จากการทดลองพบว่า อัตราส่วน ของแข็ง:ของเหลว มีผลผลกระทบต่อการสกัดแอนโนไซยานินจากผงบลูเบอร์รี่มากสุด ตามด้วยความเข้มข้นเอทานอล อุณหภูมิ และเวลาในการสกัดน้อยที่สุด จากปัจจัยข้างต้นพบว่าสภาวะที่เหมาะสมที่ส่งผลทำให้มีค่าแอนโนไซยานินจากผงบลูเบอร์รี่สูงสุด 73.73 เปอร์เซ็นต์ เวลาในการสกัด 7 นาที อุณหภูมิ 47 องศาเซลเซียส ความเข้มข้นเอทานอล (V/V) 55 เปอร์เซ็นต์ และอัตราส่วน ของแข็ง:ของเหลว 1:34 กรัม/มิลลิลิตร

บทที่ 3

อุปกรณ์และวิธีการทดลอง

วัตถุดิบ

1. ผลหม่อนพันธุ์ เชียงใหม่ 60 (ศูนย์หม่อนไหมเฉลิมพระเกียรติฯ เชียงใหม่)
2. มวลโตเดกซ์ตริน DE 12 (ร้านหยกอินเตอร์เทรด เชียงใหม่)
3. กรดซิตริก (บริษัท สเปเชียล พั๊ด จำกัด)

อุปกรณ์

1. เครื่องซึ่งดิจิตอล ทศนิยม 2 ตำแหน่ง รุ่น ES-1200 HA
2. ขวดรูปชมพู่ 500 มิลลิลิตร
3. บีกเกอร์ขนาด 1,000 มิลลิลิตร
4. ขวดแก้ว ขนาด 1500 มิลลิลิตร
5. กระบอกตวง ขนาด 250 มิลลิลิตร
6. ช้อนตักสาร
7. ถ้วยอลูมิเนียมพร้อมฝาขนาด 3 ออนซ์
8. โถดูดความชื้น
9. ถุงยางดูดสาร
10. ขาดไส่น้ำกลั่น
11. กระดาษกรอง (บริษัท Whatman ประเทศเยอรมัน)
12. ขาดปรับปริมาตร (volumetric flask)
13. หลอดทดลอง
14. ตะแกรงร่อน
15. หลอดดูดสาร

เครื่องมือ

16. เครื่องอบแห้งแบบลมร้อน (ยี่ห้อ memmert ประเทศเยอรมัน)
17. เครื่องไมโครเวฟ (บริษัท ไทยซัมซุง อิเลคโทรนิคส์ จำกัด รุ่น ME711K ประเทศไทย)
18. เครื่องบด (ยี่ห้อ OTTO รุ่น BE-120 ประเทศไทย)
19. เครื่องผสม (MIXER UZUSIO VTX-30000L ประเทศไทย ญี่ปุ่น)
20. เครื่องวัดค่าดูดกลืนแสง (ยี่ห้อ biochrom รุ่น spectrawave S 1200 ประเทศไทย
สหรัฐอเมริกา)
21. อบตู้ปีเปต (Autoclavable Nichipet EX II ประเทศไทย ญี่ปุ่น)
22. เครื่องระเหยสูญญากาศ (ยี่ห้อ Buchi R215 ประเทศไทย สวิสเซอร์แลนด์)
23. เครื่องอบแห้งแบบพ่นฝอย (Buchi Mini-Spray Dryer B-290 ประเทศไทย
สวิสเซอร์แลนด์)
24. เครื่องวัดสี (ยี่ห้อ Hunter lab รุ่น Min iScan XE Plus ประเทศไทย สวิสเซอร์แลนด์)
25. เครื่องวัดค่าวาอเตอร์แอกติวิตี้ (ยี่ห้อ Aqua Lab รุ่น Series 3TE ประเทศไทย
สหรัฐอเมริกา)
26. เครื่องหมุนเหวี่ยง (Gernmy Industrial Corp. ประเทศไทย ไต้หวัน)
27. เครื่องกรองสูญญากาศ (Vacuum pump ยี่ห้อ sparmax รุ่น Tc-501V ประเทศไทย
ไต้หวัน)

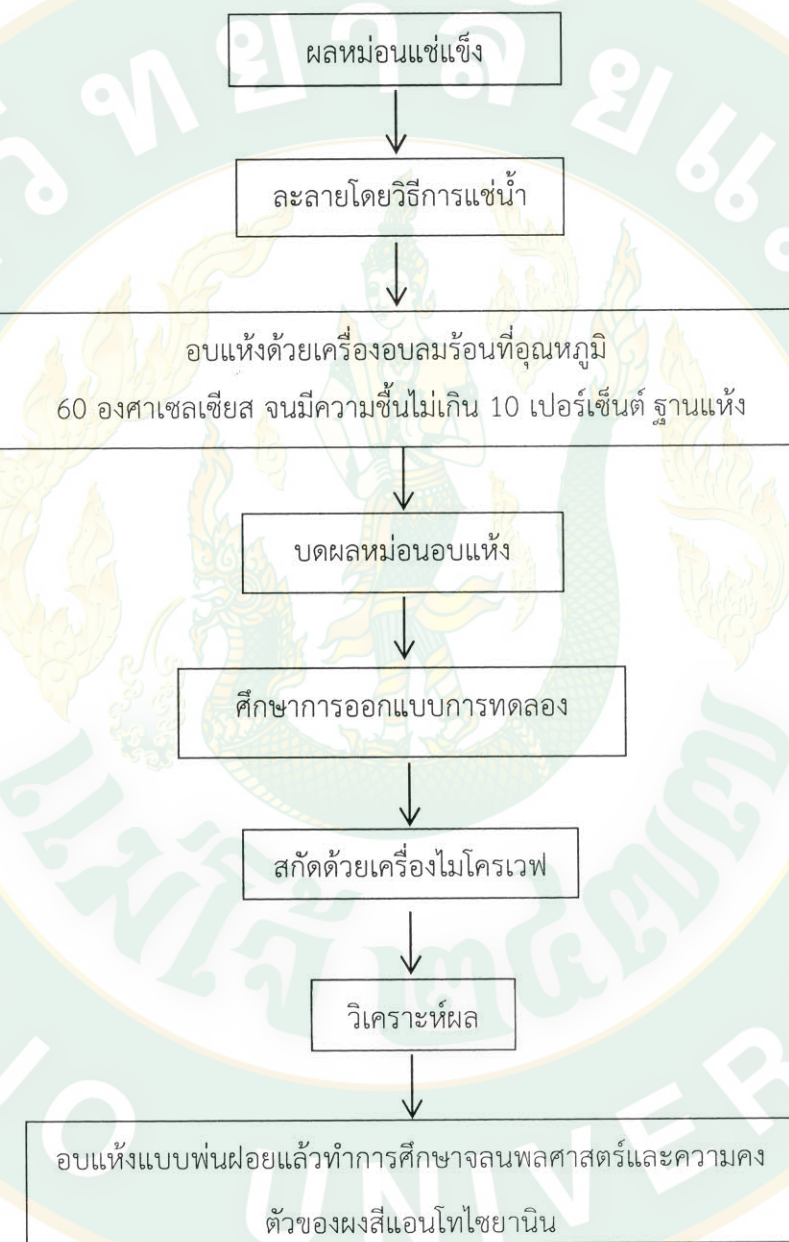
สารเคมี

1. เอทานอล (Ethanal 85%, 95% RCI Labscan Limited AR1115-P2.5L ประเทศไทย)
2. เมทานอล (RCI Labscan Limited AR1115-P2.5L ประเทศไทย)
3. กรดแกลลิก (บริษัท Merck KGaA ประเทศเยอรมัน)
4. กรดอะซีติก (Acetic acid C₂H₄O₂ บริษัท Merck KGaA ประเทศไทย สวิสเซอร์แลนด์)
5. กรดไฮโดรคลอลิก (hydrochloric acid 37% , HCL ประเทศไทย)
6. Sodium acetate (CH₃COONa.3H₂O RCL Labscan ประเทศไทย)
7. Ferric tripyridyltriazine (TPTZ 2, 4, 6-Tris(2-pyridyl)-s-triazine บริษัท Fluka
ประเทศไทย สวิสเซอร์แลนด์)
8. Potassium persulfate (K₂S₂O₈ บริษัท Sigma Aldrich ประเทศไทย เยอรมัน)
9. Iron (III) chloride (FeCl₃ บริษัท Merck KGaA ประเทศไทย เยอรมัน)

10. Ammonium sulfate ($(\text{NH}_4)_2\text{SO}_4$) RCL Labscan ประเทศไทย
11. สารละลายน้ำ DPPH (2,2-diphenyl-1-picrylhydrazyl) บริษัท sigma Aldrich ประเทศไทย
เยอรมัน)
12. สารละลายน้ำ Folin-Ciocalteu phenol reagent (บริษัท LOBA Chemie ประเทศไทย
อินเดีย)
13. สารละลายน้ำ ABTS (2, 2'-Azino-bis(3-ethylbenzothiazoline-6-sulfonic acid)
diammonium salt บริษัท Sigma ประเทศไทย เยอรมัน)
14. สารละลายน้ำ Trolox ((\pm)-6-Hydroxy-2, 5, 7, 8-tetramethylchromane-2-
carboxylic acid บริษัท Aldrich ประเทศไทย รัสเซีย)

การดำเนินการ

แผนการดำเนินงานการสกัดสารเอนไซม์โดยไมโครเวฟ



ภาพที่ 11 แผนภูมิการทดลอง

การเตรียมตัวอย่าง

- นำผลหม่อนแช่แข็งไปทำการละลายโดยวิธีการแช่น้ำ แล้วนำมาจัดเรียงวางบนถาดเพื่อทำการอบแห้งที่อุณหภูมิ 60 องศาเซลเซียส



ภาพที่ 12 การเตรียมตัวอย่างก่อนการอบแห้ง

- ทำการอบแห้งผลหม่อนด้วยเครื่องอบแห้งแบบลมร้อนที่อุณหภูมิ 60 องศาเซลเซียส จนมีค่าอัลตร้าแอคติวิตีต่ำกว่า 0.7 และความชื้นไม่เกิน 10 เปอร์เซ็นต์ ฐานแห้ง ทำให้เก็บอาหารไว้ได้นาน (อรุษา, 2554) แล้วนำมาบดและร่อนด้วยตะแกรงที่มีขนาด 60 ไมครอน จากนั้นนำไปบรรจุลงซีปล็อกและทำการเก็บรักษาไว้ในโถดูดความชื้นเพื่อเตรียมสำหรับศึกษาต่อไป



ภาพที่ 13 การอบแห้งผลหม่อนด้วยเครื่องอบแห้งแบบลมร้อน

การศึกษาหาสภาวะที่เหมาะสมในการสกัดสารแอนโนไซยานิน

ปัจจัยที่ใช้ในการศึกษาการสกัดสารแอนโนไซยานินของผลหม่อนด้วยเครื่องไมโครเวฟได้ แก่ กำลังไมโครเวฟ (150 300 450 และ 600 วัตต์) เวลาในการสกัด (1 5 9 13 และ 17 นาที) , เอทานอล หรือความเข้มข้นของตัวทำละลาย (10 30 50 และ 70 %) โดยได้ทำการศึกษาการทดลอง เป็นต้นเพื่อศึกษาถึงผลกระทบในการสกัดผลหม่อนโดยใช้ไมโครเวฟร่วมที่ส่งผลต่อสารแอนโนไซยานินและวัดค่าการดูดกลืนแสงโดยเครื่องสเปกโตรโฟโตรอมิเตอร์ (Spectrophptometer) จากนั้น ออกแบบการทดลองโดยใช้วิธีพื้นผิวนอกสนอง (Response Surface Methods : Box-Behnken Design) นำค่าที่ได้มาวิเคราะห์ผลทางสถิติและสร้างกราฟพื้นผิวนอกสนอง

ตารางที่ 2 ความสัมพันธ์ระหว่างปัจจัยและระดับความสำคัญโดยวิธีพื้นผิวนอกสนอง

ปัจจัย	ตัวแปร	ระดับความสำคัญ		
		+1	0	-1
กำลังไมโครเวฟ (วัตต์)	X_1	300	450	600
เวลาในการสกัด (นาที)	X_2	1	5	9
ความเข้มข้นของตัวทำละลาย (%)	X_3	30	50	70

การเตรียมความเข้มข้นตัวทำละลาย

การสกัดสารแอนโนไซยานินในผลหม่อนจะใช้อ ethanol เป็นตัวทำละลาย ซึ่งวิธีการเตรียมสาร ethanol ออนไลน์เราสามารถทำได้โดยการใช้สมการการหาความเข้มข้น

$$C_1 V_1 = C_2 V_2 \quad \dots \dots \dots (3.1)$$

C_1 = ความเข้มข้นของ ethanol 95 เปอร์เซ็นต์ (เปอร์เซ็นต์)

C_2 = ความเข้มข้นของตัวทำละลายที่ต้องการ (เปอร์เซ็นต์)

V_1 = ปริมาตรของ ethanol 95 เปอร์เซ็นต์ (มิลลิลิตร)

V_2 = ปริมาตรของสารละลายที่ต้องการ (มิลลิลิตร)

การสกัดสารแอนโทไซยานิน



ภาพที่ 14 แผนภูมิการสกัดแอนโทไซยานิน

วิธีวิเคราะห์ปริมาณแอนโทไซยานิน

การวิเคราะห์สารแอนโทไซยานินสามารถคำนวณได้สมการของ Fuleki และ Francis (1968)

ดังนี้

$$T_{acy} \equiv O.D. \times \frac{TEV}{SW} \times \frac{DV}{SV} \times \frac{1}{E/10} \times 100 \quad \dots\dots (3.2)$$

T_{acy} = ปริมาณสารแอนโทไซยานินทั้งหมดที่มีอยู่ในตัวอย่าง (mg/100g DW)

O.D. = ค่าการดูดกลืนแสง

DV = ปริมาตรของสารละลายน้ำที่สกัดได้ที่เจือจากเตรียมไว้สำหรับวัดค่าการดูดกลืนแสง (มิลลิลิตร)

SV = ปริมาตรของสารละลายน้ำที่สกัดได้ที่เตรียมสำหรับเจือจาก (มิลลิลิตร)

SW = น้ำหนักของตัวอย่างที่ใช้สกัด (กรัม)

TEV = ปริมาตรของสารละลายน้ำที่สกัดได้ (มิลลิลิตร)

E = ค่าเฉลี่ยโดยน้ำหนัก E ของแอนโทไซยานินมีค่าเท่ากับ 599

วิธีวิเคราะห์ปริมาณฟีโนลิก (Folin-Ciocalteu reagent)

ดัดแปลงมาจากวิธีของ (Onanong et al., 2011)

การเตรียมสารละลายน้ำโซเดียมคาร์บอเนตเข้มข้นร้อยละ 2

ซึ่งโซเดียมคาร์บอเนต (Na_2CO_3) 2 กรัม ละลายน้ำแล้วปรับปริมาตรให้ได้ 100 มิลลิลิตร ในขวดปรับปริมาตร

การวิเคราะห์ปริมาณฟีโนลิก

นำตัวอย่าง 0.1 มิลลิลิตร ใส่ในหลอดทดลองแล้วเจือจากด้วยน้ำกลั่น 10 มิลลิลิตร หลังจากนั้นดูดสารมา 0.1 มิลลิลิตร และเติมสารละลายน้ำโซเดียมคาร์บอเนต (Na_2CO_3) เข้มข้นร้อยละ 2 โดยมวลต่อปริมาตร ลงไป 2 มิลลิลิตร ผสมให้เข้ากันปิดปากหลอดด้วยกระดาษ พอยด์หรืออุจุ่งพอยด์ จากนั้นเติมสารละลายน้ำ Folin-Ciocalteu phenol reagent ลงไป 0.1 มิลลิลิตร ผสมให้เข้ากันและตั้งทิ้งไว้ที่อุณหภูมิห้อง 30 นาที นำไปวัดค่าการดูดกลืนแสงที่ความยาวคลื่น 750 นาโนเมตร และคำนวณหาปริมาณสารประกอบฟีโนลิกรวมทั้งหมดเทียบกับกราฟมาตรฐานกรดแกลลิกโดยรายงานผลเป็น มิลลิกรัมต่อกรัมกรดแกลลิก (mg/g Gallic acid equivalent, GAW)

วิธีการเตรียมสารละลายน้ำมาระดับแกลลิก

การเตรียมสารละลายน้ำมาระดับแกลลิก

ชั้งกรดแกลลิก 0.025 กรัม ละลายในน้ำกลั่นแล้วปรับปริมาตรให้ได้ 25 มิลลิลิตร ในขวดปรับปริมาตร

การวิเคราะห์กรดแกลลิก

นำสารละลายน้ำมาระดับแกลลิกที่เตรียมไว้ในข้างต้นมาเลือจางเพื่อเตรียมสารละลายน้ำมาระดับกรดแกลลิก ความเข้มข้น 0, 100, 200, 300, 400, 1,000 ppm จากสารละลายน้ำมาระดับความเข้มข้น 1,000 ppm ดังตารางที่ 3 จากนั้นดูดสารละลายน้ำมาระดับกรดแกลลิกที่ความเข้มข้นต่างๆ มา 0.1 มิลลิลิตร และเติมสารละลายน้ำซัคเซียร์บอเนต (Na_2CO_3) เข้มข้นร้อยละ 2 โดยมวลต่อปริมาตรลงไป 2 มิลลิลิตร ผสมให้เข้ากันและเติม Folin-Ciocalteu phenol reagent ลงไป 0.1 มิลลิลิตร ผสมให้เข้ากันและตั้งทิ้งไว้ที่อุณหภูมิห้อง 30 นาที

ตารางที่ 3 แสดงความเข้มข้นสารละลายน้ำมาระดับกรดแกลลิก

ความเข้มข้นสารละลายน้ำมาระดับกรดแกลลิก (ppm)	ปริมาตรสารละลายน้ำมาระดับกรดแกลลิกความเข้มข้น 1,000 ppm	น้ำกลั่น (มิลลิลิตร)
0	0	10
100	1	9
200	2	8
300	3	7
400	4	6
500	5	5
600	6	4
700	7	3
800	8	2
900	9	1
1,000	10	0

วิธีวิเคราะห์สารต้านอนุมูลอิสระ

วิธี 2,2-diphenyl-1-picrylhydrazyl radical scavenging capacity (DPPH)

ดัดแปลงมาจากวิธีของ (รัตนิกา และ ศิริจันทร์, 2557)

การเตรียมสารละลาย DPPH เข้มข้น 0.1 มิลลิโมลาร์

ซึ่งนำน้ำองค์การ 2,2-diphenyl-1-picrylhydrazyl มา 0.1972 กรัม ละลายด้วยเมทานอลจนสารละลายหมดและปรับปริมาตรเป็น 100 มิลลิลิตร จะได้สารละลาย DPPH เข้มข้น 5 มิลลิโมลาร์ จากนั้นดูดสารละลายมา 2 มิลลิลิตร และปรับปริมาตรด้วยเมทานอลให้ได้ 100 มิลลิลิตรจะได้สารละลายเข้มข้น 0.1 มิลลิโมลาร์ (สารละลายนี้ต้องเตรียมใหม่ก่อนใช้)

การวิเคราะห์สารละลาย DPPH

ใส่ตัวอย่างที่ได้จากการสกัดลงไป 0.1 มิลลิลิตร และดูดสารละลาย DPPH เข้มข้น 0.1 มิลลิโมลาร์ ในเมทานอลมา 2.9 มิลลิลิตร ใส่ในหลอดทดลองเขย่าให้เข้ากันและตั้งไว้ในที่มีด 30 นาที พร้อมทั้งทำตัวอย่างควบคุมหรือสารละลาย DPPH ที่ไม่มีตัวอย่างโดยใส่เมทานอล 0.1 มิลลิลิตร ตั้งไว้ในที่มีด 30 นาที นำตัวอย่างและตัวอย่างควบคุมไปวัดค่าการดูดกลืนแสงที่ความยาวคลื่น 515 นาโนเมตร และคำนวณต้านฤทธิ์อนุมูลอิสระร้อยละของการยับยั้งตามสมการที่ 3.3

$$\% \text{Inhibition} = \frac{(A_{\text{control}} - A_{\text{sample}}) \times 100}{A_{\text{control}}} \quad \dots \dots (3.3)$$

วิธีวิเคราะห์สารต้านอนุมูลอิสระด้วยวิธี FRAP

ดัดแปลงวิธีการทดลองจาก (Benzie et al., 1996)

เตรียมสาร FRAP reagent โดยการผสม Acetate buffer (pH 3.6) 1,000 มิลลิลิตร, FeCl_3 100 มิลลิลิตร และ TPTZ 100 มิลลิลิตร ในอัตราส่วน 50:5:5 มิลลิลิตร นำ FRAP reagent 1,200 ไมโครลิตร ผสมกับน้ำองค์ 120 ไมโครลิตร และ ตัวอย่าง 40 ไมโครลิตร เก็บรักษาไว้ที่อุณหภูมิห้อง 6 นาที ทำการวัดค่าการดูดกลืนแสงที่ความยาวคลื่น 593 นาโนเมตร

วิธีวิเคราะห์ความสามารถในการต้านอนุมูลอิสระด้วย 2,2'-Azino-bis (3-ethylbenzothiazoline-6-sulfonic acid) ABTS

ตัดแปลงวิธีการทดลองจาก (รัชฎาพร และคณะ 2554)

เตรียมสารละลาย ABTS⁺ cation radical โดยการผสมสารละลาย ABTS 14 มิลลิโมลาร์ 5 มิลลิตร และ 4.9 มิลลิโมลาร์ potassium persulfate ($K_2S_2O_8$) 5 มิลลิตร ผสมให้เข้ากันตั้งทิ้งไว้ที่อุณหภูมิห้องในที่มีเดินเป็นเวลา 16 ชั่วโมง ก่อนใช้นำสารละลาย ABTS+ มาเจือจางด้วยเอทานอลให้มีค่าการดูดกลืนแสงอยู่ในช่วง 0.700 ± 0.020 ที่ความยาวคลื่น 734 นาโนเมตร จากนั้นดูดสารละลาย ABTS⁺ 950 ไมโครลิตร ผสมกับสารสกัดตัวอย่างหรือสารมาตรฐาน 50 ไมโครลิตร โดยใช้น้ำกลั่นเป็น Blank ผสมให้เข้ากัน ตั้งทิ้งไว้ในที่ มีเดินเป็นเวลา 6 นาที จากนั้นนำไปวัดค่าการดูดกลืนแสงที่ความยาวคลื่น 734 นาโนเมตร โดยใช้ Trolox เป็นกราฟมาตรฐาน

การอบแห้งแบบพ่นฟอยเพื่อศึกษาความคงตัวของผลสีแอนโทไซานิน

หลังจากการศึกษาหาสภาวะที่เหมาะสมในการสกัดหาแอนโทไซานินด้วยวิธีไมโครเวฟ ต่อไปจะทำการอบแห้งแบบพ่นฟอยโดยนำตัวอย่างที่ได้จากการสกัดผสมมอลโตเดกซ์ตринร้อยละ 15 และเข้าสู่กระบวนการระเหยสุญญากาศเพื่อทำการปรับความเข้มข้นจนมีค่า 20 องศาบริกซ์ และนำมาอบแห้งแบบพ่นฟอยที่อุณหภูมิ 160 องศาเซลเซียส (คณาจารย์ คณะวิทยาศาสตร์ จุฬาลงกรณ์มหาวิทยาลัย, 2556)

การวิเคราะห์คุณสมบัติของผลสีแอนโทไซานิน

การวิเคราะห์ความสามารถในละลาย

ตัดแปลงจากวิธีของ (Ahmed et al., 2010)

นำผงหม่อน 0.5 กรัม และน้ำกลั่น 50 มิลลิลิตร ผสมกันในหลอด Centrifuge จากนั้นนำไปปั่นเหวี่ยงด้วยเครื่องปั่นเหวี่ยงที่ 2090 g และเทแยกส่วนใส 12.5 มิลลิลิตร ลงในถ้วยสำหรับใส่ตัวอย่าง ซึ่งน้ำหนักส่วนใสก่อนนำไปปอกแห้งที่อุณหภูมิ 105 องศาเซลเซียส เป็นเวลา 24 ชั่วโมง และซึ่งน้ำหนักของแข็งในส่วนใสที่ผ่านการอบแห้งแล้วคำนวณหาเปอร์เซ็นต์การละลายจากสมการที่ 2.4

การวิเคราะห์การดูดความชื้นกลับ

ตัดแปลงมาจากวิธีของ (Cai and Corke, 2000)

เตรียมผงหม่อน 1 กรัม วางไว้บนเพลท แล้วทำการซึ่งแอมโมเนียมซัลเฟต ($(\text{NH}_4)_2\text{SO}_4$) 81.3 กรัม ต่อน้ำ 100 มิลลิลิตร เทลงบนเพลท (คนละเพลทกับผงหม่อน) และบรรจุลงกล่องเพื่อทำการเก็บรักษาที่อุณหภูมิห้องเป็นระยะเวลา 1 สัปดาห์ แล้วนำมาคำนวณหาค่าการดูดกลืนกลับ

การวิเคราะห์ค่าวอเตอร์แอคติวิตี้

ซึ่งน้ำหนักผงหม่อนประมาณ 1 กรัม วางลงบนถ้วยสำหรับใช้ในการวัดค่าวอเตอร์แอคติวิตี้ ด้วยเครื่องวัดค่าวอเตอร์แอคติวิตี้ (ยี่ห้อ Aqua Lab) ก่อนทำการวัดควรเปิดเครื่องทิ้งไว้ 15 นาที

การศึกษาจำนวนพลาสต์และความคงตัวของผงสีแอนโกลไชyanin

จากการกระบวนการสกัดและการอบแห้งแบบพ่นฟอยจะได้ผงสีแอนโกลไชyaninเพื่อนำมาทำการศึกษาจำนวนพลาสต์และความคงตัวของผงสีแอนโกลไชyaninเพื่อถืออายุการเก็บรักษาซึ่งจะทำการศึกษาที่อุณหภูมิต่างๆ คือ 25 45 และ 55 องศาเซลเซียส เป็นระยะเวลา 10 สัปดาห์ โดยจะนำผงสีเก็บรักษาไว้ในถุงฟอยด์

การศึกษาภูมิอัตราปฏิกิริยาการสลายตัวของแอนโกลไชyaninและค่าครึ่งชีวิต

ในการศึกษาภูมิอัตราปฏิกิริยาการสลายตัวของแอนโกลไชyaninเพื่อตัดสินว่าเป็นปฏิกิริยาอันดับที่เท่าใดซึ่งสามารถหาได้โดยการผลอัตราพร率ระหว่างปริมาณแอนโกลไชyanin ณ เวลาใดๆ กับปริมาณแอนโกลไชyaninเริ่มต้น (Anderson et al., 2003)

$$\text{ปฏิกิริยาอันดับที่ } 0 \quad C_t = -kt + C_0 \quad \dots \quad (3.4)$$

$$\text{ปฏิกิริยาอันดับที่ } 1 \quad \ln(C_t / C_0) = -kt \quad \dots \quad (3.5)$$

$$\text{ปฏิกิริยาอันดับที่ } 2 \quad 1/(C_t / C_0) = kt \quad \dots \quad (3.6)$$

C_t = คือปริมาณแอนโกลไชyaninเมื่อเวลาผ่านไป t หลังจากได้รับความร้อนตามอุณหภูมิที่กำหนดไว้

C_0 = ปริมาณแอนโกลไชyaninเริ่มต้น

k = ค่าคงที่อัตราการเกิดปฏิกิริยาอันดับหนึ่ง

t = เวลาการเกิดปฏิกิริยา

การคำนวณค่าครึ่งชีวิต

จากสมการเส้นตรงของปฏิกริยาอันดับต่างๆ สามารถนำมาหาค่าครึ่งชีวิตได้ดังสมการที่ 3.7 ซึ่งจะแสดงเวลาที่ใช้ในการเกิดปฏิกริยาจนความเข้มข้นของสารตั้งต้นลดลงครึ่งหนึ่งจากความเข้มข้นเริมต้น (ศุทธินี, 2556)

$$t_{1/2} = -\ln 0.5 \times k^{-1} \quad \dots\dots (3.7)$$

$t_{1/2}$ = ค่าครึ่งชีวิต

k^{-1} = ค่าคงที่อัตราการเกิดปฏิกริยาอันดับหนึ่ง

การศึกษาพลังงานgradeโดยสมการอาร์เรเนียส

หลังจากคำนวณหาค่าคงที่ของอัตราการเกิดปฏิกริยาอันดับหนึ่ง (k) นำค่าที่ได้มาคำนวณหาค่า E_a ด้วยสมการอาร์เรเนียส (ศุทธินี, 2556)

$$k = Ae^{(-E_a/RT)} \quad \dots\dots (3.8)$$

$$\text{หรือ} \quad \ln k = \ln A - Ea/RT \quad \dots\dots (3.9)$$

K = คือค่าคงที่อัตรา (rate constant) ค่านี้ขึ้นอยู่กับอุณหภูมิ (K)

A = คือแฟกเตอร์ความถี่ (frequency factor) เป็นค่าที่เกี่ยวข้องกับความถี่การชนกันของโมเลกุลทั้งหมดของสารตั้งต้น

E_A = พลังงานที่ทำให้สารเกิดการเปลี่ยนแปลงหรือการทำให้สารที่มีอยู่เกิดการลดลง (J/mol)

R = ค่าคงที่ของแก๊สแม่ ค่าเท่ากับ $8.314 \text{ J/mol} \cdot \text{K}$

T = อุณหภูมิสัมบูรณ์ (K)

การนำผงสีผสมอาหารจากผลหม่อนไปประยุกต์ใช้

ภายหลังการอบแห้งแบบพ่นฟอยได้นำผงสีจากผลหม่อนมาประยุกต์ใช้เพื่อพัฒนาเป็นผลิตภัณฑ์โดยนำผงหม่อน 9 เปอร์เซ็นต์ มอลโตเดกรีนซ์ 45 เปอร์เซ็นต์ เซลลูโลส 27 เปอร์เซ็นต์ แมกนีเซียม 1 เปอร์เซ็นต์ และแลคโตส 18 เปอร์เซ็นต์ ผสมกันจากนั้นนำไปสู่เครื่องอัดเม็ดเพื่อทำการผลิตเม็ดสีธรรมชาติจากผงหม่อน

การวางแผนการทดลองและวิเคราะห์ข้อมูลทางสถิติ

ในการสกัดแอนโกลไชyanin จากผลหม่อนอบแห้งด้วยวิธีไมโครเวฟได้ทำการออกแบบการทดลองด้วยวิธีพื้นที่ผิวนอกสนองบนโปรแกรม Design-Expert 7.0.0 โดยทำการทดลอง 3 ชั้น และทำการวิเคราะห์ผลข้อมูลทางสถิติด้วยโปรแกรมสำเร็จรูป SPSS Statistic 17 จากนั้นจะนำค่าการสกัดที่ดีที่สุดไปทำการอบแห้งแบบพ่นฝอยและทำการศึกษาจนผลศาสตร์และความคงตัวขององค์ประกอบเอนโกลไชyanin แล้วนำไปวิเคราะห์คุณสมบัติขององค์ประกอบต่อไป

ระยะเวลาในการดำเนินการ

การศึกษาทำวิจัยในครั้งนี้จะใช้ระยะเวลาในการศึกษา 12 เดือน โดยเริ่มตั้งแต่เดือน มกราคม 2559 ถึง เดือน กุมภาพันธ์ 2560

สถานที่ทำวิจัย

ห้องปฏิบัติการวิศวกรรมอาหาร 3 ห้อง E 215 คณะวิศวกรรมและอุตสาหกรรมเกษตร มหาวิทยาลัยแม่โจ้ เชียงใหม่

สาขาวิชาเทคโนโลยีหลังการเก็บเกี่ยว คณะวิศวกรรมและอุตสาหกรรมเกษตร มหาวิทยาลัยแม่โจ้ เชียงใหม่

สถาบันบริการตรวจสอบคุณภาพและมาตรฐานผลิตภัณฑ์ มหาวิทยาลัยแม่โจ้ เชียงใหม่

บทที่ 4

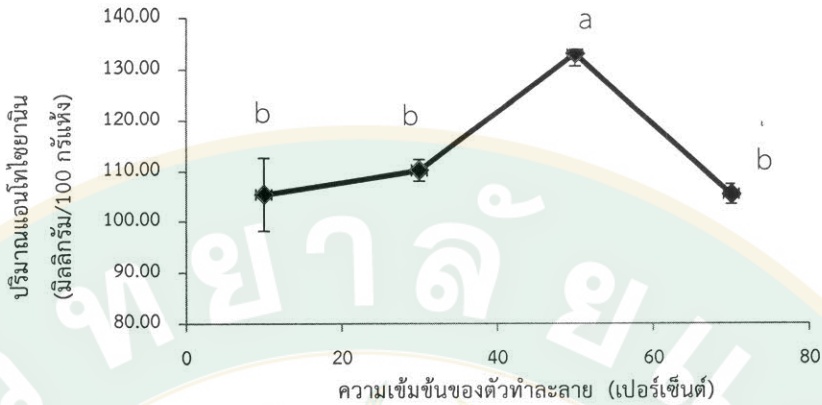
ผลและวิจารณ์ผลการทดลอง

ในงานวิจัยครั้งนี้ได้ทำการศึกษาโดยใช้ผลหม้อนที่ผ่านการแข็งและกรอบแห้งที่อุณหภูมิ 60 องศาเซลเซียส จนความชื้นสุดท้ายไม่เกิน 10 เปอร์เซ็นต์ เพื่อทำการศึกษาหาสภาวะที่เหมาะสมในการสกัดแอนโกลไซยานินจากผลหม้อนด้วยวิธีไมโครเวฟร่วม โดยศึกษาสภาวะเบื้องต้นของตัวแปร ต่างๆได้แก่ กำลังไมโครเวฟ เวลาในการสกัด และความเข้มข้นของตัวทำละลาย (เอทานอล) ซึ่งใช้อัตราส่วนในการสกัดผงหม้อน 1 กรัม ต่อปริมาณความเข้มข้นของตัวทำละลาย 80 มิลลิลิตร และใช้กรดซิตริก ร้อยละ 3 (Amelia et al., 2013) จากปัจจัยข้างต้นได้ทำการวิเคราะห์หาปริมาณแอนโกลไซยานิน ฟีโนลิกและสารต้านอนุมูลอิสระ ด้วยการออกแบบการทดลองพื้นที่ผิวด้วยแบบ Box-Behnken Design (BBD) เพื่อนำสารสกัดแอนโกลไซยานินที่ได้มาประรูปเป็นผงสีด้วยวิธีการอบแห้งแบบพ่นฝอยและทำการศึกษาจำเพาะศาสตร์และความคงตัวของผงสี ที่อุณหภูมิ 5 45 และ 55 องศาเซลเซียส โดยได้ทำการวิเคราะห์ ค่าวาอุเตอร์แอคติวิตี้ ค่าการลดความชื้น และต่าการละลาย พร้อมทั้งนำผลสีที่ได้มาพัฒนาเป็นผลิตภัณฑ์อัดเม็ดเพื่อทำการเพิ่มมูลค่าของผลผลิตทางการเกษตร

การทดสอบหาสภาวะที่เหมาะสมในการสกัดแอนโกลไซยานินจากผลหม้อนเบื้องต้น

1. การศึกษาความเข้มข้นของตัวทำละลายในการสกัดแอนโกลไซยานินจากผลหม้อน

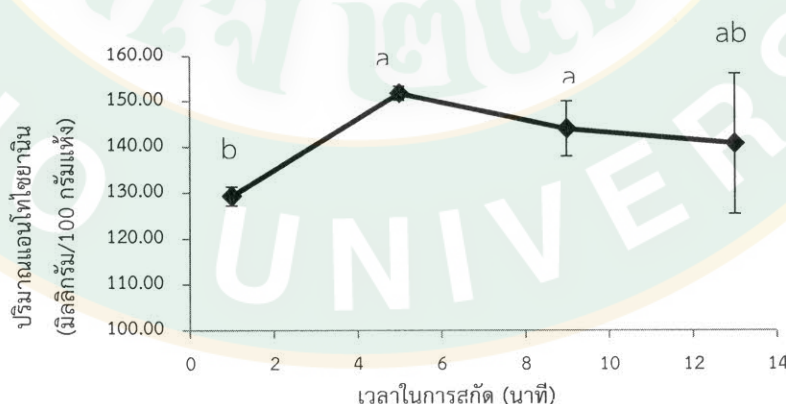
จากการศึกษาความเข้มข้นของตัวทำละลายต่อปริมาณแอนโกลไซยานิน 4 ระดับ ได้แก่ 10 30 50 และ 70 เปอร์เซ็นต์ พบร่วมเมื่อเพิ่มความเข้มข้นของตัวทำละลายจะส่งผลทำให้มีค่าปริมาณแอนโกลไซยานินเพิ่มมากขึ้นจนถึงค่าสูงสุดที่ความเข้มข้นของตัวทำละลาย 50 เปอร์เซ็นต์ และมีค่าปริมาณแอนโกลไซยานินลดลงเมื่อมีการเพิ่มความเข้มข้นของตัวทำละลายเนื่องจากการเพิ่มปริมาณความเข้มข้นของตัวทำละลายจะส่งผลทำให้ลดความสามารถในการสกัดสารสำคัญที่อยู่ในผงหม้อน อย่างไรก็ตาม ความเข้มข้นของตัวทำละลายที่ส่งผลทำให้ลดความสามารถในการสกัดสารสำคัญที่อยู่ในผงหม้อน ออกมากเนื่องจากเป็นการเพิ่มความแตกต่างของขั้วระหว่างสารแอนโกลไซยานินกับความเข้มข้นของตัวทำละลายคือความสามารถในการละลายของแอนโกลไซยานินมีค่าต่ำกว่าตัวทำละลาย (เอทานอล) ซึ่งส่งผลทำให้สัมประสิทธิ์การแพร่เมื่อค่าลดลง (Zheng et al., 2012) และจากการวิเคราะห์ข้อมูลทางสถิติพบว่าที่ความเข้มข้นของตัวทำละลายที่ 50 เปอร์เซ็นต์ ให้ค่าปริมาณแอนโกลไซยานินสูงสุดดังนั้นจึงเลือกความเข้มข้นของตัวทำละลายที่ช่วง 30 - 70 เปอร์เซ็นต์ เป็นช่วงศึกษาในการหาสภาวะที่เหมาะสม ซึ่งสามารถแสดงข้อมูลได้ดังภาพที่ 15



ภาพที่ 15 แสดงความสัมพันธ์ระหว่างความเข้มข้นของตัวทำละลายกับปริมาณแอนโ陶ไซยานินในสภาวะเวลาในการสกัด 5 นาที และกำลังไมโครเวฟ 450 วัตต์

2. การศึกษาเวลาในการสกัดแอนโ陶ไซยานินจากผลหม่อน

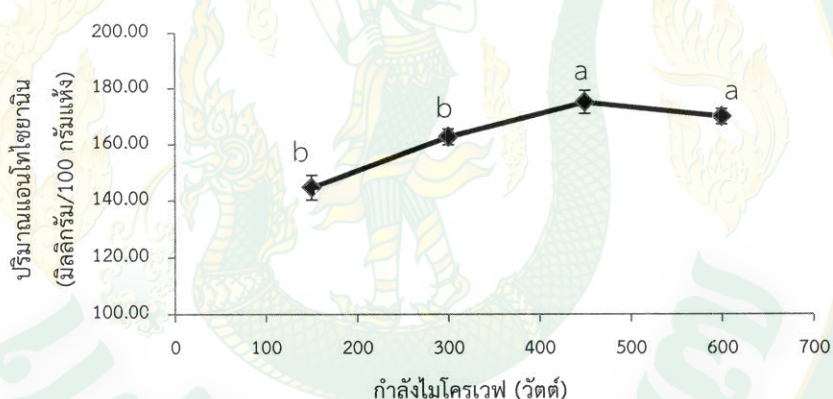
จากการศึกษาเวลาในการสกัดต่อปริมาณแอนโ陶ไซยานิน 4 ระดับ ได้แก่ 1 5 9 และ 13 นาที พบร่วมกันว่าเมื่อเพิ่มเวลาในการสกัดจนถึงนาทีที่ 5 จะส่งผลทำให้มีค่าปริมาณแอนโ陶ไซยานินสูงสุด และมีค่าปริมาณแอนโ陶ไซยานินลดลงเมื่อเพิ่มเวลาในการสกัดซึ่งเกิดจากสารสำคัญที่อยู่ในผลหม่อนถูกสลายตัวโดยเกิดจากการสะสมความร้อนจากพลังงานไมโครเวฟ (Zheng et al., 2012) แต่เมื่อนำข้อมูลที่ได้มาวิเคราะห์ทางสถิติพบว่าที่เวลา 5 9 และ 13 ไม่มีความแตกต่างกันทางสถิติอย่างมีนัยสำคัญ ดังนั้นจึงเลือกเวลาที่ 5 นาที เป็นสภาวะที่เหมาะสมในการสกัดแอนโ陶ไซยานิน เนื่องจากหากใช้เวลาที่ 9 และ 13 นาที จะเป็นการสิ้นเปลืองพลังงานจึงได้เลือกช่วงเวลาในการสกัดที่ 1 - 9 นาที เป็นช่วงศึกษาในการหาสภาวะที่เหมาะสม ดังภาพที่ 16



ภาพที่ 16 แสดงความสัมพันธ์ระหว่างเวลาในการสกัดกับปริมาณแอนโ陶ไซยานินในสภาวะความเข้มข้นของตัวทำละลาย 50 เปอร์เซ็นต์ (กรดซิตริก็อยละ 3) และกำลังไมโครเวฟ 450 วัตต์

3. การศึกษากำลังไมโครเวฟในการสกัดแอนโトイไซานินจากผลหม่อน

จากการศึกษากำลังไมโครเวฟต่อปริมาณแอนโトイไซานิน 4 ระดับ ได้แก่ 150 300 450 และ 600 วัตต์ พบว่าเมื่อกำลังไมโครเวฟสูงขึ้นจะส่งผลทำให้มีค่าปริมาณแอนโトイไซานินเพิ่มมากขึ้นจนถึง กำลังไมโครเวฟที่ 450 วัตต์ แต่เมื่อนำมาวิเคราะห์ข้อมูลทางสถิติพบว่าที่กำลังไมโครเวฟ 450 และ 600 วัตต์ ไม่มีความแตกต่างกันทางสถิติอย่างมีนัยสำคัญ เนื่องจากเมื่อเพิ่มกำลังไมโครเวฟจนถึง 600 วัตต์ จะส่งผลทำให้ปริมาณแอนโトイไซานินที่อยู่ในผงหม่อนมีค่าลดลงซึ่งเกิดจากการเกิดปฏิกิริยา เมลลาร์ด ซึ่งเป็นปฏิกิริยาการเกิดสีน้ำตาลแบบไม่ใช้อาเนกประสงค์ ซึ่งสารแอนโトイไซานินจะถูกทำลายจากการเกิดออกซิเดชันและทำปฏิกิริยาต่อสารประกอบคาร์บอนิล หรือทำปฏิกิริยากับหมู่กรดอะมิโนเกิด เป็นสีน้ำตาล (Quintas et al., 2007) ดังนั้นจึงเลือกช่วงกำลังไมโครเวฟที่ 300 - 600 วัตต์ เป็นช่วงศึกษาการหาสภาวะที่เหมาะสมของการสกัดผลหม่อน ดังภาพที่ 17



ภาพที่ 17 แสดงความสัมพันธ์ระหว่างกำลังไมโครเวฟในการสกัดกับปริมาณแอนโトイไซานิน ในสภาวะความเข้มข้นของตัวทำละลาย 50 เปอร์เซ็นต์ (กรดซิตริก ร้อยละ 3) และเวลาในการสกัด 5 นาที

การออกแบบการทดลองด้วยวิธีพื้นที่ผิวตอบสนอง

จากการทดลองหาสภาวะเบื้องต้นได้นำข้อมูลมาทำการออกแบบการทดลองด้วยวิธีพื้นที่ผิวตอบสนองเป็นการออกแบบโดยใช้โปรแกรมสำเร็จรูป โดยจะทำการศึกษา 3 ปัจจัย ได้แก่ กำลังไมโครเวฟ 300 - 500 วัตต์ เวลาในการสกัด 1 - 9 นาที ซึ่งทำการสกัดเป็นช่วงเวลาต่างๆ และความเข้มข้นของตัวทำละลาย 30 - 70 เปอร์เซ็นต์ (ปริมาตรต่อปริมาตร) โดยใช้อัตราส่วนในการสกัดคงม่อน 1 กรัม ต่อความเข้มข้นของตัวทำละลาย 80 มิลลิลิตร สมการดัชนีติงค์ร้อยละ 3 และทำการวางแผนการทดลองด้วยวิธีพื้นที่ผิวตอบสนองแบบ Box-Behnken Design โดยกำหนดตัวแปรที่ศึกษาและระดับการทดลองของกำลังไมโครเวฟ (X_1) เวลาในการสกัด (X_2) และ ความเข้มข้นของตัวทำละลาย (X_3) ซึ่งกำหนดค่าปัจจัยเป็น 3 ระดับ คือ ระดับต่ำ (-1), ระดับกลาง (0) และระดับสูง (1) โดยทำการทดลองที่สภาวะต่างๆ ดังตารางที่ 4 หลังจากทำการทดลองแล้วนำข้อมูลที่ได้มาทำการวิเคราะห์ข้อมูลทางสถิติและการสร้างแบบจำลองทางคณิตศาสตร์แบบสมการพหุนามกำลังสอง

ตารางที่ 4 การกำหนดปัจจัยและระดับการทดลอง

ปัจจัย	ตัวแปร	ระดับความสำคัญ		
		+1	0	-1
กำลังไมโครเวฟ (วัตต์)	X_1	300	450	600
เวลาในการสกัด (นาที)	X_2	1	5	9
ความเข้มข้นของตัวทำละลาย (เปอร์เซ็นต์)	X_3	30	50	70

ตารางที่ 5 การออกแบบและการทดลองการสกัดแอนโกลิไซยานินจากผลหม่อนด้วยวิธีพื้นที่ผิว

ตอบสนอง

ลำดับ	ปัจจัย			ค่าการทดลอง mg/100g DW	ค่าการทำய mg/100g DW.
	X ₁	X ₂	X ₃		
1	300	1	50	144.24	139.37
2	600	1	50	167.21	164.60
3	300	9	50	183.24	185.84
4	600	9	50	184.31	189.18
5	300	5	30	142.64	144.66
6	600	5	30	172.55	172.28
7	300	5	70	172.55	172.82
8	600	5	70	175.76	173.77
9	450	1	30	124.47	127.35
10	450	9	30	168.81	164.21
11	450	1	70	138.90	143.50
12	450	9	70	180.57	177.70
13	450	5	50	204.07	200.41
14	450	5	50	203.54	200.41
15	450	5	50	193.66	200.41

หมายเหตุ กำหนดให้ X₁ กำลังไมโครเวฟ (วัตต์) X₂ เวลาในการสกัด (นาที) X₃ ความเข้มข้นของตัวทำละลาย (เปอร์เซ็นต์)

จากการที่ 5 เป็นการออกแบบการทดลองด้วยวิธีพื้นที่ผิวตอบสนองแบบ BBD โดยมีการทดลองทั้งหมด 15 การทดลอง ซึ่งจากการทดลองพบว่าการทดลองที่ 13 - 15 ที่สภาวะกำลังไมโครเวฟ 450 วัตต์ เวลาในการสกัด 5 นาที และความเข้มข้นของตัวทำละลาย 50 เปอร์เซ็นต์ เป็นสภาวะที่สกัดได้ปริมาณแอนโกลิไซยานินสูงสุดคือ 193 - 204.07 mg/100g DW จากงานวิจัยของ (Kamiloglu et al., 2012) ได้ทำการวิเคราะห์สารต้านอนุมูลอิสระและโพลีฟีนอลของผลิตภัณฑ์หม่อน (*Mouus nigra* L.) พบร่วมกับปริมาณแอนโกลิไซยานิน 61.3 mg/100g.DW ซึ่งมีค่าน้อยกว่าจากการสกัดด้วยวิธีไมโครเวฟร่วมเนื่องจากมีวิธีการสกัดและมีการใช้ตัวทำละลายที่แตกต่างกันและจากการ

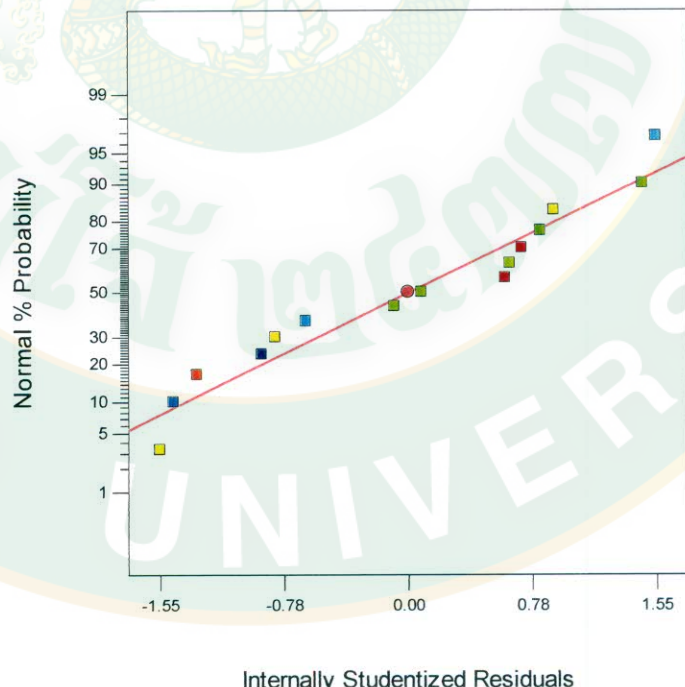
ตารางดังกล่าวได้ทำการเปรียบเทียบข้อมูลระหว่างค่าที่ได้จากการทดลองและค่าที่ได้จากการคำนวณ
พบว่าค่าทั้งสองมีค่าใกล้เคียงกัน ซึ่งแสดงให้เห็นว่าค่าการทดลองที่ได้มีความน่าเชื่อถือหรือมีผลการ
ทดลองที่ดี

เมื่อนำข้อมูลจากตารางข้างต้นมาวิเคราะห์จะสามารถสร้างสมการพหุนามกำลังสองได้ดัง
สมการที่ 4.1

$$Y = 208.97 + 0.56X_1 + 22.51X_2 + 7.80X_3 - 4.00X_1^2 - 1.36X_2^2 - 0.06X_3^2 \dots\dots (4.1)$$

จากสมการที่ 1 กำหนดให้ค่า Y คือ ปริมาณแอนโ堕ไซนินที่ได้จากการสกัดด้วยวิธี
ไมโครเวฟร่วม และพบว่าสมการดังกล่าวสามารถอธิบายตัวแปรได้ค่า R^2 เท่ากับ 97.49 เปอร์เซ็นต์
อย่างมีนัยสำคัญทางสถิติ ($p < 0.05$)

เมื่อนำผลการทดลองมาสร้างโมเดลทางคณิตศาสตร์เพื่อทำการตรวจสอบส่วนตกล้างพบว่า
ข้อมูลมีการกระจายตัวตามแนวเส้นตรงซึ่งแสดงให้เห็นว่าการสกัดแอนโ堕ไซนินจากผงหม่อนด้วย
วิธีไมโครเวฟร่วมมีการกระจายตัวอย่างสม่ำเสมอของข้อมูลมีความเป็นอิสระและมีค่าส่วนตกล้างที่มีการ
แจกแจงแบบปกติ ดังภาพที่ 18



ภาพที่ 18 แสดงความน่าจะเป็นแบบปกติของส่วนตกล้าง

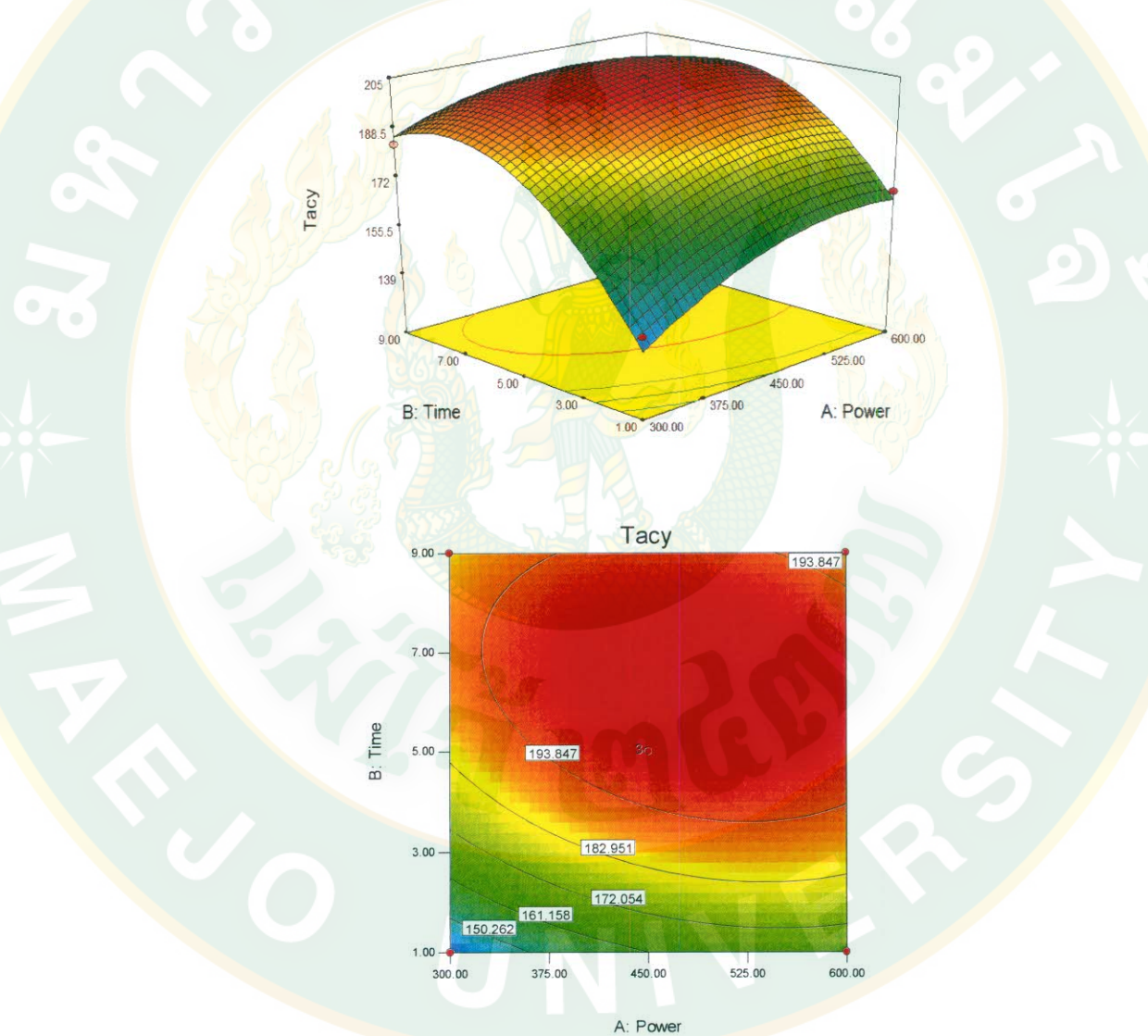
ตารางที่ 6 การวิเคราะห์ความแปรปรวนของปริมาณแอนโไทยาในจากผลหม่อน

Source	Sum of Squares	df	Mean Square	F-Value	p-value
Model	7644.82	9	849.42	21.55	0.0017
X_1	408.44	1	408.44	10.36	0.0235
X_2	2524.18	1	2524.18	64.05	0.0005
X_3	439.54	1	439.54	11.15	0.0206
X_1X_2	119.94	1	119.94	3.04	0.1415
X_1X_3	178.37	1	178.37	4.53	0.0867
X_2X_3	1.78	1	1.78	0.045	0.8399
X_1^2	298.6	1	298.6	7.58	0.0402
X_2^2	1735.56	1	1735.56	44.04	0.0012
X_3^2	2411.05	1	2411.05	61.18	0.0005
Residual	197.04	5	39.41		
Lack of Fit	128.21	3	42.74	1.24	0.4751

จากการวิเคราะห์ความแปรปรวน (ANOVA) ข้อมูลของปริมาณแอนโไทยาในจากผลหม่อน ที่ผ่านการสกัดด้วยวิธีไมโครเวฟร่วม ดังตารางที่ 6 พบร่วงในเทอมของผลรวมเส้นตรงและกำลังสอง ของ X_1 , X_2 , X_3 , X_1^2 , X_2^2 และ X_3^2 มีค่า p-value น้อยกว่า 0.05 ซึ่งแสดงให้เห็นว่ามีส่วนโค้งกีดขื้นที่พื้นผิวตอบสนองและข้อมูลดังกล่าวมีค่าความแตกต่างกันทางสถิติอย่างมีนัยสำคัญ และเมื่อทำการพิจารณาค่า Lack of Fit ซึ่งมีค่า p-value มากกว่า 0.05 แสดงว่าแบบจำลองมีความเหมาะสมกับข้อมูลที่ทำการทดลอง

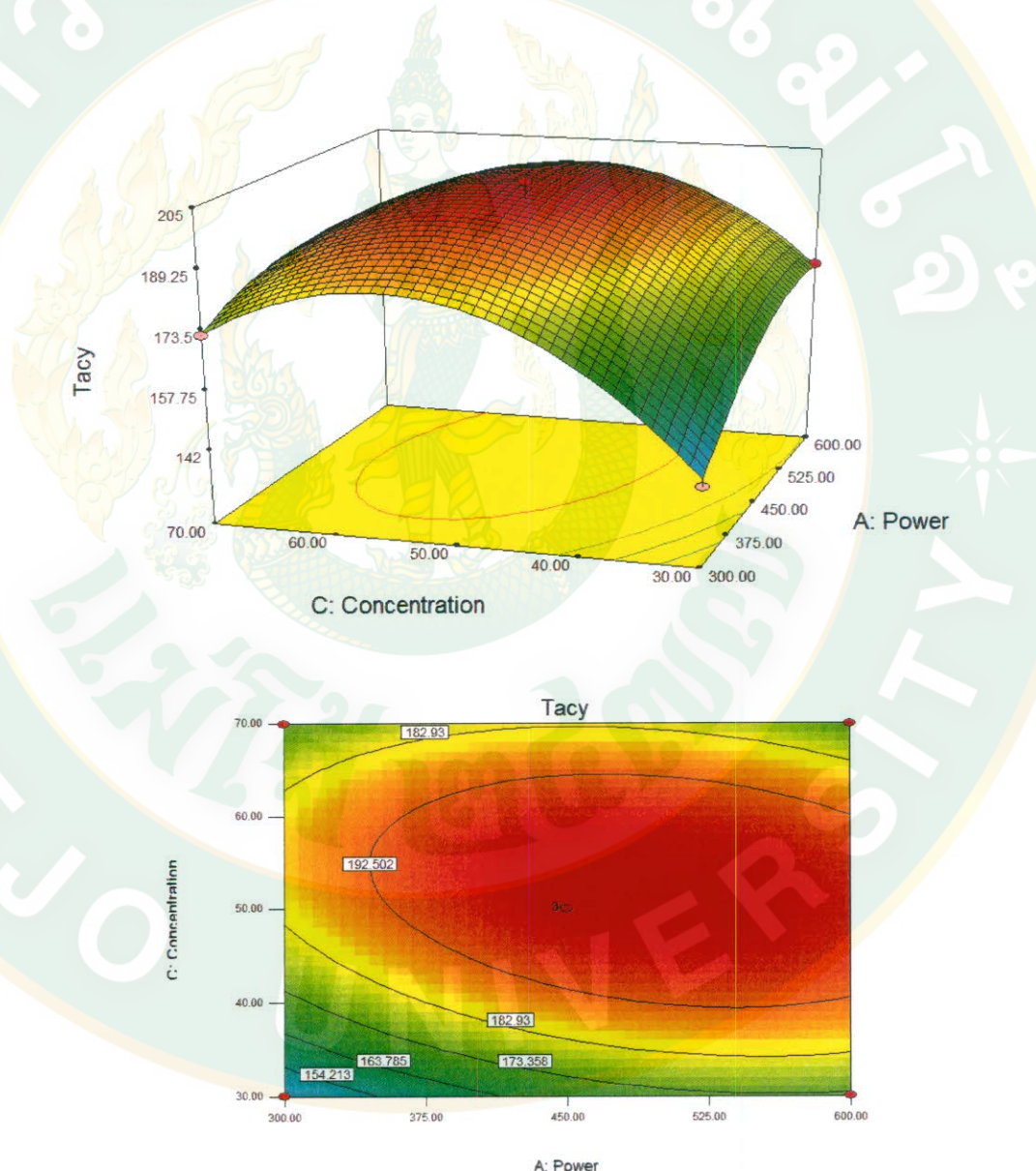
จากการวิเคราะห์ผลข้อมูลที่วัดได้ด้วยเทคนิคทางสถิติด้วยวิธีการหาพื้นผิวตอบสนอง (Response surface methodology, RSM) สามารถแสดงผลลอกองมาในรูปแบบกราฟสามมิติและสองมิติที่แสดงความสัมพันธ์ของการตอบสนองระหว่างเวลาในการสกัดกับกำลังไมโครเวฟ ความเข้มข้นของตัวทำละลายกับกำลังไมโครเวฟและความเข้มข้นของตัวทำละลายกับเวลาในการสกัด ซึ่งความสัมพันธ์ดังกล่าวจะแสดงถึงปริมาณแอนโไทยาที่สามารถสกัดออกมากได้ตามสภาวะต่างๆ ดังภาพที่ 19 – 21

ภาพที่ 19 แสดงความสัมพันธ์ระหว่างเวลาในการสกัด (นาที) และกำลังไมโครเวฟ (วัตต์) ต่อปริมาณแอนโกลไซยานินที่ได้โดยทำการควบคุมความเข้มข้นของตัวทำละลายที่ 50 เปอร์เซ็นต์ พบร่วมพื้นที่ผิวตอบสนองแสดงการเปลี่ยนแปลงของปริมาณแอนโกลไซยานินเมื่อเวลาในการสกัดและกำลังไมโครเวฟมีค่าเพิ่มมากขึ้นจาก 1 – 9 นาที และ 300 – 600 วัตต์ ส่งผลทำให้มีค่าปริมาณแอนโกลไซยานินเพิ่มขึ้น จาก 150.26 mg/100g DW จนมีค่าสูงสุดที่ 193.84 mg/100g DW โดยค่าสีแดงดังภาพจะแสดงถึงปริมาณแอนโกลไซยานินที่สามารถสกัดได้สูงที่สุด



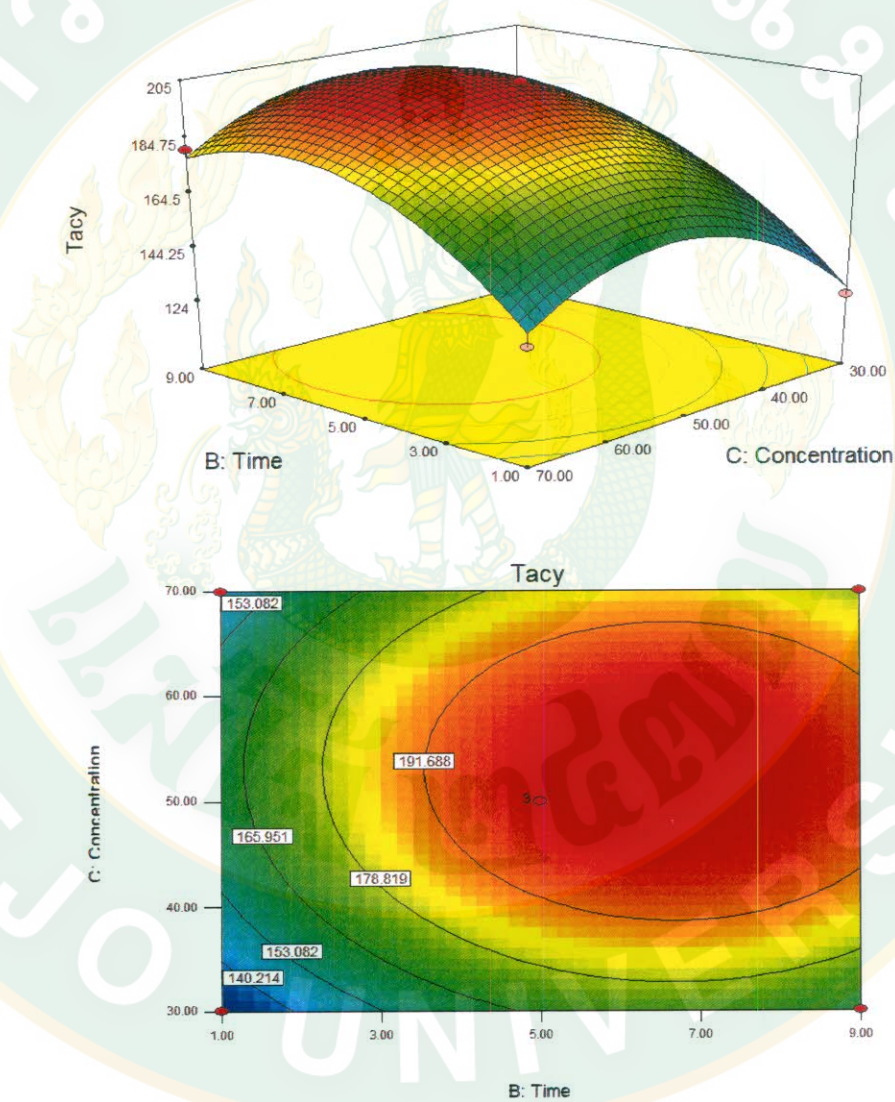
ภาพที่ 19 แสดงความสัมพันธ์ระหว่างเวลาในการสกัด (นาที) และกำลังไมโครเวฟ (วัตต์) ต่อปริมาณแอนโกลไซยานิน (ความเข้มข้นของตัวทำละลาย 50 เปอร์เซ็นต์ ผสมกรดซิตริกครึ่ง 3)

ภาพที่ 20 แสดงความสัมพันธ์ระหว่างความเข้มข้นของตัวทำละลาย (เปอร์เซ็นต์) และกำลังไมโครเวฟ (วัตต์) ต่อปริมาณแอนโกลไซยานินที่ได้โดยทำการควบคุมเวลาในการสกัด 5 นาที พบร่วมกับพื้นที่ผิวตอบสนองแสดงการเปลี่ยนแปลงของปริมาณแอนโกลไซยานินเมื่อความเข้มข้นของตัวทำละลายและกำลังไมโครเวฟมีค่าเพิ่มมากขึ้นจาก 30 – 50 เปอร์เซ็นต์ และ 300 – 450 วัตต์ ส่งผลทำให้มีค่าปริมาณแอนโกลไซยานินเพิ่มขึ้นจาก 154.13 mg/100g DW จนมีค่าสูงสุดที่ 192.50 mg/100g DW และมีปริมาณแอนโกลไซยานินลดลงจนเหลือ 182.93 mg/100g DW เมื่อมีค่าความเข้มข้นของตัวทำละลายและกำลังไมโครเวฟเพิ่มขึ้น



ภาพที่ 20 แสดงความสัมพันธ์ระหว่างความเข้มข้นของตัวทำละลาย (เปอร์เซ็นต์) ผสานกรดซิตริกร้อยละ 3 และกำลังไมโครเวฟ (วัตต์) ต่อปริมาณแอนโกลไซยานิน (เวลาในการสกัด 5 นาที)

ภาพที่ 21 แสดงความสัมพันธ์ระหว่างความเข้มข้นของตัวทำละลาย (เปอร์เซ็นต์) และเวลาในการสกัด (นาที) ต่อปริมาณแอนโกลไซยานินที่ได้โดยทำการควบคุมกำลังไมโครเวฟ 450 วัตต์ พบร่วมกับพื้นที่ผิวตอบสนองและการเปลี่ยนแปลงของปริมาณแอนโกลไซยานินเมื่อความเข้มข้นของตัวทำละลายและเวลาในการสกัดมีค่าเพิ่มมากขึ้นจาก 30 – 50 เปอร์เซ็นต์ และ 1 – 5 นาที ส่งผลทำให้มีค่าปริมาณแอนโกลไซยานินเพิ่มขึ้นจาก 140.21 mg/100g DW จนมีค่าสูงสุดที่ 191.69 mg/100g DW โดยค่าสีแดงดังภาพจะแสดงถึงปริมาณแอนโกลไซยานินที่สามารถสกัดได้สูงที่สุด



ภาพที่ 21 แสดงความสัมพันธ์ระหว่างความเข้มข้นของตัวทำละลาย (เปอร์เซ็นต์) ผสานการดูดซึบ
ร้อยละ 3 และเวลาในการสกัด (นาที) ต่อปริมาณแอนโกลไซยานิน (กำลังไมโครเวฟ 450 วัตต์)

จากราฟสามมิติและสองมิติที่แสดงผลของปริมาณแอนโloyานินต่อปัจจัยที่ใช้ในการสกัดทั้งสามปัจจัย ดังภาพที่ 19 - 21 แสดงให้เห็นว่าเมื่อ เวลาในการสกัด ความเข้มข้นของตัวทำละลาย และกำลังไมโครเวฟมีค่าสูงขึ้นจะส่งผลทำให้มีปริมาณแอนโloyานินเพิ่มมากขึ้นเนื่องจากความร้อนจากคลื่นไมโครเวฟส่งผลทำให้เซลล์ที่อยู่ในผงหม่อนเกิดการแตกตัวและสกัดสารแอนโloyานินออก มา ซึ่งงานวิจัยนี้ได้ทำการสกัดโดยใช้กรดซิตริกกรด 3 (Amelia et al., 2013) ผสมกับความเข้มข้นของตัวทำละลายเอทานอล 50 เปอร์เซ็นต์ เวลาในการสกัด 5 นาที กำลังไมโครเวฟ 450 วัตต์ ส่งผลทำให้สกัดแอนโloyานินออกมากได้มากกว่าการสกัดโดยใช้อุ่นหานอลเพียงอย่างเดียวเนื่องด้วยกรดซิตริกเป็นสารที่มีข้อและเป็นสารละลายໄออ่อนกิสามารถดูดซึมพลังงานจากไมโครเวฟได้มาก (ธนภัทร, 2560) อีกทั้งสารแอนโloyานินเป็นสารสีแดงที่มีค่าความเป็นกรด ซึ่งสอดคล้องกับงานวิจัยของ (Zhang et al., 2012) ใช้เวลาในการสกัด 5-7 นาที และความเข้มข้นของตัวทำละลายหรือเอทานอล 60 เปอร์เซ็นต์ และงานวิจัยของ (Garofulic et al., 2013) ใช้เวลาในการสกัด 6 - 9 นาที และกำลังไมโครเวฟ 400 วัตต์ ส่งผลทำให้มีการสกัดแอนโloyานินมากที่สุด แต่เมื่อทำการเพิ่มกำลังไมโครเวฟเวลาในการสกัด และความเข้มข้นของตัวทำละลายที่มีค่ามากกว่าสภาวะที่เหมาะสมจะส่งผลทำให้ปริมาณแอนโloyานินลดลง เพราะปริมาณแอนโloyานินที่อยู่ในผงหม่อนเมื่อโดนความร้อนเป็นเวลานานอาจเกิดการสลายตัวจนเกิดการเปลี่ยนแปลงเป็นสารอื่น

เมื่อทำการวิเคราะห์หาปริมาณแอนโloyานินแล้วเสร็จได้นำตัวอย่างที่ได้จากการสกัดมาทำการวิเคราะห์หาปริมาณฟีนอลิกและปริมาณสารต้านอนุมูลอิสระด้วยวิธีการทำลายอนุมูลอิสระ DPPH ความสามารถในการต้านอนุมูลอิสระของสารต้านอนุมูลอิสระ FRAP และการวิเคราะห์สารต้านอนุมูลอิสระด้วยการฟอกสี ABTS ซึ่งสามารถแสดงผลได้ดังในตารางที่ 7

การวิเคราะห์ปริมาณฟีโนลิกและสารต้านอนุมูลอิสระ

ตารางที่ 7 ผลการวิเคราะห์ปริมาณฟีโนลิกและสารต้านอนุมูลอิสระ

ตัวอย่าง	ฟีโนลิก (mgGAE/g)	DPPH (เปอร์เซ็นต์)	FRAP (mM Fe ²⁺ /g)	ABTS (mM/g)
1	21.96±1.07 ^{abc}	38.35±2.67 ^{defgh}	52.35±2.66 ^e	36.62±2.14 ^f
2	22.84±0.25 ^{abc}	35.94±2.54 ^{defgh}	61.41±1.61 ^d	35.84±1.21 ^f
3	24.41±0.86 ^{abc}	36.54±0.34 ^{defgh}	52.88±1.27 ^e	39.94±0.83 ^e
4	22.61±1.79 ^{abc}	39.70±4.17 ^{cde}	61.35±1.73 ^d	43.33±0.17 ^d
5	21.36±0.01 ^{bc}	33.38±1.46 ^h	66.01±0.31 ^c	44.78±1.54 ^{cd}
6	20.93±0.99 ^{bc}	38.80±0.93 ^{cdefgh}	60.88±1.27 ^d	48.29±2.31 ^b
7	20.01±1.73 ^c	34.44±3.31 ^{fgh}	59.41±2.18 ^d	42.29±0.70 ^{de}
8	24.16±2.14 ^{abc}	39.10±1.17 ^{cdefg}	61.95±1.39 ^d	48.29±0.07 ^b
9	21.39±3.07 ^{bc}	35.19±1.29 ^{efgh}	49.88±1.43 ^e	31.35±1.07 ^g
10	25.56±1.41 ^{ab}	40.90±1.41 ^{bcd}	65.75±2.77 ^c	46.39±1.00 ^{bc}
11	23.96±2.42 ^{abc}	33.83±2.91 ^{gh}	43.28±0.12 ^f	40.23±1.40 ^e
12	24.73±4.01 ^{abc}	40.00±2.69 ^{cde}	60.95±0.86 ^d	53.86±1.46 ^a
13	25.79±4.57 ^{ab}	45.89±2.83 ^{ab}	81.01±2.84 ^a	53.86±1.94 ^{ab}
14	25.56±1.28 ^{ab}	46.22±1.56 ^a	74.15±1.49 ^b	52.40±0.34 ^{ab}
15	27.24±2.67 ^a	44.14±1.44 ^{abc}	69.41±0.88 ^c	55.18±0.07 ^{ab}

หมายเหตุ ผลการวิเคราะห์ปริมาณฟีโนลิกและสารต้านอนุมูลอิสระที่มีตัวอักษรภาษาอังกฤษ

a,b,c แสดงถึงค่าที่มีความแตกต่างกันทางสถิติอย่างมีนัยสำคัญ ($p<0.05$)

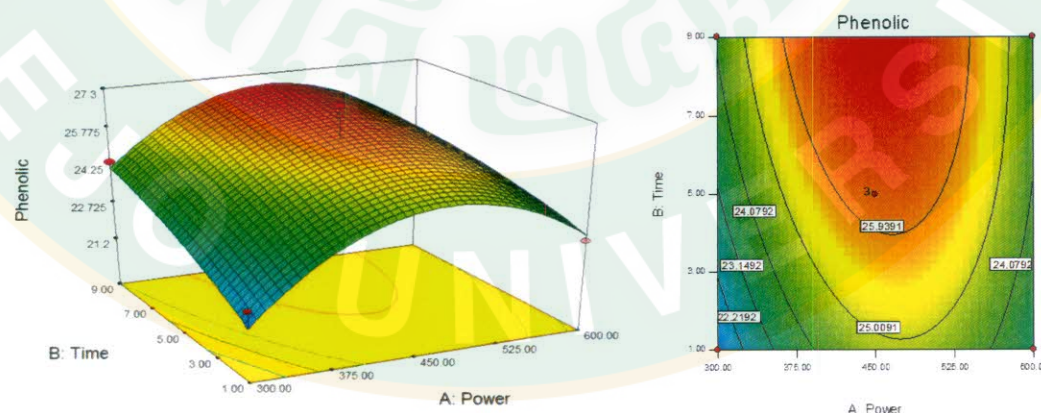
จากตารางที่ 7 พบว่าที่สภาวะการทดลองที่ 13 – 15 เป็นสภาวะการทดลองที่ส่งผลทำให้มีค่าฟีโนลิกและสารต้านอนุมูลมากที่สุด ที่กำลังไมโครเวฟ 450 วัตต์ เวลาในการสกัด 5 นาที และความเข้มข้นของตัวทำละลาย 50 เปอร์เซ็นต์ และในการวิเคราะห์สารต้านอนุมูลอิสระพบว่าวิธีดิวัช-

เพอร์ซิริกของสารต้านอนุมูล FRAP เป็นวิธีที่เหมาะสมแก่การตรวจสอบฤทธิ์ต้านอนุมูลอิสระซึ่งวิธีนี้แสดงให้เห็นว่ามีฤทธิ์ต้านอนุมูลอิสระมากกว่าวิธีอนุมูลอิสระด้วยการฟอกสี ABTS

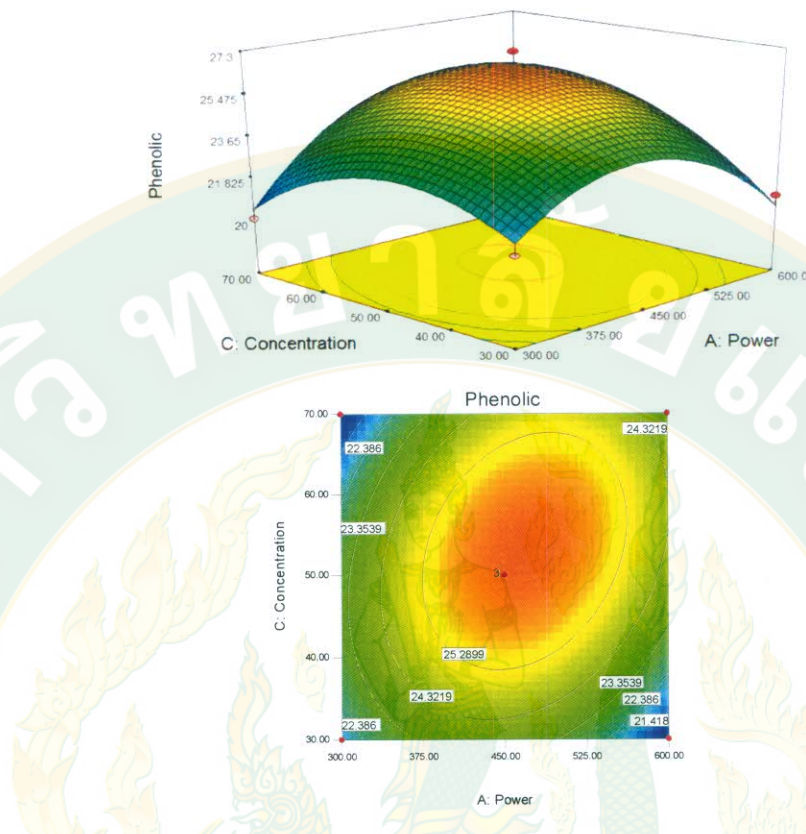
การวิเคราะห์หาปริมาณฟีโนลิก

ในการวิเคราะห์ปริมาณฟีโนลิกด้วย Folin-Ciocalteu reagent โดยใช้หลักการแตกตัวของฟีโนลิกเป็นโปรดอน และไอออนลบของ phenolate ซึ่งไอออนลบจะไปรีดิวช์ Folin-Ciocalteu reagent ได้เป็นสารละลายสีน้ำเงิน (วรรณนท์, 2557) เมื่อนำมาเทียบกับกราฟมาตรฐาน พบร้าจาก การสกัดสารด้วยวิธีไมโครเวฟร่วมที่สภาวะต่างๆ ทั้ง 15 สภาวะการทดลอง ดังตารางที่ 7 พบร้าจาก การวิเคราะห์ข้อมูลทางสถิติข้อมูลดังกล่าวไม่มีความแตกต่างกันทางสถิติอย่างมีนัยสำคัญที่ระดับความ เชื่อมั่น 0.05 ซึ่งมีปริมาณฟีโนลิกที่อยู่ใน peng หม่อนอบแห้งสูงสุดในช่วง 25.56 - 27.24 mgGAE/g ใน สภาวะการสกัดที่กำลังไมโครเวฟ 450 วัตต์ เวลาในการสกัด 5 นาที และความเข้มข้นของตัวทำ ละลาย 50 เปอร์เซ็นต์ และค่าต่ำสุด 20.01 mgGAE/g ที่กำลังไมโครเวฟ 300 วัตต์ เวลาในการสกัด 5 นาที และความเข้มข้นของตัวทำละลาย 70 เปอร์เซ็นต์ มีค่าใกล้เคียงกับงานวิจัยของ Nukrob et al.(2015) เรื่องการสกัดหาสารฟีโนลิกจากมะเกงโดยเทคนิคลีนไมโครเวฟโดยมีค่าปริมาณฟีโนลิก อยู่ในช่วง 57.39 – 75.57 mgGAE/g จากตารางที่ 7 สามารถนำวิเคราะห์หาสมการพหุนามกำลังสองได้ดังสมการที่ 4.2 และนำมาสร้างกราฟสามมิติและสองมิติได้ดังภาพที่ 22 – 24

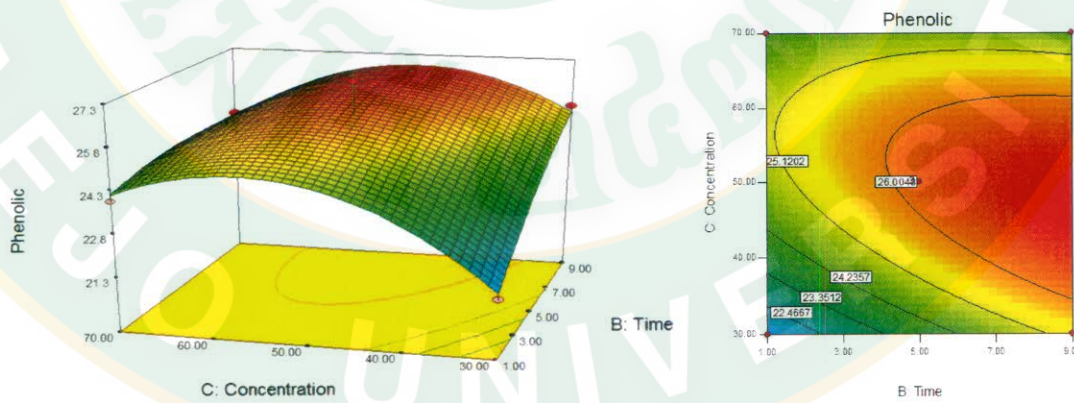
$$Y = -9.74 + 0.09X_1 + 1.32X_2 + 0.39X_3 - 7.02X_1X_2 + 3.81X_1X_3 \\ - 0.01X_2X_3 - 1.17X_1^2 - 0.02X_2^2 - 4.85X_3^2 \quad (4.2)$$



ภาพที่ 22 แสดงความสัมพันธ์ระหว่างเวลาในการสกัด (นาที) และกำลังไมโครเวฟ (วัตต์) ต่อปริมาณ ฟีโนลิก (ความเข้มข้นของตัวทำละลาย 50 เปอร์เซ็นต์ ผสมกรณดซิตริกร้อยละ 3)



ภาพที่ 23 แสดงความสัมพันธ์ระหว่างความเข้มข้นของตัวทำละลาย (เปอร์เซ็นต์) ผสมกรดซิตริก
ร้อยละ 3 ละกำลังไมโครเวฟ (วัตต์) ต่อปริมาณฟีโนลิก (เวลาในการสกัด 5 นาที)



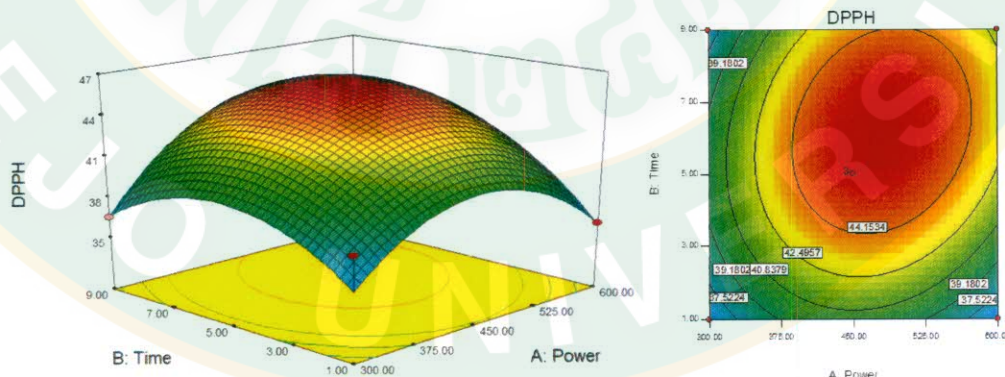
ภาพที่ 24 แสดงความสัมพันธ์ระหว่างความเข้มข้นของตัวทำละลาย(เปอร์เซ็นต์) ผสมกรดซิตริก
ร้อยละ 3 และเวลาในการสกัด (นาที) ต่อปริมาณฟีโนลิก (กำลังไมโครเวฟ 450 วัตต์)

การวิเคราะห์สารต้านอนุมูลอิสระ

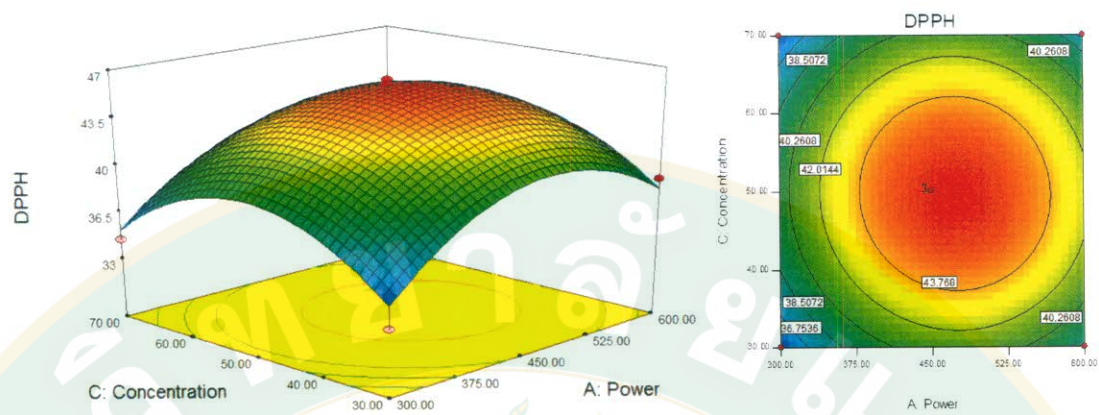
การวิเคราะห์สารต้านอนุมูลอิสระด้วยวิธีการทำลายอนุมูลอิสระ DPPH

การวิเคราะห์สารต้านอนุมูลอิสระด้วยวิธีนี้เป็นการศึกษาประสิทธิภาพของสารสกัดในการรวมตัวกับ DPPH ที่อยู่ในรูปอนุมูลอิสระที่เสถียรอยู่ในสารละลายน้ำโดย DPPH คือ อนุภาคอิสระที่เสถียรและสามารถรับอิเลคตรอนได้เมื่อได้รับอนุภาคจากไฮโดรเจนจากโมเลกุลอื่นจะทำให้เปลี่ยนเป็นโมเลกุลที่ไม่เป็นอนุมูลอิสระ (รัชฎาพร และคณะ 2554) ซึ่งผลการทำลายแสดงดังในตารางที่ 7 พบว่ามีปริมาณการยับยั้ง (% Inhibition in DPPH assay) มากสุดในช่วง 44.14 – 46.22 เปอร์เซ็นต์ ในสภาวะการสกัดที่ 13 - 15 กำลังไมโครเวฟ 450 วัตต์ เวลาในการสกัด 5 นาที และความเข้มข้นของตัวทำละลาย 50 เปอร์เซ็นต์ และสภาวะการสกัดที่ 5 มีปริมาณการยับยั้ง (% Inhibition in DPPH assay) ต่ำสุด 33.38 เปอร์เซ็นต์ ซึ่งมีค่าใกล้เคียงกับงานวิจัยของ รินิภา และคณะ (2557) เรื่องการประเมินพื้นออลและฤทธิ์ต้านอนุมูลอิสระในน้ำผลไม้แปรรูปในจังหวัดจันทบุรี ที่มีค่าปริมาณการยับยั้ง (% Inhibition in DPPH assay) ในน้ำมังคุดสูงสุด 56.71 เปอร์เซ็นต์ และต่ำสุด 26.37 เปอร์เซ็นต์ จากการวิเคราะห์ข้อมูลทางสถิติพบว่าไม่มีความแตกต่างกันทางสถิติอย่างมีนัยสำคัญที่ระดับความเชื่อมั่น 0.05 ซึ่งจากข้อมูลในข้างต้นสามารถนำมาวิเคราะห์หาสมการพหุนามกำลังสองได้ดังสมการที่ 4.3 และนำมาสร้างกราฟสามมิติและสองมิติได้ดังภาพที่ 25 – 27

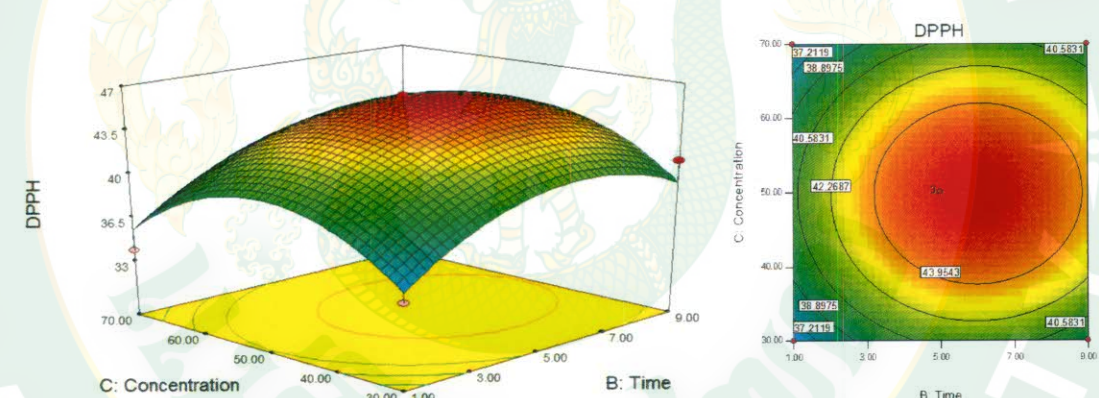
$$Y = -29.96 + 0.18X_1 + 1.42X_2 + 1.16X_3 + 2.32X_1X_2 - 6.27X_1X_3 \\ + 1.41X_2X_3 - 1.96X_1^2 - 0.21X_2^2 - 0.01X_3^2 \quad (4.3)$$



ภาพที่ 25 แสดงความสัมพันธ์ระหว่างเวลาในการสกัด (นาที) และกำลังไมโครเวฟ (วัตต์) ต่อวิธีการทำลายอนุมูลอิสระ DPPH (ความเข้มข้นของตัวทำละลาย 50 เปอร์เซ็นต์ (ผสมกรดซิตริกกรด 3)



ภาพที่ 26 แสดงความสัมพันธ์ระหว่างความเข้มข้นของตัวทำละลาย (เปอร์เซ็นต์) ผสมกรดซิติริก
ร้อยละ 3 และกำลังไมโครเวฟ (วัตต์) ต่อวิธีการทำลายอนุมูลอิสระ DPPH
(เวลาในการสกัด 5 นาที)

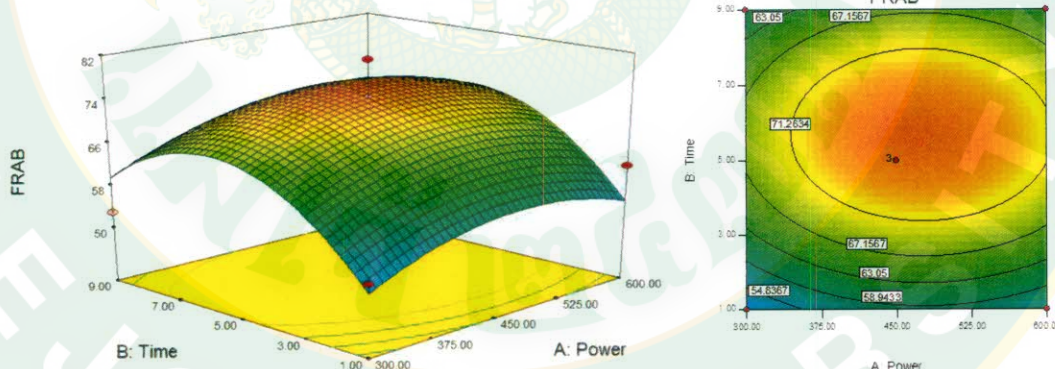


ภาพที่ 27 แสดงความสัมพันธ์ระหว่างความเข้มข้นของตัวทำละลาย (เปอร์เซ็นต์) ผสมกรดซิติริกร้อย
ละ 3 และเวลาในการสกัด (นาที) ต่อวิธีการทำลายอนุมูลอิสระ DPPH
(กำลังไมโครเวฟ 450 วัตต์)

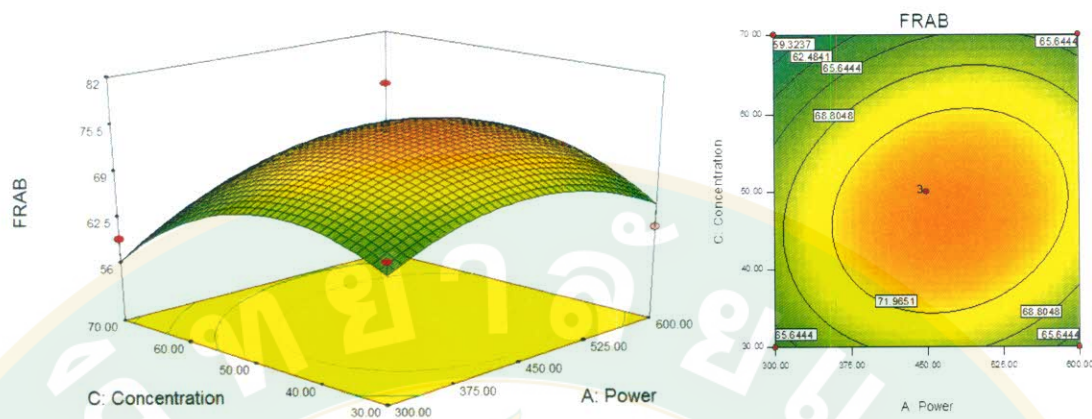
การวิเคราะห์ความสามารถในการรีดิวช์เฟอร์ริกของสารต้านอนุมูลอิสระ FRAP

การวิเคราะห์สารต้านอนุมูลอิสระด้วยวิธี FRAP เป็นการวิเคราะห์โดยใช้สารประกอบเชิงซ้อนของเหล็กเพอร์เซี่ยม Fe^{2+} กับ TPTZ ซึ่งเมื่อได้รับอิเล็กตรอนจากสารต้านออกซิเดชันในสารสกัดจากผงหม่อนจะเปลี่ยนไปอยู่ในรูปของสารประกอบเชิงซ้อนของเหล็กเพอร์โซล Fe^{2+} กับ TPTZ ซึ่งมีสีน้ำเงิน (รัชฎาพร และคณะ 2554): โดยทำการเทียบกับกราฟมาตรฐานเพอร์โซลเฟอร์ (FeSO_4) จากการทดลองในการวิเคราะห์สารสกัดพบว่า ที่สภาวะกำลังไมโครเวฟ 450 วัตต์ เวลาในการสกัด 5 นาที และความเข้มข้นของตัวทำละลาย 50 เปอร์เซ็นต์ ส่งผลทำให้มีความสามารถในการรีดิวช์เฟอร์ริกของสารต้านอนุมูลอิสระมากที่สุด $81.01 \text{ mM Fe}^{2+}/\text{g}$ และต่ำที่สุด $49.88 \text{ mM Fe}^{2+}/\text{g}$ ที่สภาวะกำลังไมโครเวฟ 450 วัตต์ เวลาในการสกัด 1 นาที และความเข้มข้นของตัวทำละลาย 30 เปอร์เซ็นต์จากการวิเคราะห์ข้อมูลทางสถิติพบว่าข้อมูลมีความแตกต่างกันทางสถิติอย่างมีนัยสำคัญที่ระดับความเชื่อมั่น 0.05 ดังตารางที่ 7 สามารถนำมารวิเคราะห์หาสมการพหุนามกำลังสองได้ดังสมการที่ 4.4 และสร้างกราฟสามมิติและสองมิติได้ดังภาพที่ 28 – 30

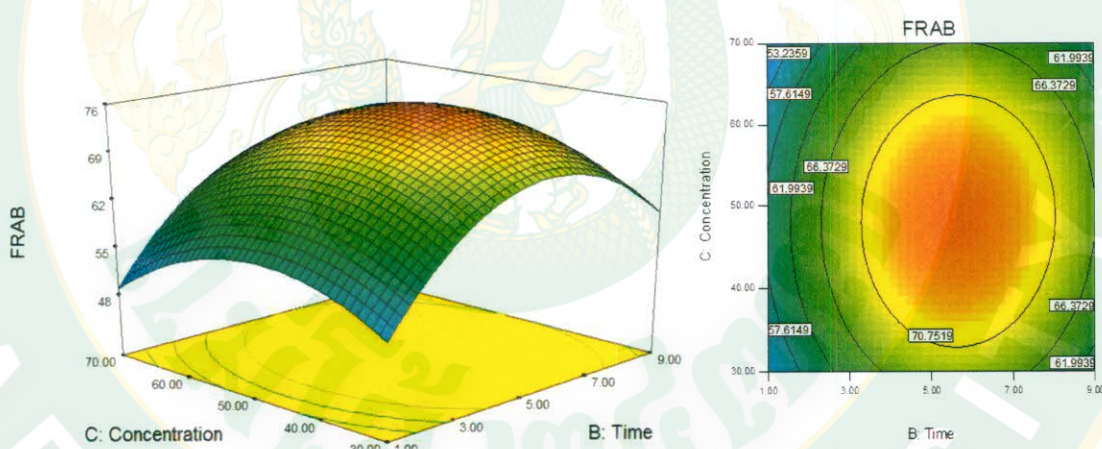
$$Y = -29.80 + 0.17X_1 + 8.69X_2 + 1.43X_3 - 2.50X_1X_2 + 6.39X_1X_3 \\ + 5.62X_2X_3 - 2.39X_1^2 - 0.78X_2^2 - 0.02X_3^2 \quad \dots\dots (4.4)$$



ภาพที่ 28 แสดงความสัมพันธ์ระหว่างเวลาในการสกัด (นาที) และกำลังไมโครเวฟ (วัตต์) ต่อความสามารถในการรีดิวช์เฟอร์ริกของสารต้านอนุมูลอิสระ FRAP (ความเข้มข้นของตัวทำละลาย 50 เปอร์เซ็นต์ ผสมกรดซิตริกกรด 3)



ภาพที่ 29 แสดงความสัมพันธ์ระหว่างความเข้มข้นของตัวทำละลาย (เปอร์เซ็นต์) ผสมกรดซิตริก
ร้อยละ 3 และกำลังไมโครเวฟ (วัตต์) ต่อความสามารถในการรีดิวช์เฟอร์ริคของ
สารต้านอนุมูลอิสระ FRAP (เวลาในการสกัด 5 นาที)

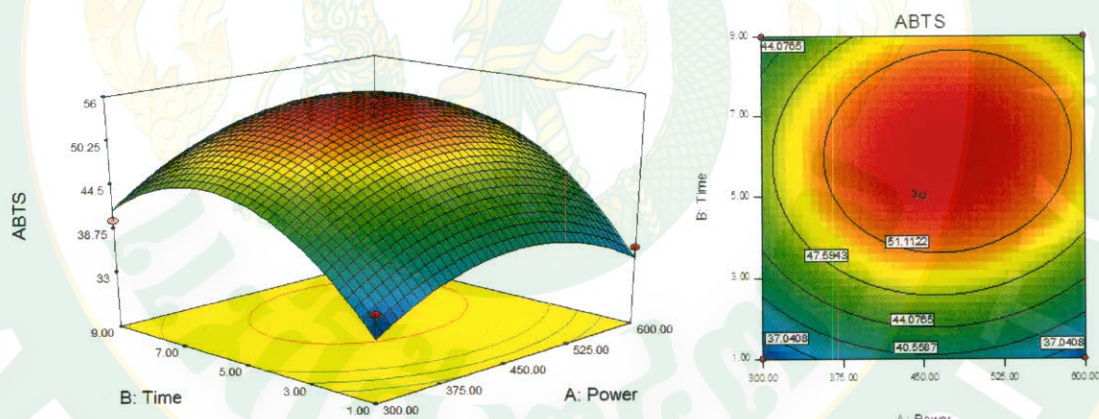


ภาพที่ 30 แสดงความสัมพันธ์ระหว่างความเข้มข้นของตัวทำละลาย (เปอร์เซ็นต์) ผสมกรดซิตริก
ร้อยละ 3 และเวลาในการสกัด (นาที) ต่อความสามารถในการรีดิวช์เฟอร์ริค
ของสารต้านอนุมูลอิสระ FRAP (กำลังไมโครเวฟ 450 วัตต์)

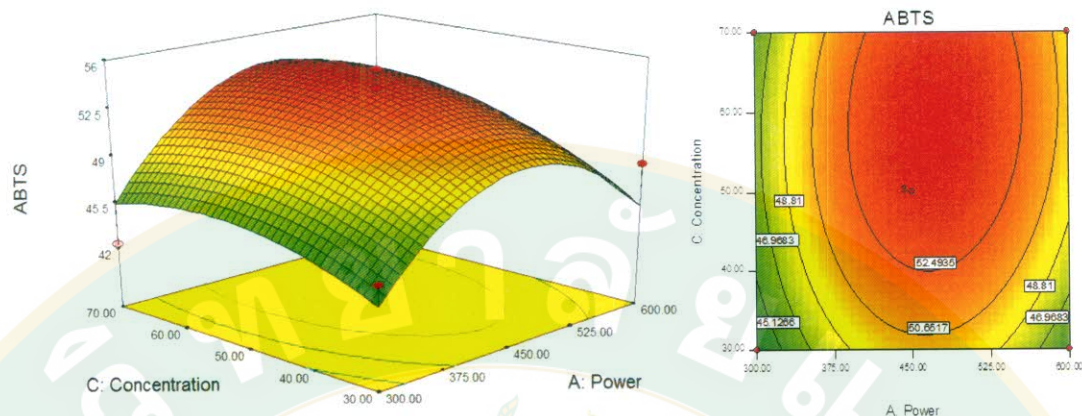
การวิเคราะห์สารต้านอนุมูลอิสระด้วยการฟอกสี ABTS

เป็นการวิเคราะห์โดย ABTS จะถูกเปลี่ยนเป็นอนุมูลอิสระเมื่อทำการผสมกับโซเดียมเปอร์ซัลเฟต ($K_2S_2O_8$) โดยทำการปรับเทียบกับกราฟมาตรฐาน Trolox จากตารางที่ 7 แสดงให้เห็นว่า การทดลองที่ 13 - 15 ที่สภาวะกำลังไมโครเวฟ 450 วัตต์ เวลาในการสกัด 5 นาที และความเข้มข้นของตัวทำละลาย 50 เปอร์เซ็นต์ มีความสามารถในการต้านอนุมูลอิสระได้มากที่สุด ในช่วง 52.40 - 55.18 mM/g และการทดลองที่ 9 มีความสามารถในการต้านอนุมูลอิสระได้ต่ำสุด 31.35 mM/g ที่ สภาวะ กำลังไมโครเวฟ 450 วัตต์ เวลาในการสกัด 1 นาที และความเข้มข้นของตัวทำละลาย 30 เปอร์เซ็นต์ และจากการวิเคราะห์ข้อมูลทางสถิติพบว่าข้อมูลไม่มีความแตกต่างกันทางสถิติอย่างมีนัยสำคัญที่ระดับความเชื่อมั่น 0.05 จากตารางที่ 7 สามารถนำวิเคราะห์หาสมการพหุนามกำลังสองได้ดังสมการที่ 4.5 และสร้างกราฟสามมิติและสองมิติได้ดังภาพที่ 31 – 33

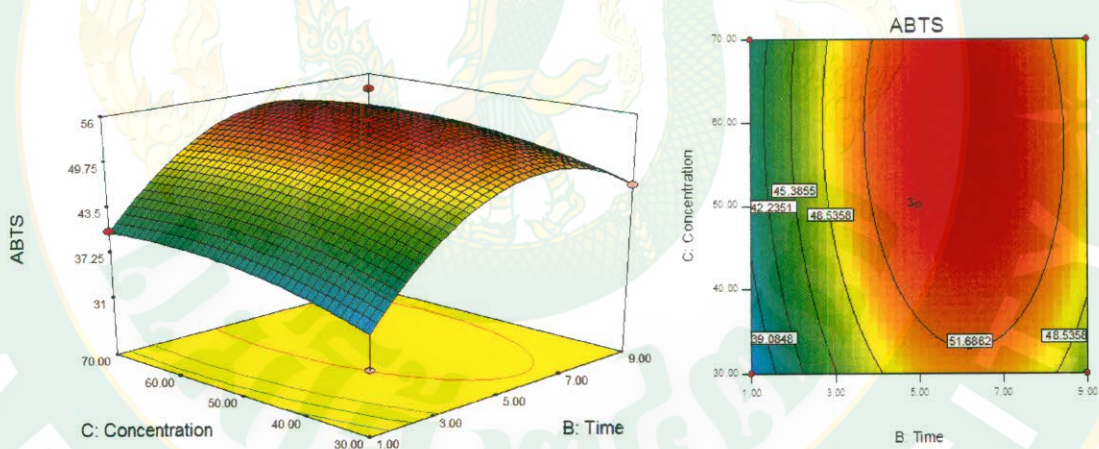
$$Y = -33.47 + 0.23X_1 + 6.25X_2 + 0.50X_3 + 1.74X_1X_2 + 2.08X_1X_3 \\ - 4.43X_2X_3 - 2.65X_1^2 - 0.56X_2^2 - 4.84X_3^2 \quad \dots\dots (4.5)$$



ภาพที่ 31 แสดงความสัมพันธ์ระหว่างเวลาในการสกัด (นาที) และกำลังไมโครเวฟ (วัตต์) ต่อสารต้านอนุมูลอิสระด้วยการฟอกสี ABTS (ความเข้มข้นของตัวทำละลาย 50 เปอร์เซ็นต์ ผสมกรดซิตริก ร้อยละ 3)



ภาพที่ 32 แสดงความสัมพันธ์ระหว่างความเข้มข้นของตัวทำละลาย (เปอร์เซ็นต์) ผสมกรดซิตริก
ร้อยละ 3 และกำลังไมโครเวฟ (วัตต์) ต่อสารต้านอนุมูลอิสระด้วยการฟอกสี ABTS
(เวลาในการสกัด 5 นาที)



ภาพที่ 33 แสดงความสัมพันธ์ระหว่างความเข้มข้นของตัวทำละลาย(เปอร์เซ็นต์) ผสมกรดซิตริก
ร้อยละ 3 และเวลาในการสกัด (นาที) ต่อสารต้านอนุมูลอิสระด้วยการฟอกสี ABTS
(กำลังไมโครเวฟ 450 วัตต์)

การอบแห้งแบบพ่นฟอยเพื่อศึกษาความคงตัวของผงสีแอนโกลไชyanin

หลังจากสกัดสารแอนโกลไชyanin จากผลหม่อนและทำการวิเคราะห์ปริมาณฟินอลิกและสารต้านอนุมูลอิสระด้วยการออกแบบการทดลองพื้นที่ผิวนอกบสนองแบบ BBD พบร้า สาระที่กำลังไม่โครเพฟ 450 วัตต์ เวลาในการสกัด 5 นาที ความเข้มข้นของตัวทำละลาย 50 เปอร์เซ็นต์ เป็นสาระที่ส่งผลทำให้มีแอนโกลไชyanin ปริมาณฟินอลิก และ ความสามารถในการรีดิวซ์เฟอร์ริกของสารต้านอนุมูลอิสระ FRAB มากที่สุด ดังนั้นจึงได้ทำการเลือกสาระดังกล่าวมาทำการอบแห้งแบบพ่นฟอยเพื่อผลิตเป็นผงสีแอนโกลไชyanin

กระบวนการผลิตผงสีแอนโกลไชyaninด้วยเครื่องอบแห้งแบบพ่นฟอย

ในการผลิตผงสีแอนโกลไชyanin จากผลหม่อนเริ่มจากการนำน้ำสกัดที่ได้จากขันตอนในข้างต้นมาเข้าสู่เครื่องระเหยแบบสูญญากาศ เพื่อทำการปรับความเข้มข้นน้ำสกัดจาก 2 – 3 องศาบริกซ์ ให้มีความเข้มข้นประมาณ 20 องศาบริกซ์ จากนั้นใส่เมล็ดเต็กตัน 15 เปอร์เซ็นต์ และเข้าสู่เครื่องอบแห้งพ่นฟอยโดยทำการอบแห้งที่ อุณหภูมิลมร้อนขาเข้า 160 องศาเซลเซียส ปี๊ม 15 เปอร์เซ็นต์ และ Aspirator 100 เปอร์เซ็นต์ ได้ปริมาณผงสี (Yield) 17.85 เปอร์เซ็นต์



ภาพที่ 34 ผงสีแอนโกลไชyanin

จากภาพที่ 34 ได้นำผงสีที่ได้จากการอบแห้งแบบพ่นฟอยมาวิเคราะห์หาค่าอว托ร์แอคติวิตี้ และค่าสี จากการวิเคราะห์พบว่า ผงสีมีค่าอว托ร์แอคติวิตี้ 0.14 ค่า L* 47.43 ซึ่งมีค่า a* 30.52 และ b* 4.41 ซึ่งค่า L* เป็นค่าสีทางบวกแสดงถึงค่าความสว่าง a* แสดงถึงค่าสีแดงและ b* แสดงถึงค่าสีเหลือง เนื่องจากทราบค่า L* a* b* สามารถคำนวณหาค่า Chroma ที่แสดงถึงความอิ่มตัวของสี และ Hue angle ที่แสดงถึงตำแหน่งของสี ได้จากการที่ 2.2 และ 2.3 โดยมีค่า Chroma 30.84 และ Hue angle จะมีค่า 8.22 องศา ซึ่งแสดงถึงค่าสีม่วงแดงถึงสีส้ม จากผงสีที่ได้จะนำไปประยุกต์เป็นอาหารเสริมอัดเม็ดจากผงหม่อนต่อไป

การศึกษาجونพลศาสตร์และความคงตัวของpigmentในโถไชยานิน

จากการกระบวนการสักดัดและการอบแห้งแบบพ่นฟอยจะได้pigmentในโถไชยานินโดยจะทำการศึกษาjohnพลศาสตร์และความคงตัวของpigmentในโถไชยานินเพื่อดูอายุการเก็บรักษาที่อุณหภูมิ 25 45 และ 55 องศาเซลเซียส ซึ่งจะทำการศึกษาอัตราปฏิกิริยาการสลายตัวของแอนโถไชยานินและค่าครึ่งชีวิตเป็นแบบปฏิกิริยาอันดับที่ 1 (ศุทธินี, 2556)

อัตราปฏิกิริยาการสลายตัวของแอนโถไชยานินและค่าครึ่งชีวิต

ในการศึกษาการหาอัตราการสลายตัวและค่าครึ่งชีวิตสามารถแสดงผลการทดลองได้ ดังภาพที่ 35 แสดงถึงระยะเวลาในการเก็บรักษาpigmentในโถไชยานินที่มีผลต่อปริมาณแอนโถไชยานินที่ทำการศึกษาอุณหภูมิ 25 45 และ 55 องศาเซลเซียส ซึ่งจากราฟจะแสดงให้เห็นว่าเมื่อเพิ่มระยะเวลาในการเก็บรักษาจาก 0 สัปดาห์ ถึง 10 สัปดาห์ ส่งผลทำให้มีปริมาณแอนโถไชยานินลดลง ในทุกๆ อุณหภูมิ โดยที่ปริมาณสารตั้งต้นหรือปริมาณแอนโถไชยานินเริ่มต้นที่อุณหภูมิ 25 45 และ 55 องศาเซลเซียส มีค่า 100 เปอร์เซ็นต์ และเมื่อระยะเวลาผ่านไปส่งผลทำให้ปริมาณแอนโถไชยานินมีค่าลดลงเหลือ 87.34, 47.34 และ 33.19 เปอร์เซ็นต์ ตามลำดับ และจากราฟแสดงให้เห็นว่าเมื่อทำการเพิ่มอุณหภูมิจะส่งผลทำให้ปริมาณแอนโถไชยานินมีปริมาณลดลงเนื่องจากอุณหภูมิส่งผลทำให้โครงสร้างของแอนโถไชยานินเกิดการเปลี่ยนแปลงโดยที่การเพิ่มอุณหภูมิจะส่งผลทำให้เกิดการเร่งการเกิดปฏิกิริยาไฮโดรไลเซชัน (Hydrolyzation) ของ Glycoside ทำให้ Flavyliumcation เกิดการเปลี่ยนแปลงโครงสร้างเป็น Chalcone ซึ่งเป็นโครงสร้างที่มีความคงตัวน้อย (Laleh et al., 2006) จึงส่งผลทำให้มีปริมาณแอนโถไชยานินลดลง ซึ่งสอดคล้องกับงานวิจัย (ศุทธินี, 2556) ทำการศึกษาความคงตัวของสารแอนโถไชยานินในสารสักดัดสารลูกหม่อน พบว่าเมื่อเพิ่มอุณหภูมิส่งผลทำให้มีการสลายตัวของสารแอนโถไชยานินลดลงเช่นเดียวกัน



ภาพที่ 35 กราฟแสดงความสัมพันธ์ระหว่างระยะเวลาของการเก็บรักษาต่อปริมาณแอนโถไชยานิน

จากข้อมูลในภาพที่ 35 สามารถนำมาร้านวณหาค่าอัตราปฏิกิริยาการสลายตัวของแอนโนไซน์และค่าครึ่งชีวิตได้ดังตารางที่ 8

ตารางที่ 8 ค่าการเกิดปฏิกิริยาการสลายตัวของผงสีแอนโนไซน์จากผลหม่อน

อุณหภูมิ (องศาเซลเซียส)	$k \times 10^{-3}$	$t_{1/2}$ (สัปดาห์)	Pigment retention (เปอร์เซ็นต์)
25	13.5	51.34	87.35
45	75	9.24	47.04
55	135	5.13	33.81
35		$Q_{10} = 16.64$ สัปดาห์	

จากตารางที่ 8 พบร่วมกันว่าเมื่อทำการเพิ่มอุณหภูมิการเก็บรักษาของผงสีแอนโนไซน์จากผลหม่อนที่ 25 45 และ 55 องศาเซลเซียส ส่งผลทำให้อัตราการสลายตัวของผงสีแอนโนไซน์เพิ่มมากขึ้นเมื่ออุณหภูมิมีค่าสูงขึ้นจาก 13.5 ที่อุณหภูมิ 25 องศาเซลเซียส เป็น 135 องศาเซลเซียส ที่อุณหภูมิ 55 องศาเซลเซียส หรือมีค่าเพิ่มขึ้น 10 เท่า เนื่องจากการเร่งอุณหภูมิเป็นการเร่งการเกิดปฏิกิริยาของผงสีแอนโนไซน์จึงส่งผลทำให้มีอัตราการสลายตัวสูงกว่าที่อุณหภูมิต่ำและเมื่อทำการวิเคราะห์อัตราการสลายตัวของผงสีแอนโนไซน์ (k) สามารถนำมาคำนวณหาค่าครึ่งชีวิตได้จากสมการ 3.7 ซึ่งสามารถแสดงผลได้ดังตารางที่ 8 พบร่วมกันว่า เมื่ออัตราการสลายตัวของผงสีแอนโนไซน์และอุณหภูมิมีค่าเพิ่มมากขึ้นส่งผลทำให้ค่าครึ่งชีวิตมีค่าลดลงจาก 51.34 สัปดาห์ เหลือเพียง 5.13 สัปดาห์ และการเพิ่มอุณหภูมิส่งผลทำให้ค่าสีของผงสีแอนโนไซน์มีค่าลดลงจาก 87.35 เปอร์เซ็นต์ เหลือเพียง 33.81 เปอร์เซ็นต์ หรือลดลง 61.29 เปอร์เซ็นต์ ซึ่งสอดคล้องกับงานวิจัยของ (กฤตินาภี และคณะ 2553) ที่ทำการศึกษาการประเมินอายุการเก็บรักษาของสารป้องกันการเกะดีโดยใช้วิธีสภาพะเร่งอุณหภูมิ 35 45 และ 55 องศาเซลเซียส พบร่วมกันว่า การเพิ่มอุณหภูมิส่งผลทำให้เกิดการเร่งของปฏิกิริยาทำให้เกิดปฏิกิริยาได้ดีกว่าที่อุณหภูมิต่ำ

จากตารางที่ 8 ได้นำข้อมูลค่าครึ่งชีวิต ($t_{1/2}$) ที่อุณหภูมิ 45 และ 55 องศาเซลเซียส มาทำการคำนวณอายุการเก็บรักษาด้วยวิธีแบบสภาพะเร่งด้วยการคำนวณหาค่า Q_{10} ซึ่งจากการคำนวณพบร่วมกันว่าค่าที่ได้มีค่า 16.64 สัปดาห์

การศึกษาพลังงานกระตุ้นโดยสมการอาร์เรเนียส



ภาพที่ 36 ค่า $\ln(C_t/C_0)$ ของปริมาณแอนโ陶ไซดานินต่ออุณหภูมิที่มีผลกับระยะเวลาในการเก็บรักษาผงหม่อน

จากภาพที่ 36 เป็นกราฟแสดงความสัมพันธ์ค่า $\ln(C_t/C_0)$ ของปริมาณแอนโ陶ไซดานินต่ออุณหภูมิ (25 45 และ 55 องศาเซลเซียส) ที่มีผลกับระยะเวลาในการเก็บรักษาผงหม่อนโดยจะนำสมการที่ได้ในแต่ละอุณหภูมิมาพล็อตกราฟความสำพันธ์ระหว่าง $\ln k$ กับ อุณหภูมิ ($1/T$) เพื่อคำนวณหาค่าพลังงานกระตุ้น (E_a) ดังภาพที่ 38



ภาพที่ 37 การถลายตัวของปริมาณแอนโ陶ไซดานินจากผงหม่อนระหว่างการให้ความร้อนที่อุณหภูมิ 25 45 และ 55 องศาเซลเซียส

จากภาพที่ 37 ความชัดของกราฟที่ได้คือค่าพลังงานกระตุ้น (E_a) โดยสามารถคำนวณได้จากสมการที่ 3.9 เมื่อคำนวณหาค่าพลังงานกระตุ้นพบว่าห้องสามอุณหภูมิมีค่าพลังงานกระตุ้น 3.12 kJ/mol K และมีค่า $R^2 = 99.21$ ซึ่งแสดงถึงพลังงานต่ำสุดที่ใช้ในการเกิดปฏิกิริยาการถลายตัวของแอนโ陶ไซดานินจากผงหม่อน

การวิเคราะห์คุณสมบัติของผงสีแอนโทไชยานินจากผลหม่อน

การวิเคราะห์คุณสมบัติค่าวอเตอร์แอคติวิตี้ (Water activity)

ตารางที่ 9 ผลการวิเคราะห์คุณสมบัติค่าวอเตอร์แอคติวิตี้ (Water activity) ของผงสีแอนโทไชยานินจากผลหม่อนอุณหภูมิต่างๆ

อุณหภูมิ (องศาเซลเซียส)	สักดาห์	วอเตอร์แอคติวิตี้
25	0	0.17 ± 0.004^a
	2	0.22 ± 0.002^c
	4	0.20 ± 0.002^b
	6	0.19 ± 0.002^b
	8	0.19 ± 0.007^b
	10	0.19 ± 0.006^b
45	0	0.17 ± 0.004^a
	2	0.21 ± 0.003^c
	4	0.20 ± 0.002^b
	6	0.21 ± 0.002^b
	8	0.27 ± 0.008^d
55	10	0.30 ± 0.002^e
	0	0.17 ± 0.004^a
	2	0.22 ± 0.001^b
	4	0.26 ± 0.007^d
	6	0.25 ± 0.003^d
	8	0.23 ± 0.011^{bc}
	10	0.23 ± 0.005^c

หมายเหตุ ผลการวิเคราะห์คุณสมบัติค่าการดูดความชื้นกลับของผงสีแอนโทไชยานินจากผลหม่อนที่อุณหภูมิต่างๆ ที่มีตัวอักษรภาษาอังกฤษ a,b,c แสดงถึงค่าที่มีความแตกต่างกันทางสถิติอย่างมีนัยสำคัญ ($p < 0.05$)

การวิเคราะห์คุณสมบัติการดูดความชื้นกลับ (Hygroscopicity)

ตารางที่ 10 ผลการวิเคราะห์คุณสมบัติค่าการดูดความชื้นกลับ (Hygroscopicity) ของผงสีแอนโกล่าไซ-

ยานินจากผลหม่อนที่อุณหภูมิต่างๆ

อุณหภูมิ (องศาเซลเซียส)	สีปдан๊ะ	การดูดความชื้นกลับ (เปอร์เซ็นต์)
0		29.94 ± 0.02 ^f
2		29.77 ± 0.04 ^e
4		29.52 ± 0.06 ^d
6		25.44 ± 0.03 ^c
8		22.18 ± 0.10 ^b
10		18.95 ± 0.04 ^a
0		29.94 ± 0.04 ^e
2		34.18 ± 0.06 ^f
4		28.04 ± 0.04 ^d
6		27.11 ± 0.04 ^c
8		19.19 ± 0.05 ^b
10		13.47 ± 0.04 ^a
0		29.94 ± 0.04 ^f
2		36.36 ± 0.03 ^e
4		27.33 ± 0.03 ^d
6		24.64 ± 0.03 ^c
8		19.92 ± 0.05 ^b
10		10.43 ± 0.01 ^a

หมายเหตุ ผลการวิเคราะห์คุณสมบัติค่าการดูดความชื้นกลับของผงสีแอนโกล่าไซyanin จากผลหม่อนที่ อุณหภูมิต่างๆ ที่มีตัวอักษรภาษาอังกฤษ a,b,c และ d แสดงถึงค่าที่มีความแตกต่างกันทางสถิติ อย่างมีนัยสำคัญ ($p < 0.05$)

การวิเคราะห์คุณสมบัติความสามารถในการละลาย (Solubility)

ตารางที่ 11 ผลการวิเคราะห์คุณสมบัติค่าความสามารถในการละลาย Solubility ของผงสีแอนโทไซ-

ยานินจากผลหม่อนที่อุณหภูมิต่างๆ

อุณหภูมิ (องศาเซลเซียส)	สัปดาห์	ความสามารถในการละลาย (เปอร์เซ็นต์)
25	0	99.63 ± 0.00 ^a
	2	99.60 ± 0.04 ^b
	4	99.07 ± 0.23 ^c
	6	98.86 ± 0.15 ^{cd}
	8	98.42 ± 0.15 ^f
	10	98.61 ± 0.10 ^{de}
45	0	99.52 ± 0.05 ^a
	2	99.61 ± 0.01 ^a
	4	99.42 ± 0.05 ^a
	6	98.62 ± 0.26 ^b
	8	98.40 ± 0.38 ^b
	10	98.84 ± 0.20 ^b
55	0	99.55 ± 0.00 ^a
	2	99.61 ± 0.04 ^a
	4	99.47 ± 0.06 ^{ab}
	6	99.22 ± 0.00 ^b
	8	98.94 ± 0.03 ^c
	10	98.71 ± 0.25 ^c

หมายเหตุ ผลการวิเคราะห์คุณสมบัติค่าความสามารถในการละลาย ของผงสีแอนโทไซานินจากผล
หม่อนที่อุณหภูมิต่างๆที่มีตัวอักษรภาษาอังกฤษ a,b,c แสดงถึงค่าที่มีความแตกต่างกันทาง
สถิติอย่างมีนัยสำคัญ ($p<0.05$)

จากการที่ 9 พบร้า ที่อุณหภูมิ 25 และ 55 องศาเซลเซียส ค่าวาอเตอร์แอคติวิตี้มีค่าลดลง เมื่อมีการเพิ่มระยะเวลาในการเก็บรักษาโดยมีค่าต่ำสุด 0.17 และสูงสุด 0.22 และ 0.26 ตามลำดับ แต่ที่อุณหภูมิ 45 องศาเซลเซียส พบร้า เมื่อทำการเพิ่มระยะเวลาในการเก็บรักษาผงสีส่งผลทำให้มีค่าความชื้นเพิ่มมากขึ้นจาก 0.17 ในสัปดาห์ที่ 0 จนถึงสัปดาห์ที่ 10 มีค่า 0.30 เนื่องจากผงสีมีความแห้งมากและเมื่อโดนอากาศหรือความชื้นจากภายนอกส่งผลทำให้ความชื้นดูดกลับเข้าไปยังตัวผงสี และจากการวิเคราะห์ข้อมูลทางสถิติพบว่าที่อุณหภูมิ 25 45 และ 55 องศาเซลเซียส ค่าวาอเตอร์แอคติวิตี้มีความแตกต่างกันทางสถิติอย่างมีนัยสำคัญที่ระดับความเชื่อมั่น 0.05 ซึ่งสอดคล้องกับงานวิจัยของ Ee, Bakar et al. (2014) ทำการศึกษาคุณสมบัติทางกายภาพและทางเคมีในการอบแห้งแบบพ่นฝอยของเปลือกแก้วมังกรและทำการเก็บรักษาที่อุณหภูมิ 45 องศาเซลเซียส และอุณหภูมิห้อง ส่งผลทำให้มีค่าวาอเตอร์แอคติวิตี้ลดลงที่อุณหภูมิ 45 องศาเซลเซียส และมีค่าเพิ่มขึ้นที่อุณหภูมิห้อง เมื่อทำการเพิ่มระยะเวลาในการเก็บรักษา

จากการที่ 10 เป็นการวิเคราะห์ค่าการดูดความชื้นกลับพบว่าสภาวะในการเก็บรักษาที่อุณหภูมิ 25 45 และ 55 องศาเซลเซียส ส่งผลทำให้มีการดูดความชื้นกลับลดลงทุกอุณหภูมิ โดยเริ่มจากสัปดาห์ที่ 0 มีค่า 29.94 เปอร์เซ็นต์ ลดลงเหลือเพียง 18.95 13.47 และ 10.43 เปอร์เซ็นต์ ตามลำดับ ซึ่งจากข้อมูลข้างต้นพบว่าที่อุณหภูมิ 55 องศาเซลเซียส มีค่าลดลงมากที่สุดคือ 65.16 เปอร์เซ็นต์ แต่เมื่อนำมาเปรียบเทียบกับงานวิจัยของ Ee, Bakar et al. (2014) พบร้าเมื่อเพิ่มระยะเวลาในการเก็บรักษาจะส่งผลทำให้มีค่าการดูดความชื้นกลับเพิ่มมากขึ้นในอุณหภูมิที่ 45 องศาเซลเซียส และที่อุณหภูมิห้อง โดยมีค่าเพิ่มขึ้นจาก 27.63 เปอร์เซ็นต์ เป็น 29.15 และ 34.11 เปอร์เซ็นต์ ตามลำดับ ซึ่งจากการทดลองที่ได้มีแนวโน้มแตกต่างจากการทดลองในงานวิจัยเนื่องด้วยสภาพอากาศและความชื้นภายนอกที่ใช้ในการวิเคราะห์ข้อมูล ณ ขณะนั้น มีผลต่อค่าผงสีแอนโทไไซานิน เมื่อนำมาวิเคราะห์ข้อมูลทางสถิติพบว่าทุกอุณหภูมิมีการดูดความชื้นกลับแตกต่างกันทางสถิติอย่างมีนัยสำคัญที่ระดับความเชื่อมั่น 0.05

จากการที่ 11 แสดงผลการวิเคราะห์ความสามารถในการละลายได้ (Solvability) จากการวิเคราะห์ข้อมูลทางสถิติพบว่ามีความแตกต่างกันทางสถิติอย่างมีนัยสำคัญที่ระดับความเชื่อมั่น 0.05 และจากการทดลองค่าความสามารถในการละลายมีค่าลดลงเมื่อเพิ่มระยะเวลาในการเก็บรักษาในทุกอุณหภูมิ ซึ่งเกิดจากปัจจัยทางด้านเคมีเนื่องด้วยผงหม่อนมีน้ำตาลเป็นส่วนประกอบส่งผลต่อความสามารถเสถียรของแอนโทไไซานิน โดยความเข้มข้นของแอนโทไไซานินและชนิดของน้ำตาลมีผลในการทำลายความสามารถเสถียรของแอนโทไไซานิน ความเสถียรทางความร้อนของแอนโทไไซานิน จะลดลงเมื่อความเข้มข้นของซูโครสเพิ่มขึ้นจาก 0 เป็น 20 เปอร์เซ็นต์ ขณะที่ความเข้มข้นที่ 40 เปอร์เซ็นต์ จะมีผลดีต่อความสามารถเสถียรของรังควัตๆ ตรงข้ามกับความสามารถเสถียรทางความร้อนของรังควัตๆ จะลดลงเมื่อความ

เข้มข้นของฟรุกโตสเพิ่มขึ้น ซึ่งอาจเป็นเพราะการเกิดฟอร์อลดีไฮด์ (สำนักหอสมุดและศูนย์สารสนเทศ
วิทยาศาสตร์และเทคโนโลยี, 2553)

การนำผงสีมาประยุกต์ใช้ในอุตสากรรม

ปัจจุบันได้มีการนำผลหม่อนมาปรับรูปและประยุกต์ใช้ในอุตสาหกรรมอาหารมากมายเพื่อ
เป็นการเพิ่มนุ่คลื่นให้กับสินค้า เช่น น้ำหม่อน เครื่องสำอาง หรือ ไอศกรีม เป็นต้น ดังนั้นงานวิจัยนี้
จึงได้นำผงสีแอนโトイไซยานินที่ผ่านกระบวนการอบแห้งแบบพ่นฟอยมาผลิตเป็นผลิตภัณฑ์อาหารเสริม
อัดเม็ดจากผงหม่อน

ส่วนผสมผลิตภัณฑ์อาหารเสริมอัดเม็ดเม็ดจากผลหม่อน

Mullberry Powder	50 mg
Montrodextrin	250 mg
Microcrystalline Cellulose	150 mg
Magnesium stearate	5 mg
Lactose	100 mg
Total	555 mg



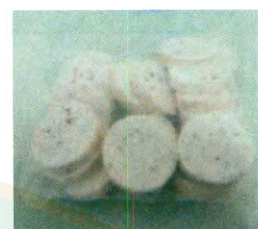
ภาพที่ 38 เครื่องอัดเม็ด



(ก)



(ข)



(ค)

ภาพที่ 39 (ก) ส่วนผสมผลิตภัณฑ์อาหารเสริมอัดเม็ดเม็ดจากผงหม่อน (ข) เม็ดสีธรรมชาติที่มีส่วนผสมของผงมะเขี่ยงและผงหม่อน (ค) เม็ดสีที่มีส่วนผสมของผงหม่อน



ภาพที่ 40 ขวดบรรจุภัณฑ์เม็ดสีจากธรรมชาติ

การวิเคราะห์ค่าสีของเม็ดสีเม็ดอัดธรรมชาติ

ตารางที่ 12 การวิเคราะห์ค่าสีของเม็ดสีอัดเม็ดธรรมชาติ

ค่าสี	L^*	a^*	b^*	Chroma	Hue Angle
ผลการ วิเคราะห์	51.1	14.2	1.9	53.04	7.62

เมื่อนำเม็ดสีอัดเม็ดธรรมชาติมาทำการวิเคราะห์ค่าสีพบว่ามีค่า Chroma 53.04 ซึ่งแสดงถึงความบริสุทธิ์ของสี และเมื่อนำมาคำนวณหาค่า Hue Angle มีค่าเท่ากับ 7.62 ซึ่งแสดงให้เห็นว่าเม็ดสีแอนโทาไซานินแสดงถึงค่าสีม่วงแดงถึงสีส้มซึ่งมีความสอดคล้องกับงานวิจัยของ ทิพวลี และคณะ (2550) ที่ทำการศึกษาการเตรียมและสมบัติด้านความคงตัวของผงสีแอนโทาไซานินจากเมล็ดถั่วดำ (*Vigna senensis*) ที่มีค่า L^* 55.17, a^* 43.03, b^* 7.00, Chroma 43.60 และ Hue Angle 9.24

บทที่ 5

สรุป

สรุปผลการทดลอง

1. จากการศึกษาสภาวะที่เหมาะสมในการสกัดแอนโกลิไซด์จากผลหม่อนด้วยวิธีไมโครเวฟร่วมและทำการออกแบบการทดลองด้วยวิธีพื้นที่ผิวตอบสนองแบบ Box-Behnken design ทั้ง 3 ปัจจัย ได้แก่ กำลังวัตต์ เวลาในการสกัด ความเข้มข้นของตัวทำละลาย พบร้าสภาวะที่เหมาะสมในการสกัดคือ กำลังไมโครเวฟ 472.99 วัตต์ เวลาในการสกัด 6.45 นาที และความเข้มข้นตัวทำละลาย 54.97 เปอร์เซ็นต์ ส่งผลทำให้มีค่าปริมาณแอนโกลิไซด์ 204.54 mg/100g DW

2. ในการวิเคราะห์ปริมาณฟินอลิกและสารต้านอนุมูลอิสระทั้ง 3 วิธี ประกอบไปด้วย วิธีการทำลายอนุมูลอิสระ DPPH การวิเคราะห์ความสามารถในการรีดิวช์เฟอร์ริกของสารต้านอนุมูลอิสระ FRAB และวิธีวิเคราะห์สารต้านอนุมูลอิสระด้วยการฟอกสี ABTS จากการวิเคราะห์ด้วยวิธีพื้นที่ผิวตอบสนองแบบ Box-Behnken design พบร้าสภาวะที่เหมาะสมในการสกัดปริมาณฟินอลิกด้วยวิธีไมโครเวฟร่วม มีค่าปริมาณฟินอลิก 26.89 mgGAE/g ที่กำลังไมโครเวฟ 447.96 วัตต์ เวลาในการสกัด 9 นาที และความเข้มข้นขันตัวทำละลาย 47.89 เปอร์เซ็นต์ และสภาวะที่เหมาะสมในการสกัดสารต้านอนุมูลอิสระทั้ง 3 วิธี พบร้า

2.1. วิธีการทำลายอนุมูลอิสระ DPPH ใช้กำลังไมโครเวฟ 480.06 วัตต์ เวลาในการสกัด 6.19 นาที และความเข้มข้นขันตัวทำละลาย 49.75 เปอร์เซ็นต์ มีค่าวิธีการทำลายอนุมูลอิสระ DPPH 45.81 เปอร์เซ็นต์

2.2 วิธีการทำลายอนุมูลอิสระ FRAB ใช้กำลังไมโครเวฟ 472.42 วัตต์ เวลาในการสกัด 5.67 นาที และความเข้มข้นขันตัวทำละลาย 47.65 เปอร์เซ็นต์ มีค่าความสามารถในการรีดิวช์เฟอร์ริกของสารต้านอนุมูลอิสระ FRAB 75.48 mM Fe²⁺/g

2.3 วิธีวิเคราะห์สารต้านอนุมูลอิสระด้วยการฟอกสี ABTS ใช้กำลังไมโครเวฟ 476.27 วัตต์ เวลาในการสกัด 6.11 นาที และความเข้มข้นขันตัวทำละลาย 59.04 เปอร์เซ็นต์ มีค่าความสามารถในการเป็นสารต้านอนุมูลอิสระด้วยการฟอกสี ABTS 55.02 mM/g

3. จากการศึกษาจนผลศาสตร์และความคงตัวของผลสีในปฏิกิริยาอันดับที่ 1 พบร้า เมื่ออุณหภูมิมีค่าเพิ่มมากขึ้นจะส่งผลทำให้เกิดการสลายตัวของผลสีแอนโกลิไซด์เพิ่มมากขึ้นแต่จะ

ส่งผลทำให้มีค่าครึ่งชีวิตมีค่าลดลง และทำการคำนวณหาค่าพลังงานกระตุ้นของอุณหภูมิที่มีผลต่อค่าคงที่ของอัตรา (k) ด้วยสมการอาร์เรเนียส พบร่วมค่าพลังงานกระตุ้นเท่ากับ 3.12 kJ/mol K และมีค่า $R^2 = 0.9921$ จากการวิเคราะห์หาคุณสมบัติของผงสีทั้ง 3 อุณหภูมิ พบร่วมเมื่อทำการวิเคราะห์ค่ารวมเตอร์แอคติวิตี้ พบร่วมที่อุณหภูมิ 25 และ 55 องศาเซลเซียส มีค่าความชื้นเพิ่มมากขึ้นในสัปดาห์ที่ 0 ถึง สัปดาห์ที่ 4 และมีค่าลดลงจนถึงสัปดาห์ที่ 10 แต่ที่อุณหภูมิ 45 องศาเซลเซียส ส่งผลทำให้มีค่าความชื้นเพิ่มมากขึ้นตั้งแต่สัปดาห์ที่ 0 ถึง สัปดาห์ที่ 10 เมื่อนำไปศึกษาค่าการดูดความชื้นกลับพบว่า ทุกอุณหภูมิส่งผลทำให้มีค่าการดูดความชื้นกลับลดลง และในการศึกษาความสามารถในการละลายที่อุณหภูมิ 25, 45 และ 55 องศาเซลเซียส พบร่วมค่าการละลายอยู่ในช่วง $94.17 - 95.20$ เปอร์เซ็นต์

ปัญหาที่พบ

การเลือกใช้อุณหภูมิในการรอบแห้งส่งผลถึงปริมาณสารสำคัญต่างๆที่อยู่ในผลหม่อนรวมถึงผงสีที่ได้จากการอบแห้งแบบพ่นฟอย

ข้อเสนอแนะ

ควรทำการศึกษาคุณสมบัติหรือองค์ประกอบของผลหม่อนสดในแต่ละสายพันธุ์เพื่อให้ได้สิ่งที่มีสีสันและมีลักษณะเดียวกับตัววัตถุดิบ

ในการวิเคราะห์ข้อมูลคุณสมบัติของผงสีแอนโトイไซานินจากผงหม่อนในเรื่องค่าการดูดความชื้นกลับ (Hygroscopicity) มีค่าที่แตกต่างจากงานวิจัยของผู้อื่นเนื่องด้วยปัจจัยทางด้านสภาพภูมิอากาศและความชื้น

บรรณานุกรม

- กระทรวงวิทยาศาสตร์และเทคโนโลยี กรมวิทยาศาสตร์บริการ สำนักหอสมุดและศูนย์สารสนเทศ
วิทยาศาสตร์และเทคโนโลยี. 2553. แอนโทไซยานิน. ม.ป.ท.: ม.ป.พ.
- กรณิการ แท่นคำ. 2559. เอกสารเผยแพร่ทางวิชาการคื่นแม่เหล็กไฟฟ้า-คื่นไมโครเวฟ.
[ระบบออนไลน์]. แหล่งที่มา <http://www.oshthai.org>. (14 มีนาคม 2559).
- กิตตินาฏ พูลเกสร, อనุวัตร แจ้งชัด และ กมลวรรณ แจ้งชัด. 2553. การประเมินอายุการเก็บรักษา
ของสารป้องกันการเกะดิดโดยใช้วิธีสภาวะเร่ง. กรุงเทพฯ: มหาวิทยาลัยเกษตรศาสตร์.
- การเก็บเกี่ยวและการรักษาผลหม่อน. 2559. [ระบบออนไลน์]. แหล่งที่มา
<http://www.arda.or.th/kasetinfo/silk/index.php?option=com>. (14 มีนาคม 2559).
- ชนิชชา หวังดี. 2554. การศึกษาสภาวะที่เหมาะสมในกระบวนการสกัดอินซูลินจากแก่นตะวัน.
การเกษตรราชภัฏ, 10(1), 50-62.
- ดวงกมล เรือนงาม. 2557. การสกัดสารต้านอนุมูลอิสระ. วิทยาศาสตร์ลาดกระบัง,
23(2), 121-139.
- ตรีชฎา อุทัยดา. 2556. การวิเคราะห์คุณค่าทางโภชนาของผลภัณฑ์ไอศครีมลูกหมื่น.
เพชรบุรี:มหาวิทยาลัยราชภัฏเพชรบุรี.
- ตุ้นเวย์สماเอ ตุ้นเบร์. 2548. เทคนิค spray dryer เครื่องทำแห้งแบบพ่นฟอย. ยะลา:
มหาวิทยาลัยราชภัฏยะลา.
- ทรงศิริ วงศ์จิตภิญญา, ชนิตา โชติรสเวศิน และ ศศิธร ทรงจิตภักดี. 2557. ผลของชนิดตัวทำ
ละลายที่ใช้สกัดต่อปริมาณสารประกอบฟีโนอลิกทั้งหมด พลาโนนอยด์ทั้งหมด แอนโทไซ
ยานินทั้งหมด และการต้านอนุมูลอิสระของเปลือกและเมล็ดองุ่น. กรุงเทพฯ:
มหาวิทยาลัยเกษตรศาสตร์.
- ทิพวี จิตพิคุทรี, วิษฐิดา จันทรพรชัย, วิชัย ฤทธิ์ธนาสันต์ และ สุมนรัตน์ ชื่นพูด. 2550. การ
เตรียมและสมบัติด้านความคงตัวของผงสีแอนโกรไชyanin จากเมล็ดถั่วคำ (Vigna
senensis). กรุงเทพฯ: มหาวิทยาลัยเกษตรศาสตร์.
- นุชเนตร ตาเยี้ย. 2555. ผลของการทำแห้งแบบพ่นฟอยและวัตถุเจือปนในอาหารต่อ
คุณภาพของนมแพะ. วิทยานิพนธ์ปริญญาโท. มหาวิทยาลัยสงขลานครินทร์.
- ปรีyanุช อินทร์รอด. 2551. ฤทธิ์ต้านออกซิเดชัน และปริมาณสารประกอบฟีโนอลรวมของส่วน
สกัดจากต้นเร่ำหอมและว่านสาวหลง. ปัญหาพิเศษปริญญาตรี. มหาวิทยาลัยบูรพา.
- พิมพ์เพ็ญ พรเฉลิมพงศ์ และ นิจิยา รัตนาปนนท์. 2559. สารประกอบฟีโนอล. [ระบบออนไลน์].

- แหล่งที่มา <http://www.foodnetworksolution.com>. (14 มีนาคม 2559).
- พูนพัฒน์ พูนน้อย. 2552. วิศวกรรมการแปรรูปอาหาร. เอกสารประกอบการสอน วิศวกรรมการแปรรูปอาหาร. เชียงใหม่: ภาควิชาชีวกรรมเกษตรและอาหาร คณะวิศวกรรมและอุตสาหกรรมเกษตร มหาวิทยาลัยแม่จี.
- ภานุ พิชญาจิตติพงษ์. 2556. การผลิตและสมบัติทางชีวภาพของสีผสมอาหารจากเปลือกแก้วมังกร. วิทยานิพนธ์ปริญญาโท. มหาวิทยาลัยเทคโนโลยีสุรนารี.
- มนต์วิล หุ่นเจริญ และ ศศิธร จันทนารวงกร. 2551. ผลของอุณหภูมิและความเป็นกรด-ด่าง ต่อความคงตัวของเอนโซไซยานินส์ของน้ำลูกหม่อน. การประชุมวิชาการของมหาวิทยาลัยเกษตรศาสตร์ครั้งที่ 46 เล่มที่ 7 สาขาวิชาอุตสาหกรรมเกษตร วันที่ 29 มกราคม – 1 กุมภาพันธ์. กรุงเทพฯ: มหาวิทยาลัยเกษตรศาสตร์.
- ยุพารพ ผลาชจรศักดิ์. 2547. การสกัดและความคงตัวของเอนโซไซยานินส์ที่สกัดได้จากเปลือกมังคุด. วิทยานิพนธ์ปริญญาโท. มหาวิทยาลัยศิลปากร.
- รวินภา ศรีมูล และ ศริจันทร์ ตาใจ. 2557. ปริมาณฟืนอุ่รมะและฤทธิ์ต้านอนุมูลอิสระในน้ำผลไม้แปรรูปในจังหวัดจันทบุรี. วารสารวิจัย, 7(1), 24-30.
- รัชฎาพร อุ่นศิริไไล, จิราวรรณ อุ่นเมตตาอารี และ จิตรา สิงห์ทอง. 2554. ฤทธิ์ทางชีวภาพและคุณสมบัติเชิงหน้าที่ของสารสกัดยานาง เครื่องหมายน้อยและราชจีด. นครราชสีมา: มหาวิทยาลัยเทคโนโลยีสุรนารี.
- วรรณนท์ ทองอินลา, ชลธิชา วรรณวิมลรักษ์ และ ภารดี ช่วยบำรุง. 2557. ความสัมพันธ์ระหว่างฤทธิ์ต้านอนุมูลอิสระของผลไม้จากการวิเคราะห์ด้วยวิธี DMPD กับปริมาณฟืนอุ่ลิก วิตามินซี วิตามินอี และเบต้าแคโรทีน. วารสารวิทยาศาสตร์บูรพา, 19(2), 93-104.
- ศรีวัฒนา ทรงจิตสมบูรณ์. 2548. สารต้านอนุมูลอิสระ จำเป็นต่อร่างกายอย่างไร. นิตยสารหมอชาวบ้าน. [ระบบออนไลน์]. (316). แหล่งที่มา <https://www.doctor.or.th/article/detail/1346>. (22 พฤษภาคม 2559).
- ศุทธินี ลีลาเมฆรัตน์. 2556. การศึกษาสารประกอบฟืนอุลิก คุณสมบัติการต้านออกซิเดชันและความคงตัวของเอนโซไซยานินส์ในการสกัดจากลูกหม่อน. วิทยานิพนธ์ปริญญาโท. มหาวิทยาลัยเกษตรศาสตร์.
- ศุทธินี ลีลาเมฆรัตน์ และ ศศิธร ทรงจิตภักดี. 2553. องค์ประกอบทางเคมีและคุณสมบัติการต้านอนุมูลอิสระของกาลลูกหม่อน. กรุงเทพฯ: ภาควิชาชีววิทยาศาสตร์และเทคโนโลยีการอาหาร คณะอุตสาหกรรมเกษตร มหาวิทยาลัยเกษตรศาสตร์.
- สำนักงานมาตรฐานผลิตภัณฑ์อุตสาหกรรม. 2550. ผลไม้แห้ง. (มพช.136/2558) แก้ไขมาตรฐานผลิตภัณฑ์ชุมชน ฉบับที่ 1471. กรุงเทพฯ: สำนักงานมาตรฐานผลิตภัณฑ์อุตสาหกรรม.

สำนักหอสมุดและศูนย์สารสนเทศวิทยาศาสตร์และเทคโนโลยี กรมวิทยาศาสตร์บริการ
กระทรวงวิทยาศาสตร์และเทคโนโลยี. 2553. แอนโทไซานิน(Anthocyanin) กรุงเทพฯ:
กรมวิทยาศาสตร์บริการ.

สุวิชา ดีชะสิทธิ์. 2550. การสกัดและการทำให้สารแอนโทไซานินในลูกหว้าบริสุทธิ์. ปัญหาพิเศษ
ปริญญาตรี. มหาวิทยาลัยเกษตรศาสตร์.
อรุษา ดีชะสิงห์ และ อรุณรัตน์ อิทธิโสภณกุล. 2554. สีธรรมชาติจากเปลือกมังคุด. ดุษฎีนิพนธ์.
มหาวิทยาลัยศรีนครินทร์

- Adams, J. B. 1973. Thermal degradation of anthocyanins with particular reference to the 3-glycosides of cyanidin. I. In acidified aqueous solution at 100.deg. *Journal of the Science Food and Agriculture*, 24, 747-762.
- Ahmed, M., Akter, M. S., Lee, J.-C.& Eun, J.-C. 2010. Encapsulation by spray drying of bioactive components, physicochemical and morphological properties from purple sweet potato. *Food Science and Technology*, 43, 1307-1312.
- Andersson, N., Wilson, D. I. & Germgard, U. 2003. An improved kinetic model structure for softwood kraft cooking. *Nordic Pulp and Paper Research Journal*, 18, 200-209.
- Benzie, I. F. F.& Strain, J. J. 1996 . The ferric reducing ability of plasma(FRAP) as a measure of “antioxidant power”: the FRAP assay. *Anal.Biochem*,239, 70-76.
- Brouillard, R. & Delaporte, B. 1977. Chemistry of anthocyanin Pigments. 2.1 Kinetic and Thermodynamic Study of Poton transfer, Hydrtion, and Tautomeric reactions of Malvidin 3-glucoside. *J.am.Chem. Soc*, 99, 8461-8468.
- Cai, Y. Z. & Corke, H. 2000. Production and properties of spray-dried Amaranthus betacyanin pigments. *Journal of Food Science*, 65, 1248-1252.
- Ee, S. C., Bakar, J., Kharidah, M., Dzulkifly, M. H. & Noranizan, A. 2014. Physico-chemical properties of spray-dried red pitaya (*Hylocereus polyrhizus*) peel powder during storage., *Universiti Putra Malaysia*, 21(3), 1177-1182.
- Fang, Z. & Bhandari, B. 2011. Effect of spray drying and storage on stability of bayberry polyphenols. *Food Chemistry*, 129, 1139-1147.
- Garofulic, I .E., Dragovic-Uzelac, V., Jambreak, A .R. & Jukic, M. 2013. The effect of

- microwave assisted extraction on the isolation of anthocyanins and phenolic acid from sour cherry Marasca (*Prunus cerasus* Var. Marasca). *Journal of food engineering*, 117, 437-442.
- Hendry, B .S. 1996. Natural Food Colours. pp. 40-117. In Hendry G.A.F. & Houghton J .D. (eds.). *Natural Food Colorants*. Glassgow : Blackie.
- McGuire, R .G. 1992. Reporting of objective color measurements. *HortScience*, 27, 1254-1255.
- Minolta. 1997. *A User Manual: Spectrophotometer CM508c*. New Jersey, USA : Minolta Corporation.
- Nukrob, N., Kanjana, N. & Umaporn, U. 2015. Optimization of Total Phenolic from Cleistocalyx nervosum by Microwave-Assisted Extraction. *American Journal of Enginerring and Applied Sciences*, 8(3), 302-309
- Onanong, K., Sirithon, S. & Natthida, W. 2011. Phenolic compounds and antioxidant activities of edibleflowers from Thailand. 2011. *Journal of functional foods*, 3, 88–99.
- Pawlowska, A .M., Oleszek, W. & Braca, A. 2008. Quali-Quantitive Analyses of Flavonoids of *Morus nigra* L. and *Morus alba* L. (Mora cease) Fruit. *Jounal Aguricultural and food chemistry*, 56, 3377-3380.
- Quintas, M .A .C ., Brandaao, T .R .S . & Silva, C .L .M . 2007. Modeling colour Changes during the caramelisation reaction. *Journal of food engineering*, 83, 483-91.
- Rein, M. 2005. Copigmentation reactions and color stability of berry anthocyanins. Ph.D. Thesis. University of Helsinki, Finland.
- Shittu, T. A. & Lawal, M. O. 2007: Factors affecting instant properties of powdered cocoa beverages. *Food Chemistry*, 100, 91-98.
- Sikorski, Z .E . *Chemical and Functional Properties of food Components*. 2nd ed. Boca Raton,Fla. :CRC Press.
- Zheng, X., Xu, X., Liu, C., Sun, Y., Lin, Z. & Liu, H. 2012. Extraction characteristic and optimal parameters of anthocyanin from blueberry powder under microwave-assisted extraction condition. *Separation and Purification Technology*, 104, 17-25.





ตารางผนวกที่ 1 ผลการวิเคราะห์กำลังไฟครัวเพที่มีผลต่อแอลกอฮอล์ในน้ำ

ความเข้มข้นของ ตัวทำละลาย (เปอร์เซ็นต์)	อัตราส่วน (กรัม/ มิลลิลิตร)	DV (มิลลิลิตร)	TEV (มิลลิลิตร)	O.D.	แอลกอฮอล์ (mg/100g DW)	ค่าเฉลี่ย
10	1:5	6	80	0.133	106.58	
	1:5	6	80	0.116	92.95	105.38
	1:5	6	80	0.13	104.17	
30	1:5	6	80	0.137	109.78	
	1:5	6	80	0.138	110.58	110.18
	1:5	6	80	0.133	106.58	
50	1:5	6	80	0.161	129.02	
	1:5	6	80	0.167	133.82	133.02
	1:5	6	80	0.165	132.22	
70	1:5	6	80	0.128	102.57	
	1:5	6	80	0.133	106.58	105.38
	1:5	6	80	0.130	104.17	

ตารางผนวกที่ 2 ผลการวิเคราะห์เวลาในการสกัดที่มีผลต่อแอนโกลิไซด์ใน

เวลาในการ สกัด (นาที)	อัตราส่วน (กรัม/ มิลลิลิตร)	DV (มิลลิลิตร)	TEV (มิลลิลิตร)	OD	แอนโกลิไซด์ใน (mg/100g DW)	ค่าเฉลี่ย
1	1:5	6	80	0.161	129.02	
	1:5	6	80	0.159	127.41	129.28
	1:5	6	80	0.164	131.42	
5	1:5	6	80	0.186	149.05	
	1:5	6	80	0.193	154.66	151.72
	1:5	6	80	0.189	151.45	
9	1:5	6	80	0.191	153.06	
	1:5	6	80	0.174	139.43	143.97
	1:5	6	80	0.174	139.43	
13	1:5	6	80	0.187	149.85	
	1:5	6	80	0.168	134.62	140.77
	1:5	6	80	0.172	137.83	

ตารางผนวกที่ 3 ผลการวิเคราะห์กำลังไมโครเวฟในการสกัดที่มีผลต่อแอนโทไซยานิน

กำลัง ไมโครเวฟ (วัตต์)	อัตราส่วน (กรัม/ มิลลิลิตร)	DV (มิลลิลิตร)	TEV (มิลลิลิตร)	OD.	แอนโทไซยานิน (mg/100g DW)	ค่าเฉลี่ย
150	1:5	6	80	0.18	144.24	
	1:5	6	80	0.181	145.04	144.64
	1:5	6	80	0.190	152.25	
300	1:5	6	80	0.202	161.87	
	1:5	6	80	0.197	157.86	162.67
	1:5	6	80	0.204	163.47	
450	1:5	6	80	0.227	181.90	
	1:5	6	80	0.22	176.29	175.09
	1:5	6	80	0.217	173.89	
600	1:5	6	80	0.212	169.88	
	1:5	6	80	0.218	174.69	171.49
	1:5	6	80	0.212	169.88	

ตารางผนวกที่ 4 ข้อมูลการวิเคราะห์ปริมาณแอนโกลิเซยานินที่ได้จากการสกัดด้วยวิธีพื้นที่ผิวตอบสนองด้วยแบบ BBD

ตัวอย่าง	กำลัง ไมโครเวฟ (วัตต์)	เวลาในการสกัด (นาที)	ความเข้มข้นของ ตัวทำละลาย (เปอร์เซ็นต์)	O.D 1 (เปอร์เซ็นต์)	O.D 2 (เปอร์เซ็นต์)	แอนโกลิเซยานิน (1) (mg/100g DW)	แอนโกลิเซยานิน (2) (mg/100g DW)
1	300	1	50	0.270	0.300	144.24	160.27
2	600	1	50	0.313	0.351	167.21	187.51
3	300	9	50	0.343	0.394	183.24	210.48
4	600	9	50	0.345	0.399	184.31	213.16
5	300	5	30	0.267	0.279	142.64	149.05
6	600	5	30	0.323	0.330	172.55	176.03
7	300	5	70	0.28	0.323	149.58	172.55
8	600	5	70	0.329	0.355	175.76	189.65
9	450	1	30	0.234	0.233	125.01	124.47
10	450	9	30	0.316	0.353	168.82	188.31
11	450	1	70	0.26	0.280	138.90	149.54
12	450	9	70	0.338	0.363	180.56	193.92
13	450	5	50	0.335	0.382	178.97	204.07
14	450	5	50	0.351	0.381	187.51	203.54
15	450	5	50	0.353	0.363	188.58	193.66

ตารางผนวกที่ 5 ข้อมูลการวิเคราะห์ปริมาณฟีนอลิกจากการสกัดผลหม่อนด้วยวิธีไมโครเวฟ

ตัวอย่าง	กำลัง ไมโครเวฟ (วัตต์)	เวลาในการ สกัด (นาที)	ความเข้มข้น ของตัวทำ ละลาย (เปอร์เซ็นต์)	ความเข้มข้น	
				ฟีนอลิก (1) (mgGAE/g)	ฟีนอลิก (2) (mgGAE/g)
1	300	1	50	21.20	22.71
2	600	1	50	23.01	22.66
3	300	9	50	23.80	25.01
4	600	9	50	21.34	23.87
5	300	5	30	21.35	21.37
6	600	5	30	20.23	21.63
7	300	5	70	18.79	21.23
8	600	5	70	25.67	22.65
9	450	1	30	23.56	19.22
10	450	9	30	26.56	24.56
11	450	1	70	25.67	22.25
12	450	9	70	27.56	21.89
13	450	5	50	22.56	29.02
14	450	5	50	24.65	26.46
15	450	5	50	29.12	25.35

ตารางผนวกที่ 6 ข้อมูลการวิเคราะห์สารต้านอนุมูลอิสระด้วยวิธีการทำลายอนุมูลอิสระ DPPH

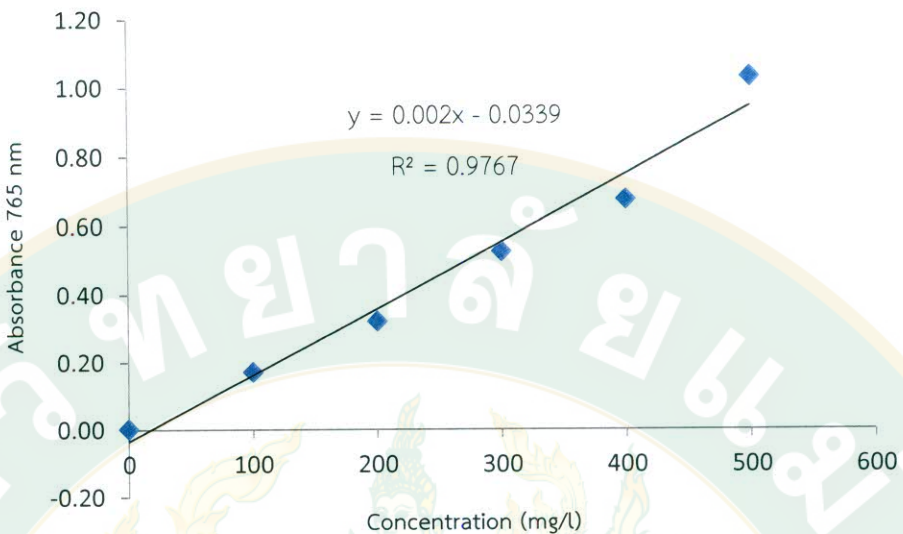
ตัวอย่าง	กำลัง ไมโครเวฟ (วัตต์)	เวลาในการ สกัด (นาที)	ความเข้มข้น		DPPH (1) (เปอร์เซ็นต์)	DPPH (2) (เปอร์เซ็นต์)
			ของตัวทำ ลาย (เปอร์เซ็นต์)	ละลาย		
1	300	1	50	50	40.23	36.46
2	600	1	50	50	37.76	34.12
3	300	9	50	50	36.30	36.78
4	600	9	50	50	42.65	36.75
5	300	5	30	30	34.41	32.34
6	600	5	30	30	39.65	39.95
7	300	5	70	70	36.78	32.10
8	600	5	70	70	38.27	39.92
9	450	1	30	30	36.10	34.27
10	450	9	30	30	41.89	39.90
11	450	1	70	70	35.88	31.77
12	450	9	70	70	41.90	38.10
13	450	5	50	50	47.89	43.89
14	450	5	50	50	47.32	45.12
15	450	5	50	50	45.16	43.12

ตารางผนวกที่ 7 ข้อมูลการวิเคราะห์ความสามารถในการดิวาร์ฟอร์ริกของสารต้านอนุมูลอิสระ FRAB

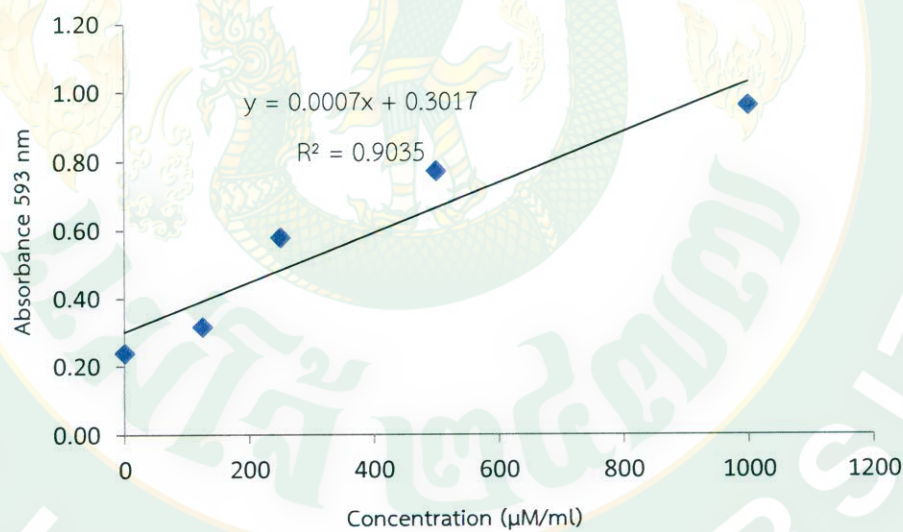
ตัวอย่าง	กำลัง ไมโครเวฟ (วัตต์)	เวลาในการ สกัด (นาที)	ความเข้มข้นของ ตัวทำละลาย (เปอร์เซ็นต์)	FEAB (1) (mM Fe ²⁺ /g)	FRAB (2) (mM ²⁺ /g)
1	300	1	50	54.23	50.47
2	600	1	50	62.54	60.27
3	300	9	50	53.78	51.98
4	600	9	50	62.57	60.12
5	300	5	30	66.23	65.79
6	600	5	30	59.98	61.77
7	300	5	70	57.87	60.95
8	600	5	70	60.97	62.93
9	450	1	30	50.89	48.87
10	450	9	30	67.71	63.79
11	450	1	70	43.19	45.36
12	450	9	70	61.55	60.34
13	450	5	50	83.02	79.00
14	450	5	50	75.20	73.09
15	450	5	50	68.78	70.03

ตารางผนวกที่ 8 ข้อมูลการวิเคราะห์สารต้านอนุมูลอิสระด้วยการฟอกสี ABTS

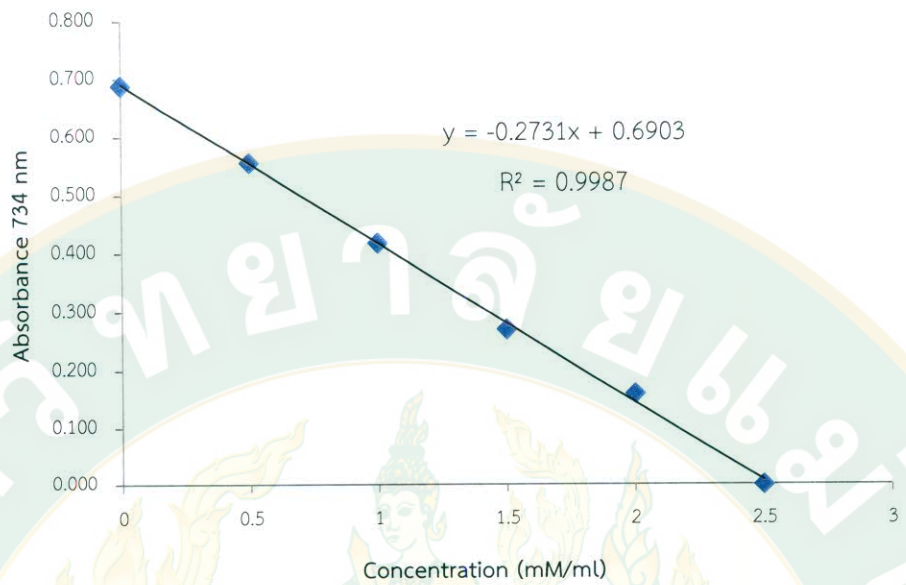
ตัวอย่าง	กำลัง ไมโครเวฟ (วัตต์)	เวลาในการ สกัด (นาที)	ความเข้มข้นของ ตัวทำละลาย (เปอร์เซ็นต์)	ABTS (1) (mM/g)	ABTS (2) (mM/g)
1	300	1	50	38.13	35.11
2	600	1	50	34.98	36.69
3	300	9	50	39.35	40.53
4	600	9	50	43.21	43.45
5	300	5	30	45.87	43.69
6	600	5	30	46.66	49.92
7	300	5	70	42.78	41.79
8	600	5	70	48.34	48.24
9	450	1	30	32.11	30.59
10	450	9	30	47.09	45.68
11	450	1	70	39.23	41.23
12	450	9	70	52.83	54.89
13	450	5	50	55.23	52.49
14	450	5	50	52.64	52.16
15	450	5	50	55.23	55.13



ภาพพนวกที่ 1 กราฟความเข้มข้นสารละลายน้ำมาตรฐานกรดแกแลลิก (mg/l) ต่อค่าการดูดกลืนแสงที่ความยาวคลื่น 765 นาโนเมตร



ภาพพนวกที่ 2 กราฟความเข้มข้นสารละลายน้ำมาตรฐานต่อค่าการดูดกลืนแสงที่ความยาวคลื่น 593 นาโนเมตร



ภาพผนวกที่ 3 กราฟความเข้มข้นสารละลายมาตรฐาน Trolox (mM/ml) ต่อค่าการดูดกลืนแสงที่ความยาวคลื่น 734 นาโนเมตร



ตารางผนวกที่ 9 ข้อมูลการวิเคราะห์ปริมาณแอนโกลไซยานิน ที่อุณหภูมิ 25 45 และ 55 องศาเซลเซียส

สีปдан้ำ	Tacy (mg/100g DW)			Pigment Retention (%)			ln		
	25 °C	45 °C	55 °C	25	45	55	25	45	55
0	30183.64	30183.64	30183.64	100.00	100.00	100.00	0	0	0
2	27312.19	30090.15	31252.09	90.49	99.69	103.54	-0.100	-0.003	0.035
4	26631.05	20220.37	12193.66	88.23	66.99	40.40	-0.125	-0.401	-0.906
6	26577.63	18557.6	10938.23	88.05	61.49	36.24	-0.127	-0.486	-1.015
8	26430.72	15933.22	10203.67	87.57	52.79	33.81	-0.133	-0.639	-1.085
10	26363.94	14196.99	10016.69	87.35	47.04	33.19	-0.135	-0.754	-1.103

ตารางผนวกที่ 10 ข้อมูลการวิเคราะห์ค่าพลังงานกระตัน (Ea) ที่อุณหภูมิ 25 45 และ 55 องศาเซลเซียส

อุณหภูมิ (องศาเซลเซียส)	°K	1/T	k
25	298.15	0.0034	0.0111
45	318.15	0.0031	0.0824
55	328.15	0.0030	0.1283

ตารางผนวกที่ 11 ข้อมูลการวิเคราะห์ค่าวอเตอร์แอคติวิตี้ (Water active) อุณหภูมิ 25 45 และ 55 องศาเซลเซียส

สัปดาห์	25 องศาเซลเซียส				ค่าเฉลี่ย	45 องศาเซลเซียส				ค่าเฉลี่ย	55 องศาเซลเซียส				ค่าเฉลี่ย
	ค่าวอเตอร์แอคติวิตี้					ค่าวอเตอร์แอคติวิตี้					ค่าวอเตอร์แอคติวิตี้				
0	0.17	0.17	0.18	0.17	0.17	0.17	0.17	0.18	0.17	0.17	0.17	0.17	0.18	0.17	
2	0.22	0.22	0.22	0.22	0.21	0.21	0.21	0.22	0.21	0.21	0.22	0.22	0.22	0.22	
4	0.20	0.20	0.20	0.20	0.20	0.20	0.20	0.21	0.21	0.20	0.25	0.26	0.26	0.26	
6	0.19	0.20	0.19	0.19	0.20	0.21	0.21	0.21	0.21	0.25	0.25	0.26	0.26	0.25	
8	0.19	0.19	0.20	0.19	0.26	0.27	0.28	0.27	0.27	0.22	0.23	0.24	0.24	0.23	
10	0.19	0.20	0.20	0.19	0.30	0.30	0.30	0.30	0.30	0.23	0.24	0.24	0.24	0.23	

ตารางผนวกที่ 12 ข้อมูลการวิเคราะห์ค่าการดูดกลืนกลับ (Hygroscopicity) อุณหภูมิ 25 องศาเซลเซียส

สีปดาห์	น้ำหนักจำานก่อนใส่ตัวอย่าง (กรัม)	น้ำหนักจำานหลังใส่ตัวอย่าง (หลังจากทิ้งไว้ 1 อาทิตย์) (กรัม)	น้ำหนักผง (กรัม)	ผลต่างระหว่างน้ำหนัก ^{ก่อนใส่และหลัง ตัวอย่าง} (กรัม)	ค่าการดูดกลืน กลับ (เปอร์เซ็นต์)
0	48.05	49.37	1.01	1.32	29.94
2	47.07	48.37	1.01	1.31	29.77
4	46.19	47.49	1.00	1.30	29.52
6	46.23	47.49	1.00	1.26	25.44
8	46.26	47.49	1.00	1.22	22.18
10	46.10	47.29	1.00	1.19	18.95

ตารางผนวกที่ 13 ข้อมูลการวิเคราะห์ค่าการดูดกลืนกลับ (Hygroscopicity) อุณหภูมิ 45 องศาเซลเซียส

สัปดาห์	น้ำหนักงานก่อนใส่ตัวอย่าง (กรัม)	น้ำหนักงานหลังใส่ตัวอย่าง (หลังจากทิ้งไว้ 1 อาทิตย์) (กรัม)	น้ำหนักผง (กรัม)	ผลต่างระหว่าง น้ำหนักก่อนใส่และ หลังตัวอย่าง (กรัม)	ค่าการดูดกลืน กลับ (เปอร์เซ็นต์)
0	48.05	49.368	1.015	1.32	29.94
2	47.86	49.24	1.03	1.38	34.18
4	47.05	48.34	1.00	1.28	28.04
6	48.05	49.39	1.052	1.34	27.11
8	43.05	44.24	1.000	1.19	19.19
10	43.00	44.14	1.006	1.14	13.47

ตารางพนวกที่ 14 ข้อมูลการวิเคราะห์ค่าการดูดกลืนกลับ (Hygroscopicity) อุณหภูมิ 55 องศาเซลเซียส

สัปดาห์	น้ำหนักงานก่อนใส่ตัวอย่าง (กรัม)	น้ำหนักงานหลังใส่ตัวอย่าง (หลังจากทิ้งไว้ 1 อาทิตย์) (กรัม)	น้ำหนักผง (กรัม)	ผลต่างระหว่าง น้ำหนักก่อนใส่และ หลังตัวอย่าง (กรัม)	ค่าการดูดกลืนกลับ (เปอร์เซ็นต์)
0	48.05	49.37	1.01	1.32	29.94
2	46.01	47.41	1.03	1.40	36.36
4	43.00	44.28	1.00	1.28	27.33
6	47.10	48.36	1.01	1.27	24.64
8	44.67	45.87	1.00	1.20	19.92
10	44.63	45.78	1.01	1.15	13.90

ตารางผนวกที่ 15 ข้อมูลการวิเคราะห์ค่าการละลาย (Solubility) อุณหภูมิ 25 องศาเซลเซียส

สัปดาห์	น้ำหนัก กระป๋องก่อน อบแห้ง(กรัม)	น้ำหนักกระป๋อง หลังการอบแห้ง (กรัม)	ผลต่างระหว่างก่อน และหลังการอบแห้ง (กรัม)	ความสามารถ ในการละลาย (เปอร์เซ็นต์)	ค่าเฉลี่ย (เปอร์เซ็นต์)
0	20.17	20.29	0.12	99.63	99.63
	20.10	20.22	0.12	99.63	
2	16.20	16.32	0.12	99.57	99.60
	18.34	18.45	0.11	99.63	
4	13.67	13.96	0.29	98.91	99.07
	15.43	15.64	0.21	99.23	
6	15.23	15.58	0.35	98.75	98.86
	15.08	15.37	0.29	98.96	
8	12.70	13.13	0.43	98.31	98.42
	14.29	14.68	0.39	98.53	
10	11.86	12.22	0.36	98.54	98.61
	15.25	15.61	0.36	98.69	

หมายเหตุ ปริมาณส่วนเสื่อใช้สำหรับการอบแห้ง 12.5 มิลลิลิตร

ตารางผนวกที่ 16 ข้อมูลการวิเคราะห์ค่าการละลาย (Solubility) อุณหภูมิ 45 องศาเซลเซียส

สัปดาห์	น้ำหนัก กระป๋องก่อน อบแห้ง(กรัม)	น้ำหนักกระป๋อง หลังการอบแห้ง (กรัม)	ผลต่างระหว่าง ก่อนและหลัง การอบแห้ง (กรัม)	ความสามารถ ในการละลาย (เปอร์เซ็นต์)	ค่าเฉลี่ย (เปอร์เซ็นต์)
0	11.86	11.98	0.12	99.49	99.52
2	15.25	15.37	0.12	99.55	99.61
4	18.15	18.28	0.12	99.60	99.42
	19.83	19.95	0.12	99.62	
6	16.34	16.50	0.16	99.46	
	18.45	18.64	0.19	99.39	
8	15.27	15.70	0.43	98.43	98.62
	15.26	15.59	0.33	98.81	
10	15.15	15.52	0.37	98.66	98.40
	15.18	15.70	0.52	98.13	
	20.34	20.77	0.43	98.69	98.84
	16.43	16.72	0.29	98.98	

หมายเหตุ ปริมาณส่วนໃเสที่ใช้สำหรับการอบแห้ง 12.5 มิลลิลิตร

ตารางผนวกที่ 17 ข้อมูลการวิเคราะห์ค่าการละลาย (Solubility) อุณหภูมิ 55 องศาเซลเซียส

สัปดาห์	น้ำหนักกระป่อง ก่อนอบแห้ง (กรัม)	น้ำหนักกระป่อง หลังการอบแห้ง (กรัม)	ผลต่างระหว่าง ก่อนและหลังการ อบแห้ง (กรัม)	ความสามารถ ในการละลาย (เปอร์เซ็นต์)	ค่าเฉลี่ย (เปอร์เซ็นต์)
0	15.15	15.27	0.12	99.55	99.55
	15.18	15.30	0.12	99.55	
2	20.20	20.32	0.12	99.64	99.61
	16.33	16.44	0.12	99.59	
4	15.23	15.37	0.14	99.51	99.47
	15.08	15.24	0.16	99.42	
6	15.20	15.42	0.22	99.22	99.22
	14.99	15.20	0.21	99.22	
8	15.04	15.33	0.29	98.96	98.94
	14.93	15.23	0.30	98.91	
10	18.16	18.61	0.45	98.53	98.71
	19.84	20.20	0.36	98.89	

หมายเหตุ ปริมาณส่วนใหญ่ใช้สำหรับการอบแห้ง 12.5 มิลลิลิตร



ตัวอย่างการคำนวณแอนโトイไซานิน

$$T_{acy} \equiv O.D. \times \frac{TEV}{SW} \times \frac{DV}{SV} \times \frac{1}{E/10} \times 100$$

จากสมการในข้างต้นกำหนดให้

$$O.D. = 0.382$$

$$TEV = 80 \text{ มิลลิลิตร}$$

$$SW = 1 \text{ กรัม}$$

$$DV = 4 \text{ มิลลิลิตร}$$

$$SV = 1 \text{ มิลลิลิตร}$$

$$E = 599$$

แทนค่า

$$T_{acy} = 0.382 \times \frac{80ml}{1g} \times \frac{4ml}{1ml} \times \frac{1}{599/10} \times 100$$

$$T_{acy} = 204.07 \text{ mg/100g.dw}$$

ตัวอย่างการคำนวณปริมาณผงสีแอนโトイไซานิน

น้ำหม่อนสกัดเข้มข้น 2,380.45 มิลลิลิตร ผงหม่อนอบแห้ง 138 กรัม

ถ้าใช้น้ำหม่อนสกัดเข้มข้นในการอบแห้งแบบพ่นฟอย 400 มิลลิลิตร จะได้ผงสีผสมอาหารเริ่มต้น 14.85 กรัม และผสมмолโตเด็กซ์ตริน 15 เปอร์เซ็นต์ หาปริมาณน้ำหม่อนสกัดเข้มข้น 400 มิลลิลิตร

$$Y_1 = \text{ผงหม่อนเริ่มต้น (กรัม)} \quad Y_2 = \text{ปริมาณผงสีผสมอาหาร (กรัม)}$$

$$\text{ปริมาณผงสี (\%)} = \frac{Y_2 \times 100}{Y_1}$$

$$\text{ปริมาณผงหม่อน (กรัม)} = \frac{400 \times 138}{2380.45}$$

$$\text{ปริมาณผงหม่อน (กรัม)} = 23.19$$

$$\text{ปริมาณผงสี (\%)} = \frac{Y_2 \times 100}{Y_1}$$

$$\text{ปริมาณผงสีผสมอาหาร (\%)} = \frac{14.85 \times 100}{23.19 + 60}$$

$$\text{ปริมาณผงสีผสมอาหาร} = 17.85 \%$$

ตัวอย่างการคำนวณปริมาณฟีโนลิก

จากราฟมาตรฐานกรดแกอลิก $Y=0.0028x - 0.1985$

กำหนดให้

$$Y = O.D = 0.755$$

$$m = 0.0028$$

$$b = 0.1985$$

ปริมาตรตัวทำละลาย = 80 มิลลิลิตร

ผงหม่อนอบแห้ง = 1 กรัม

จากราฟมาตรฐานมีหน่วย mg/l ต้องการเปลี่ยน mg/g

$$\text{Phenolic} = \frac{0.755 + 0.1985}{0.0028} \times \frac{mg}{l} \times \frac{l}{1,000ml} \times \frac{80ml}{1g}$$

$$\text{Phenolic} = 27.24 \text{ mg/g}$$

ตัวอย่างการคำนวณสารต้านอนุมูลอิสระด้วยวิธีการทำลายอนุมูลอิสระ DPPH

$$\% \text{Inhibition} = \frac{(A_{\text{control}} - A_{\text{sample}}) \times 100}{A_{\text{control}}}$$

จากการข้างต้นกำหนดให้

$$A_{\text{control}} (\text{Blank}) = 0.913$$

$$A_{\text{sample}} (\text{O.D.}) = 0.491$$

แทนค่า

$$\% \text{Inhibition} = \frac{(0.913 - 0.491)}{0.913} \times 100$$

$$\text{Inhibition} = 46.22 \%$$

ตัวอย่างการคำนวณการรีดิวซ์เพอร์ริกของสารต้านอนุมูลอิสระ FRAB

จากราฟมาตรฐาน $Y = 0.0006x - 0.3664$

กำหนดให้

$$Y = O.D = 0.974$$

$$m = 0.0006$$

$$b = 0.3664$$

ปริมาตรตัวทำละลาย = 80 มิลลิลิตร

ผงหม่อนอบแห้ง = 1 กรัม

จากราฟมาตรฐานมีหน่วย $\mu M/ml$ ต้องการเปลี่ยน mM/g

$$FRAB = \frac{0.974 + 0.3364}{0.0006} \times \frac{\mu M}{ml} \times \frac{80ml}{1g} \times \frac{1mM}{1,000 \mu M}$$

$$FRAB = 81.01 mM/g$$

ตัวอย่างการคำนวณสารต้านอนุมูลอิสระด้วยการฟอกสี ABTS

จากราฟมาตรฐาน Trolox $Y = -0.2731 + 0.6903$

กำหนดให้

$$Y = O.D = 0.502$$

$$m = -0.2731$$

$$b = -0.6903$$

ปริมาตรตัวทำละลาย = 80 มิลลิลิตร

ผงหม่อนอบแห้ง = 1 กรัม

จากราฟมาตรฐานมีหน่วย mM/ml

$$ABTS = \frac{0.502 - 0.6903}{-0.2731} \times \frac{\mu M}{ml} \times \frac{80ml}{1g}$$

$$ABTS = 55.16 mM/g$$

ตัวอย่างการคำนวณการดูดกลืนกลับ (Hygroscopicity)

$$\text{การดูดกลืนกลับ} = \frac{\text{ผลต่างระหว่างน้ำหนักก่อนใส่และหลังตัวอย่าง}}{\text{n้ำหนักผง}} \times 100$$

กำหนดให้

น้ำหนักajan ก่อนใส่ตัวอย่าง

$$= 48.05 \text{ กรัม}$$

น้ำหนักajan หลังใส่ตัวอย่าง (หลังจากทิ้งไว้ 1 อาทิตย์)

$$= 49.37 \text{ กรัม}$$

น้ำหนักผง

$$= 1.01 \text{ กรัม}$$

ผลต่างระหว่างน้ำหนักก่อนใส่และหลังตัวอย่าง

$$= 1.32 \text{ กรัม} \quad (\text{n้ำหนักหลังจากทิ้งไว้ 1 \ อาทิตย์})$$

$$\text{Hygroscopicity} = \frac{1.32 - 1.01}{1.01} \times 100$$

$$\text{Hygroscopicity} = 30.69 \%$$

ตัวอย่างการคำนวณการความสามารถในการละลาย (Solubility)

กำหนดให้

น้ำหนักกระป๋องก่อนอบแห้ง

$$= 20.17 \text{ กรัม}$$

น้ำหนักกระป๋องหลังอบแห้ง

$$= 20.29 \text{ กรัม}$$

ปริมาณน้ำ

$$= 12.50 \text{ กรัม}$$

ผลต่างระหว่างน้ำหนักก่อนใส่และหลังอบแห้ง

$$= 0.12 \text{ กรัม}$$

$$\text{Solubility} = \left(\frac{(20.17 + 12.5) - 0.12}{20.17 + 12.5} \times 100 \right)$$

$$\text{Solubility} = 99.63\%$$

ตัวอย่างการคำนวณอายุการเก็บรักษาแบบสภาวะเร่งด้วยการคำนวณหา Q_{10}

ต้องการหาสภาวะเร่งที่ 35°C

กำหนดให้

อุณหภูมิ 45°C มีอายุการเก็บรักษา ($t_{1/2}$)

9.24 week^{-1}

อุณหภูมิ 55°C มีอายุการเก็บรักษา ($t_{1/2}$)

5.13 week^{-1}

$$\Delta = 45 - 35$$

10

จากสมการ

$$Q_{10} = \frac{\text{Shelf-life time at } T}{\text{shelf-life at } T+10} = \frac{\theta T}{\theta T + 10}$$

$$Q_{10} = \frac{9.24}{5.13} = 1.80$$

ดังนั้นจะได้ค่า Q_{10} ที่ได้จากการคำนวณเมื่อเก็บไว้ที่ 35°C ดังนี้

$$Q_{10}^{\frac{\Delta}{10}} = \frac{\text{time (prediction)}}{\text{time (accelerated condition)}}$$

$$1.80 \frac{10}{10} = \frac{\text{time (prediction)}}{9.24}$$

อุณหภูมิ 35°C อายุการเก็บ

$$\text{Time (prediction)} = 1.80 \times 9.24$$

$$= 16.64 \text{ Week}^{-1}$$





ภาพพนวกที่ 4 ชุดอุปกรณ์เครื่องระเหยสุญญากาศ



ภาพพนวกที่ 5 เครื่องอบแห้งแบบลมร้อน



ภาพพนวกที่ 6 เครื่องหมุนเหลี่ยง



ภาพพนวกที่ 7 เครื่องวัดค่าการดูดกลืนแสง (Spectrophotometer)



ภาพพนวกที่ 8 เครื่องกรองสุญญากาศ



ภาพพนวกที่ 9 เครื่องวัดสี (Spectrophotometer)



ภาพพนวกที่ 10 เครื่องวัดค่าอัตราเตอร์แอคติวิตี้ (Water activity)



ภาพพนวกที่ 11 เครื่องวัดค่าสาร (Refractometer)



ภาพพนวก 12 สารเคมีที่ใช้สำหรับการทดลอง





The 5th Food Engineering National Conference
Maejo University | Chiang Mai, Thailand | April 4, 2017

ผลของการใช้ไมโครเวฟเพื่อการสกัดเมล็ดองุ่นไว้ใช้เป็นเชื้อเพลิงหัวหอยวัววิชพัฒนาฯ

Effect of Microwave Assisted Extraction on Anthocyanin from Mulberry (*Morus alba Linn.*) Using Response Surface Method

ศรีลักษณ์ เกิดศรี บานัน นาคราษฎร์ อุดมพร ภานุวนิช พานทองคำพิริยะ บังติรา ธรรมยุติพิริยะ และ^{*}
กานดา นาคราษฎร์*

Sriluck Kerdsoi Nukrob Narkpeasom Iaturapat Varith Yارد Fon Tanongkanit Bandit Hirunstiporn
and Kanjana Narkprason*

ภาควิชาจุลทรรศน์และกระบวนการอาหาร มหาวิทยาลัยแม่โจว เชียงใหม่ 50200
Department of Food Engineering, Faculty of Engineering and Agro-Industry, Maejo University, Chiangmai, Thailand 50200
*Corresponding author: kanjana2@gmail.com

บทคัดย่อ

วัตถุประสงค์ของงานคือเพื่อศึกษาผลกระทบของการใช้ไมโครเวฟในการสกัดเมล็ดองุ่นไว้ใช้เป็นเชื้อเพลิงหัวหอยวัว ด้วยการตั้งค่าความจ่ายพลังงาน 300-600 วัตต์ เวลาในการสกัด 1-9 นาที และความเข้มข้นของเมล็ดองุ่นที่ต้องการสกัด 1:80 ของเมล็ดองุ่นต่อ溶媒 30-70% (v/v) จำนวน 3 (เรียกว่าแบบเรียงตัวแบบ Box-Behnken Design) โดยใช้ค่าคงที่ของเมล็ดองุ่นที่ต้องการสกัด 1 ก้อน 20 g เมล็ดองุ่น (เรียกว่าตัวอย่าง 3) 80 ml น้ำมันพืช ทางการสกัดโดยการตั้งค่าที่เหมาะสม พบว่าการสกัดเมล็ดองุ่นโดยไมโครเวฟได้เมล็ดองุ่นที่สูงที่สุด 204.57 mg/g ต่อก้อนตัวอย่าง 100 g แห้งเมล็ดองุ่น โดยตั้งค่าที่ต้องใช้ในไมโครเวฟ 472.99 วัตต์ เวลาในการสกัด 6.45 นาที และความเข้มข้นของ溶媒ที่ต้องใช้ 54.97% (v/v) ตามที่ต้องการ 3 วัตต์ 54.97 ดังนั้น การสกัดเมล็ดองุ่นโดยไมโครเวฟจึงเป็นวิธีการที่ดีกว่าในการสกัดเมล็ดองุ่นโดยไม่ใช้ไมโครเวฟ

Abstract

The objective of this research was to study the effect of microwave assisted extraction of anthocyanin from mulberry (*Morus alba Linn.*) by the response surface method (Box-Behnken Design). The study factors were microwave power 300-600 Watt, extraction time 1-9 min, and ethanol concentration with 3% citric acid 30-70% (v/v). The ratio of mulberry and solvent was 1:80 g/ml. The optimal response has been established for obtaining the highest amounts of anthocyanins 204.57 mg/g 100 g dry sample was carried out by microwave power 472.99 watt, extraction time 6.45 min and ethanol concentration with 3% citric acid 54.97 %, respectively. Therefore, microwave extraction is an alternative choice for anthocyanin extraction.

Keywords: Mulberry (*Morus alba Linn.*), Microwave-assisted extraction, Anthocyanin

ร่างกายของเรา” และความเรื้อรังที่จะทำให้เกิดภัยต่อสุขภาพ (วันเดอร์ 30 - 70) โรคใช้พัฒนาการในการดัดแปลงตัวเอง 1 ครั้น คือตัวที่ก่อภัยทางเคมีและ 80 มีอิทธิพล หมายความว่าการเปลี่ยนแปลงของตัวอย่างเป็นรูปแบบ Box-Behnken Design โดยตัวที่ก่อภัยทางเคมีและทางชีวภาพที่มีผลต่อภัยต่อสุขภาพคือตัวตัวที่ไม่ใช่วัว (X₁) เวลาในภัยตัวที่(X₂) และ ภาระตัวที่ไม่ใช่วัวที่จะก่อภัยทางเคมีและ(X₃) คือตัวที่ใน Table1

ห้องอาหารที่ก่อภัยทางเคมีนั้น คือตัวที่มีตัวที่ก่อภัยทางเคมีและภัยต่อสุขภาพและห้องอาหารที่ร่างกายต้องการและห้องอาหารที่มีภัยต่อสุขภาพทางเคมีและภัยต่อสุขภาพที่ต้องการต้องการต้องการ

$$Y = \beta_0 + \sum \beta_i X_i + \sum \beta_j X_j X_j + \sum \beta_k X_k^2 \quad (1)$$

โดยตัวคงที่ให้ค่า Y เป็น ห้องอาหารที่ก่อภัยทางเคมีและ; β₀ เป็นค่าคงที่; X_i คือตัวที่ก่อภัยทางเคมีและค่า β_i เป็นค่าที่บ่งบอกว่า

Table 1 Independent variable and levels

Independent variable	unit	coded	Levels		
			-1	0	1
Microwave Power	Watt	X ₁	300	450	500
Extraction Time	min	X ₂	1	5	9
Ethanol Concentration	Percent	X ₃	30	50	70

การวิเคราะห์เพื่อไปใช้ยาบินที่ทางเคมีและ

การวิเคราะห์เพื่อไปใช้ยาบินที่ทางเคมีและ (ประเทศไทย, 2547 ที่ปรึกษาภูมิศาสตร์ Pulokas and Francis., 1968) นี่จะจากบ้านเดียวกันที่ต้องการตัวที่ 1 คือ ผลิตภัณฑ์ที่ก่อภัยทางเคมีและเพื่อประโยชน์ใช้สอยตัวที่ 3 ในบริเวณ 80 มีอิทธิพล ตัวตัวที่ก่อภัยทางเคมีและนั้น ไปใช้ยาบินที่ก่อภัยทางเคมีและตัวที่ก่อภัยตัวที่ 1 มีอิทธิพล ตัวตัวที่ก่อภัยทางเคมีและ 10 มีอิทธิพล น้ำไปในตัวที่ 1 ซึ่งไป แล้วป่วยภัยตัวที่ก่อภัยทางเคมีและไปใช้ยาบินที่ก่อภัยทางเคมีและ 538 บ้านเมือง

$$T_{\text{AO}} = O.D \times \frac{TEV}{SW} \times \frac{DV}{SV} \times \frac{1}{E_{\text{AO}}^{590}/10} \times 100 \quad (2)$$

T_{AO} คือ ปริมาณยาบินที่ทางเคมีและ (มิลลิกรัม/วัตต์ต่อวินาที 100 กรัมยาบินที่ทางเคมีและ); O.D ค่าตัวที่ก่อภัยทางเคมีและ; TEV ปริมาณยาบินที่ทางเคมีและตัวที่ก่อภัยตัวที่ 1 (มิลลิกรัม); SW ปริมาณตัวที่ก่อภัยตัวที่ 3 (มิลลิกรัม); DV ปริมาณตัวที่ก่อภัยทางเคมีและตัวที่ก่อภัยทางเคมีและตัวที่ก่อภัยทางเคมีและ (มิลลิกรัม); SV ตัวตัวที่ก่อภัยตัวที่ก่อภัยทางเคมีและไปใช้ยาบินที่ก่อภัยทางเคมีและ (มิลลิกรัม) และ E_{AO}⁵⁹⁰ ค่าตัวที่ก่อภัยทางเคมีและ Cyanidin-3-glucoside 590

การวิเคราะห์เพื่อตัวที่ก่อภัยทางเคมีและ

การวิเคราะห์เพื่อตัวที่ก่อภัยทางเคมีและ (Total phenolic compounds) ห้องวิธี Folin-Ciocalteu reagent ตัวตัวที่ก่อภัยทางเคมีและ (Omaromy et al., 2011)

นำตัวตัวที่ก่อภัยทางเคมีและตัวที่ก่อภัยทางเคมีและ 0.1 มิลลิลิตร ไปละลายในน้ำต้มน้ำเดือดในภาชนะใช้เพื่อความปลอดภัย (Na_2CO_3) ตัวตัวที่ก่อภัยทางเคมีและ 2 ใบกระดาษที่ก่อภัยทางเคมีและ 0.1 ลิตรตัวที่ก่อภัยทางเคมีและ ตัวตัวที่ก่อภัยทางเคมีและ Folin-Ciocalteu phenol reagent 0.1 มิลลิลิตร ผสมให้เข้ากันแล้วนำไปต้มตัวที่ก่อภัยทางเคมีและตัวที่ก่อภัยทางเคมีและ 30 นาที แล้วต่อ

มหาวิทยาลัยแม่โจ้ วิจัยและนวัตกรรมชีวภาพ ศูนย์วิจัย
และพัฒนาชีวภาพ (ชีววิจัยแม่โจ้) | 4 มกราคม 2560

ค่าของดักแด้ฟรีฟรากาโนลิกที่สูงที่สุดคือ 750 นาโนมิตร ค่ารวมทั้งหมดของดักแด้ฟรากาโนลิกที่เทียบเท่ากับดักแด้ฟรากาโนลิก (mg/g Gallic acid equivalent, GAE)

การวิเคราะห์ค่าดักแด้ฟรากาโนลิกที่ใช้ดักแด้ DPPH ได้ระบุว่า 2,2-diphenyl-1-picrylhydrazyl radical scavenging capacity ต้องไม่น้อยกว่า 70% (Shimada et al., 1992 และ ลิ้มวิจัย, 2551)

เมื่อต้องการทดสอบ DPPH ต้องขึ้น 0.1 mM ในแก้วและต้องปิดฝากระถางต่อประมาณ 2.5 นาทีแล้ว ให้ในกระถางน้ำแข็ง ต้มน้ำเดือดที่อุณหภูมิ 0.1 มิลลิลิตร แล้วนำไปทิ้ง แล้วต้องนำไปแช่ในน้ำเย็น 30 นาที ขนาดน้ำหนักในกระถางดักแด้ที่ลดลง 515 นาโนมิตร ค่าดักแด้ฟรากาโนลิกที่เทียบเท่ากับดักแด้ฟรากาโนลิก (% inhibition)

$$\% \text{Inhibition} = \frac{A_{Control} - A_{Sample}}{A_{Control}} \times 100 \quad (3)$$

การวิเคราะห์ค่าดักแด้ฟรากาโนลิกที่ใช้ดักแด้ FRAP

ต้องเตรียมดักแด้ (Benzic et al., 1996)

เมื่อต้องการ FRAP reagent โดยการเพิ่ม Acetate buffer (pH 3.6) 1,000 มิลลิลิตร, FeCl₃ 100 มิลลิลิตร และ TPTZ 100 มิลลิลิตร ในตัวอย่าง 400 µL นำ FRAP reagent 1,200 มิลลิลิตร ผสมกันเป็นทันที 120 นาทีแล้วต้องแยกตัวจากน้ำ 40 นาทีแล้วต้องนำตัวกลับไปทิ้งในน้ำเย็น 5 นาที ต่อมาต้องนำตัวกลับไปทิ้งในน้ำเย็น 593 นาทีแล้ว

ผลการวิจัย

ค่าของดักแด้ฟรากาโนลิกที่ใช้ดักแด้ FRAP คือ 750 นาโนมิตร

การทดสอบดักแด้ฟรากาโนลิกที่ใช้ดักแด้ FRAP ต้องใช้แบบ Randomized Block design ที่ต้องการตัวตัวอย่างที่มีไคลอร์ฟอฟ 300-500 วัตต์ เวลาในการต้ม 1-2 นาที และความร้อนที่ต้องการต้ม 30-70 บล็อกต์ติ้งที่ เมื่อต้องการวิเคราะห์พารามิเตอร์ที่ต้องการต้มในไคลอร์ฟอฟ 450 วัตต์ เวลาในการต้ม 5 นาที และความร้อนที่ต้องการต้ม 50 บล็อกต์ติ้งที่ ต้องการต่อให้ดักแด้ฟรากาโนลิกให้เข้มข้นอยู่ 204.57 mg/100g ต้องต้มทั้งหมด สำหรับผลลัพธ์ดัง Table 2

Table 2 Experiment design and result

Run	Factor			Anthocyanin (mg/100g,dw)	Predict
	X ₁	X ₂	X ₃		
1	300	1	50	144.24	139.37
2	600	1	50	167.21	164.60
3	300	9	50	183.24	185.24
4	600	9	50	184.31	189.18
5	300	5	30	142.64	144.66
6	600	5	30	172.55	172.28
7	300	5	70	172.55	172.82
8	600	5	70	175.76	173.77
9	450	1	30	124.47	127.39
10	450	9	30	168.81	164.21
11	450	1	70	138.90	143.50
12	450	9	70	182.57	177.70
13	450	5	50	204.47	200.41
14	450	5	50	203.54	200.41
15	450	5	50	193.66	200.41

X₁ Microwave Power (Watt), X₂ Extraction Time (min), X₃ Ethanol Concentration (Percent)

จากข้อมูลข้างบนนี้สามารถเขียนโมเดลการพยากรณ์ได้ดังนี้ โมเดลที่ 4 ใช้เพื่อประมาณการค่าanthocyanin ให้ดีที่สุดโดยใช้ตัวแปร X₁, X₂ และ X₃ ได้รับการทดสอบพบว่า Table 2 ที่เพิ่งเข้าไปในตารางตัวแปรทั้งสามของเรามีความพอดีมากที่สุด ค่า R² เท่ากับ 97.49 เมตริกส์ แสดงถึงมีความสัมภาระสูง ($p<0.05$)

$$Y = 200.42 + 7.15X_1 + 17.76X_2 + 7.41X_3 - 5.48X_1X_2 - 6.68X_1X_3 - 0.67X_2X_3 - 8.99X_1^2 - 21.68X_2^2 - 25.55X_3^2 \quad (4)$$

การสร้างโมเดลการพยากรณ์ที่ดีที่สุดเพื่อคำนวณค่าanthocyanin ให้ดีที่สุดโดยใช้ตัวแปร X₁, X₂ และ X₃ ได้รับการทดสอบพบว่าตัวแปรที่ให้มาอยู่ในตารางตัวแปรทั้งสามของเรามีความสัมภาระสูง ($p<0.05$)

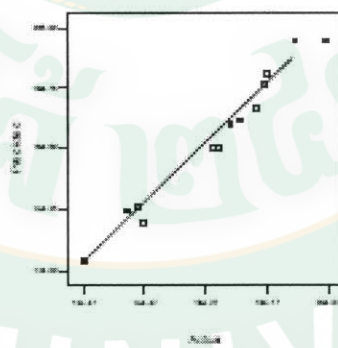


Figure 1 Model adequacy plot

รายงานวิจัยวิทยานิพนธ์ ปีที่ 3
สาขาวิชานักวิเคราะห์ | ภาคฤดูร้อน | จำนวน 2560

Table 3 Variance analysis of experimental results

Source	Sum of Squares	df	Mean Square	F-Value	p-value
Model	7644.82	9	849.42	21.55	0.0017
X_1	408.44	1	408.44	10.36	0.0235
X_2	2524.18	1	2524.18	64.05	0.0005
X_3	439.54	1	439.54	11.15	0.0206
X_1X_2	119.94	1	119.94	3.04	0.1415
X_1X_3	178.37	1	178.37	4.53	0.0867
X_2X_3	1.78	1	1.78	0.045	0.8399
X_1^2	298.6	1	298.6	7.58	0.0402
X_2^2	1735.56	1	1735.56	44.04	0.0012
X_3^2	2411.05	1	2411.05	61.18	0.0005
Residual	197.04	5	39.41		
Lack of Fit	128.21	3	42.74	1.24	0.4751

จาก Table 3 ได้รู้ว่าตัวแปรที่มีอิทธิพลต่อการดึงสีออกสารสีในเชื้อราเป็นไปในลักษณะเดียวกันกับที่คาดการณ์ไว้ ค่า F-value ต่ำกว่า 0.05

จากการวิเคราะห์ผลข้อมูลที่ได้จากการวิเคราะห์ตัวแปรต่อผลการดึงสีของเชื้อราโดยใช้เทคนิค RSM (Response surface methodology, RSM) สามารถสร้างรูปแบบได้ในรูปแบบกราฟสามมิติและรูปแบบที่เรียกว่าเมฆความคิดเห็นเพื่อการนำเสนอเป็นกราฟสามมิติที่ง่ายต่อการเข้าใจ ค่าผลลัพธ์ที่ดีที่สุดที่ได้รับคือสารสีที่ดึงสีได้มากที่สุดและดึงสีได้ดีที่สุดที่สามารถดึงสีเชื้อรา ดัง Figure 2-4

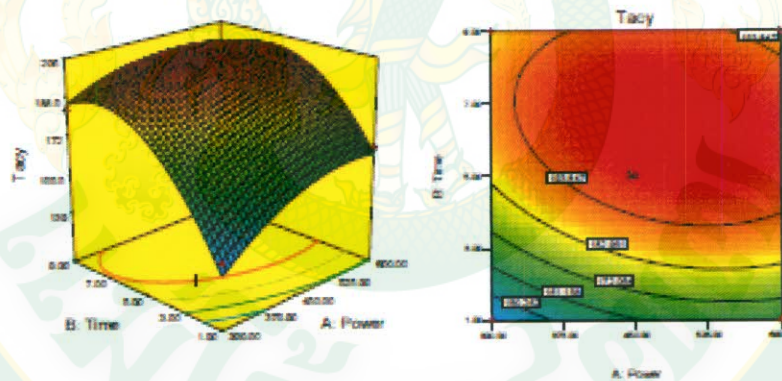


Figure 2 Interaction of extraction Time and Microwave Power on Extraction Anthocyanin in condition of Ethanol Concentration 50%

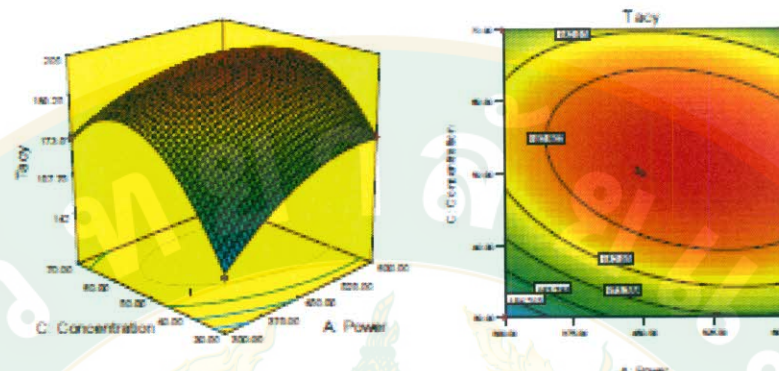


Figure 3 Interaction of Ethanol Concentration and Microwave Power on Extraction Anthocyanin in condition of Extraction Time 5 Min.

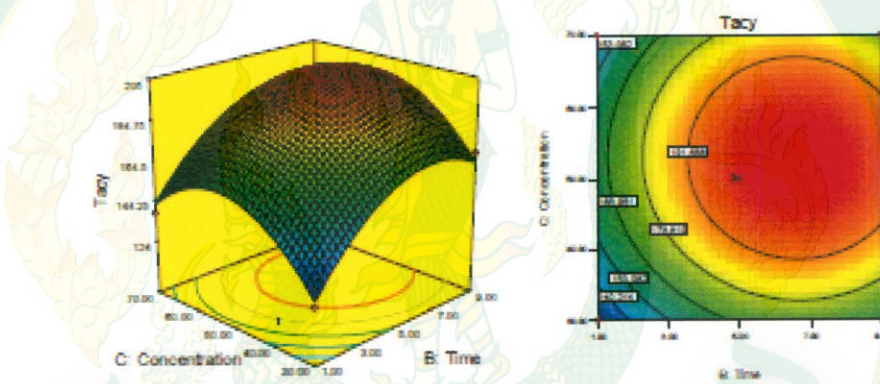


Figure 4 Interaction of Ethanol Concentration and Extraction Time on Extraction Anthocyanin in condition of Microwave Power 450 Watt

ผลการวิเคราะห์เพื่อการคำนวณและการหาค่าที่ดีที่สุดในการตัดต่อสารออกซิเจนฟรีใน桑椹โดยใช้เวลาในการตัดต่อ 5 นาที

Table 4 Analysis antioxidant of extraction Anthocyanin from mulberry

Analysis	Phenolic (mg _{Gallic acid/g_{sap}})	DPPH (%)	FRAP (µM)
Phenolic	27.24	-	-
Antioxidant activity	-	46.21	1,012.67

จากการวิเคราะห์เพื่อการคำนวณและการหาค่าที่ดีที่สุดในการตัดต่อสารออกซิเจนฟรีใน桑椹โดยใช้เวลาในการตัดต่อ 5 นาที แสดงค่าของตัวแปรต่างๆ ที่ได้มาจากการตัดต่อที่ดีที่สุดในไฟฟ้า 450 วัตต์ เวลาในการตัดต่อ 5 นาที และค่าของตัวแปรต่างๆ ที่ได้มาจากการตัดต่อ 50 วัตต์ที่ได้มาจากการตัดต่อ Table 4

The 3rd Food Engineering National Conference
Maejo University | Chiang Mai | Thailand | April 4, 2017

- ស្ថាបី និងបន្ទាន់ ដោយគីឡូ ការណ៍ដំណឹង និងការពិនិត្យបច្ចេកទេស
- Arnelia, E., Afrani, Galih-Nur, Muchlis, Ann, Fikriyani, Aini-Nur, Ucche, Susca and McMick, 2012. Extraction and stability test of anthocyanin from Buni fruits (*Antidesma Bunius*) as an alternative natural and safe food colorants. *Journal of Food and Pharmaceutical Sciences*, 1, 49-53.
- Berndt, L.F.P.; Strain, J. J.(1996). The ferric reducing ability of plasma(FRAP) as a measure of "antioxidant power": the FRAP assay. *Anal. Biochem.* 239, 70-76.
- Garofolic, I.E., Dragovic-Uzelac, V., Jambrek, A.R. and Jukic, M. 2013. The effect of microwave assisted extraction on the isolation of anthocyanins and phenolic acid from sour cherry Marasca (*Prunus cerasus* Var. *Marasca*). *Journal of food engineering*, 117, 437-442.
- Onanong K, Sintorn S, Nattithida W, et al. Phenolic compounds and antioxidant activities of edible flowers from Thailand. 2011. *Journal of functional foods*; 3(1): 88 -99.
- Shimada, K., Pujkawa, K., Yahara, K. and Nakamura, T. 1992. Antioxidative Properties of Xanthans on the Autoxidation of Soybean Oil in Cyclodextrin Emulsion. *Journal of Agricultural and Food Chemistry*. 40 (5): 945 – 948.
- Zhendong, Y., Weixue, Z. 2010. Optimization of microwave-assisted extraction of anthocyanins from purple corn (*Zea mays* L.) cob and identification with HPLC-MS. *Innovative Food Science and Emerging Technologies*. 11, 470-476.
- Zheng, X., Xu, X., Lu, C., Sun, Y., Lin, Z. and Liu, H. 2012. Extraction characteristic and optimal parameters of anthocyanin from blueberry powder under microwave-assisted extraction condition. *Separation and Purification Technology*. 104, 17-25.



ประวัตินักศึกษา

ชื่อ – นามสกุล

เกิดเมื่อ

ภูมิลำเนา

ประวัติการศึกษา

อีเมลล์

นางสาวศิริลักษณ์ เกิดศิริ

14 มิถุนายน 2534

จังหวัดลำพูน

พ.ศ. 2557

พ.ศ. 2552

พ.ศ. 2549

siriluk.k@outlook.com

ปริญญาตรี คณะวิศวกรรมและอุตสาหกรรมเกษตร

มหาวิทยาลัยแม่โจ้ เชียงใหม่

มัธยมศึกษาตอนปลาย

โรงเรียนจกรคำนาหาร จังหวัดลำพูน

ดับมัธยมศึกษาตอนต้น

โรงเรียนจกรคำนาหาร จังหวัดลำพูน

